

本資料のうち、枠囲みの内容  
は、機密事項に属しますので  
公開できません。

柏崎刈羽原子力発電所第7号機 工事計画審査資料	
資料番号	KK7 補足-025-1 改 13
提出年月日	2020年8月13日

## 原子炉建屋の地震応答計算書に関する補足説明資料

2020年8月

東京電力ホールディングス株式会社

1. 工事計画添付書類に係る補足説明資料

V-2-2-1 「原子炉建屋の地震応答計算書」の記載内容を補足するための資料を以下に示す。なお、他建物・構築物の地震応答計算書の記載内容を共通的に補足する内容についても、本資料で代表し説明する。

別紙 1 地震応答解析における既工認と今回工認の解析モデル及び手法の比較

別紙 2 地震応答解析における耐震壁のせん断スケルトン曲線の設定

別紙 3 地震応答解析における材料物性の不確かさに関する検討

別紙 4 地震応答解析に用いる鉄筋コンクリート造部の減衰定数に関する検討

**別紙 5 地震応答解析における原子炉建屋の重大事故等時の高温による影響**

別紙 6 原子炉建屋のコンクリート剛性に対する地震観測記録による傾向分析

別紙 7 原子炉建屋における改造工事に伴う重量増加を反映した検討

別紙 8 原子炉建屋改造工事に伴う評価結果の影響について

□ : 今回提出範囲

別紙5 地震応答解析における原子炉建屋の重大事故等時の高  
温による影響

## 目 次

1. 概要 .....	別紙 5-1
2. 原子炉建屋の構造概要 .....	別紙 5-2
3. 重大事故等時の温度による影響について .....	別紙 5-6
3.1 検討方針 .....	別紙 5-6
3.2 重大事故等時の高温による影響を考慮した 原子炉建屋の地震応答解析 .....	別紙 5-7
3.2.1 解析条件 .....	別紙 5-7
3.2.2 地震応答解析結果 .....	別紙 5-22
3.3 原子炉建屋の地震応答解析による評価に与える影響 .....	別紙 5-43
3.3.1 検討方法 .....	別紙 5-43
3.3.2 検討結果 .....	別紙 5-43
4. 機器・配管系の評価に与える影響 .....	別紙 5-55
4.1 原子炉建屋の地震応答解析結果による影響 .....	別紙 5-55
4.1.1 検討方針 .....	別紙 5-55
4.1.2 検討結果 .....	別紙 5-57
4.2 大型機器系の地震応答解析結果による影響 .....	別紙 5-67
4.2.1 検討方針 .....	別紙 5-67
4.2.2 「SA 時環境考慮連成モデル」のモデル化 .....	別紙 5-67
4.2.3 解析結果 .....	別紙 5-74
5. まとめ .....	別紙 5-129
5.1 「原子炉建屋の地震応答解析による評価」に与える影響 .....	別紙 5-129
5.2 「機器・配管系の評価」に与える影響 .....	別紙 5-129

別紙 5-1 コンクリートの高温特性の考え方

別紙 5-2 重大事故等時の環境を考慮した建屋－機器連成地震応答解析モデルの  
設定について

下線：今回ご提示資料

#### 4. 機器・配管系の評価に与える影響

重大事故等時の高温による影響に対して設備の評価に与える影響確認を行う。影響確認はV-2-2-1「原子炉建屋の地震応答計算書」に示す地震応答解析モデルである「工認モデル」の地震応答解析結果、又は、V-2-2-4「原子炉本体の基礎の地震応答計算書」に示す原子炉圧力容器、原子炉遮蔽壁及び原子炉本体基礎等（以下「大型機器系」という。）の地震応答解析モデル（以下「大型機器系の地震応答解析モデル」という。）の地震応答解析結果を耐震評価に用いる常設耐震重要重大事故防止設備及び常設重大事故緩和設備に対して行う。

##### 4.1 原子炉建屋の地震応答解析結果による影響

###### 4.1.1 検討方針

機器・配管系への重大事故等時の高温による影響の考慮にあたり、「3.2.1 解析条件」の「剛性低下考慮モデル」の温度条件に加えてさらに重大事故等時の水位条件を考慮した原子炉建屋の地震応答解析モデル（以下「SA時環境考慮モデル」という。）の応答を求め「工認モデル」の地震応答解析結果と比較する。「SA時環境考慮モデル」の温度、水位条件を表4-1に記載する。また、「SA時環境考慮モデル」のモデル諸元を別紙5-2(6)に示す。

影響確認は「SA時環境考慮モデル」による最大応答加速度及び床応答スペクトルと、「工認モデル」による設計用最大応答加速度及び床応答スペクトルの比較により行う。

比較に用いる地震動は「3.1 検討方針」に記載される基準地震動Ss-1に加え、機器・配管系への重大事故等時の高温の影響を確認する観点からV-2-2-4「原子炉本体の基礎の地震応答計算書」の結果より原子炉遮蔽壁及び原子炉本体基礎等で地震荷重が大きくなる傾向となる基準地震動Ss-2を選定する。また、「工認モデル」による設計用最大応答加速度及び床応答スペクトルとの比較には、「SA時環境考慮モデル」での基準地震動Ss-1及びSs-2の地震応答解析結果を包絡したもの用いる。

表 4-1 「SA 時環境考慮モデル」に適用する解析条件

項目		工認モデル	SA 時環境考慮モデル	SA 時環境考慮モデル設定の考え方
温度	RCCV 内温度 (°C)	—	168	重大事故等時の有効性評価の「格納容器過圧・過温破損（代替循環冷却系を使用しない場合）における最高温度 <sup>*1</sup> を設定した。
	RCCV 外の原子炉建屋内温度 (使用済燃料貯蔵プール、機器仮置ピット及び 4F 以上) (°C)	—	77	原子炉建屋原子炉区域内での重大事故等対処設備の環境温度 <sup>*2</sup> より設定した。
	RCCV 外の原子炉建屋内温度 (3F～B3F) (°C)	—	66	
	外気温 (°C)	—	40	屋外の重大事故等対処設備の環境温度 <sup>*2</sup> より設定した。
水位	サプレッショングループ水位 (m)	7.10 (T.M.S.L. -1.10)	17.15 (T.M.S.L. 8.95)	重大事故等時の格納容器スプレイは格納容器ベントライン水没防止のため、水位がベントライン-1m を超えないように格納容器スプレイを停止するが、保守性を考慮して格納容器ベントライン下端までの水位を設定した。 <sup>*3</sup>
	下部ドライウェル水位 (m)	—	14.00 (T.M.S.L. 7.40)	重大事故等時の有効性評価の「格納容器過圧・過温破損（代替循環冷却系を使用しない場合）において最大となる水位を設定した。 <sup>*3</sup>

注記 \* 1 : 補足説明資料「重大事故等対処施設の耐震設計における重大事故と地震の組合せについて」(KK7 補足-024-6)

\* 2 : V-1-1-7 「安全設備及び重大事故等対処設備が使用される条件の下における健全性に関する説明書」

\* 3 : V-1-8-1 「原子炉格納施設の設計条件に関する説明書」

#### 4.1.2 検討結果

最大応答加速度と床応答スペクトルの比較結果（水平方向（NS, EW 方向包括）及び鉛直方向）を、表 4-2 及び図 4-1 に示す。なお、床応答スペクトルは代表減衰 1.0%にて比較した。「SA 時環境考慮モデル」の応答は、「工認モデル」の設計用最大応答加速度及び床応答スペクトル（V-2-1-7 「設計用床応答曲線の作成方針」に示す設計用最大応答加速度 I, 設計用最大応答加速度 II, 設計用床応答曲線 I 及び設計用床応答曲線 II）の結果に比べ、僅かに大きくなるフロア、周期帯があるものの、概ね下回ることを確認した。このため、「工認モデル」の地震応答解析結果を耐震評価に用いる常設耐震重要重大事故防止設備及び常設重大事故緩和設備への影響は小さいものと考える。

表 4-2 最大応答加速度の比較（水平方向）(1/2)

構造物名	質点番号	標高 T. M. S. L. (m)	最大応答加速度( $9.80665\text{m/s}^2$ ) × 1.2				
			S s				
			①SA時環境考慮モデル	②設計用最大応答加速度 I	比率 (①/②)	③設計用最大応答加速度 II	比率 (①/③)
原子炉建屋	1	49.700	2.06	2.27	0.91	2.73	0.76
	2	38.200	1.59	1.63	0.98	2.03	0.79
	3	31.700	1.37	1.38	1.00	1.71	0.81
	4	23.500	1.23	1.21	1.02	1.51	0.82
	5	18.100	1.13	1.13	1.00	1.45	0.78
	6	12.300	1.04	1.07	0.98	1.40	0.75
	7	4.800	0.99	0.99	1.00	1.27	0.78
	8	-1.700	1.04	1.03	1.01	1.30	0.80
	9	-8.200	0.83	0.89	0.94	1.19	0.70
	10	-13.700	0.80	0.85	0.95	1.14	0.71

表 4-2 最大応答加速度の比較（鉛直方向）(2/2)

構造物名	質点番号	標高 T. M. S. L. (m)	最大応答加速度( $9.80665\text{m/s}^2$ ) × 1.2				
			S s (Ss-1, 2包絡)	S s			
				①SA時環境考慮モデル	②設計用最大応答加速度 I	比率 (①/②)	
原子炉建屋	1	49.700	1.19	1.23	0.97	1.50	0.80
	2	38.200	1.15	1.18	0.98	1.45	0.80
	3	31.700	1.11	1.15	0.97	1.41	0.79
	4	23.500	1.08	1.12	0.97	1.38	0.79
	5	18.100	1.05	1.08	0.98	1.34	0.79
	6	12.300	1.03	1.05	0.98	1.33	0.78
	7	4.800	1.00	1.00	1.00	1.29	0.78
	8	-1.700	0.97	1.00	0.97	1.27	0.77
	9	-8.200	0.96	1.00	0.96	1.24	0.78
	10	-13.700	0.96	1.00	0.96	1.24	0.78

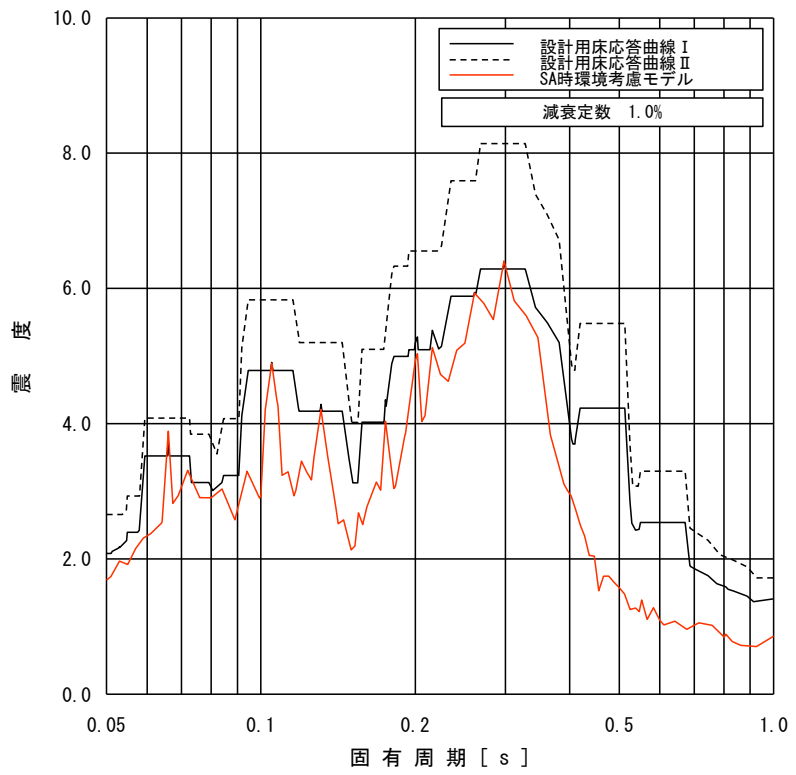
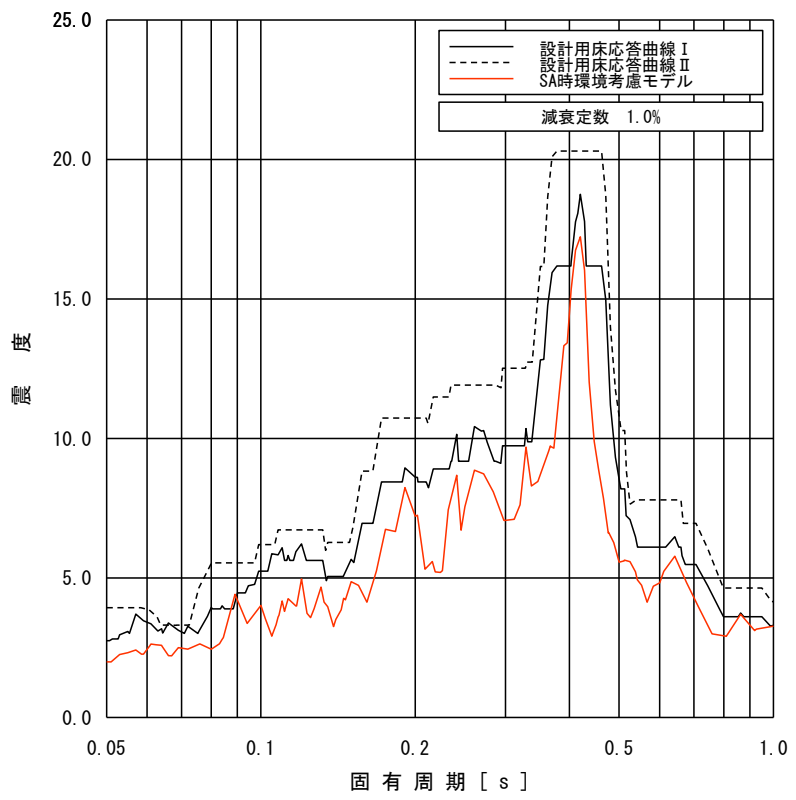


図 4-1 床応答スペクトルの比較(1/9)  
(原子炉建屋, T.M.S.L. 49.7m, 減衰 1.0%, 上: 水平, 下: 鉛直)

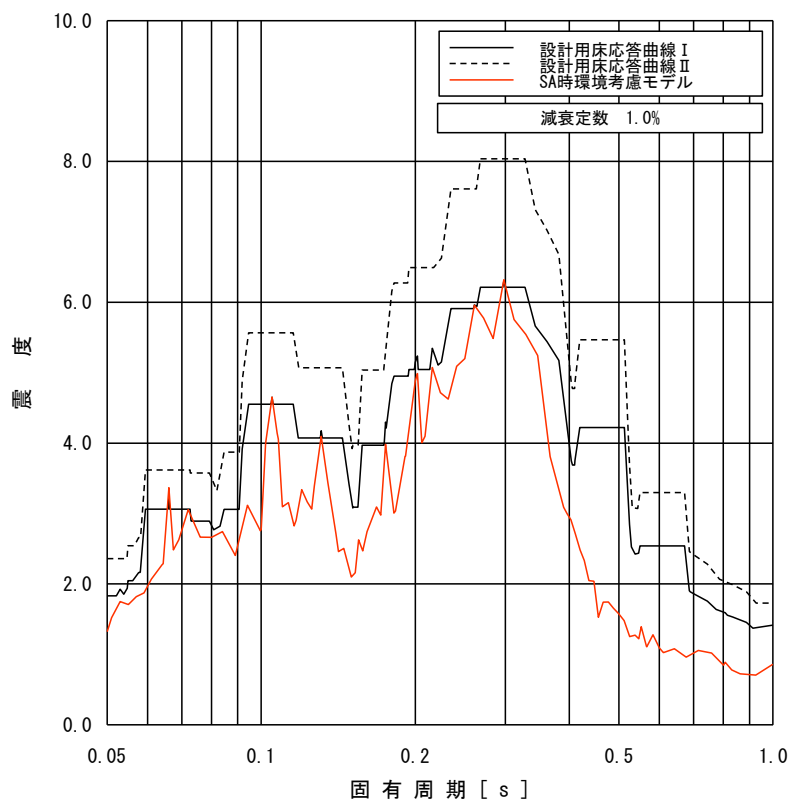
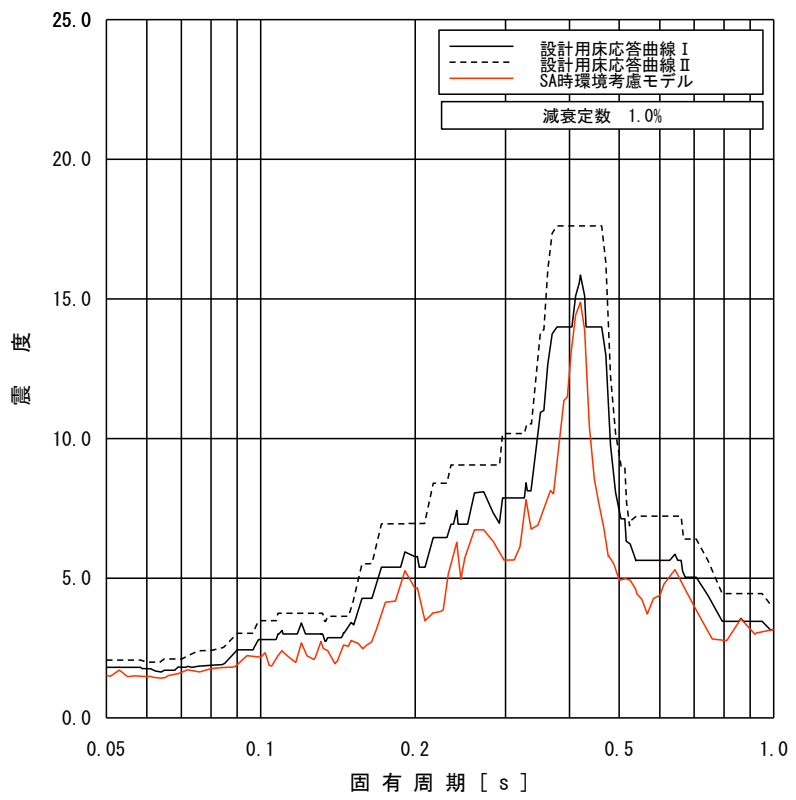


図 4-1 床応答スペクトルの比較(2/9)

(原子炉建屋, T.M.S.L. 38.2m, 減衰 1.0%, 上 : 水平, 下 : 鉛直)

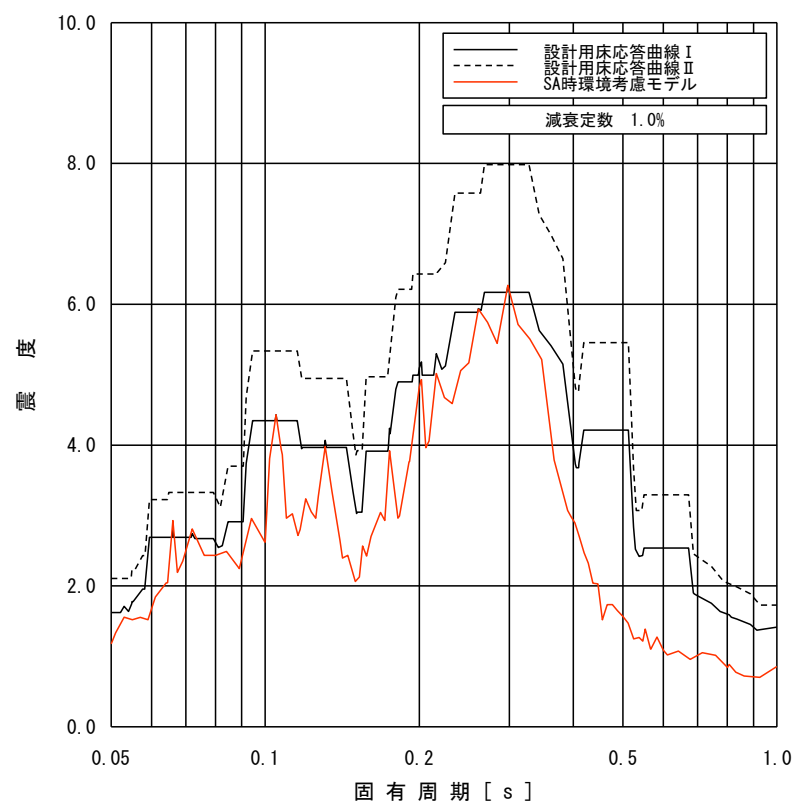
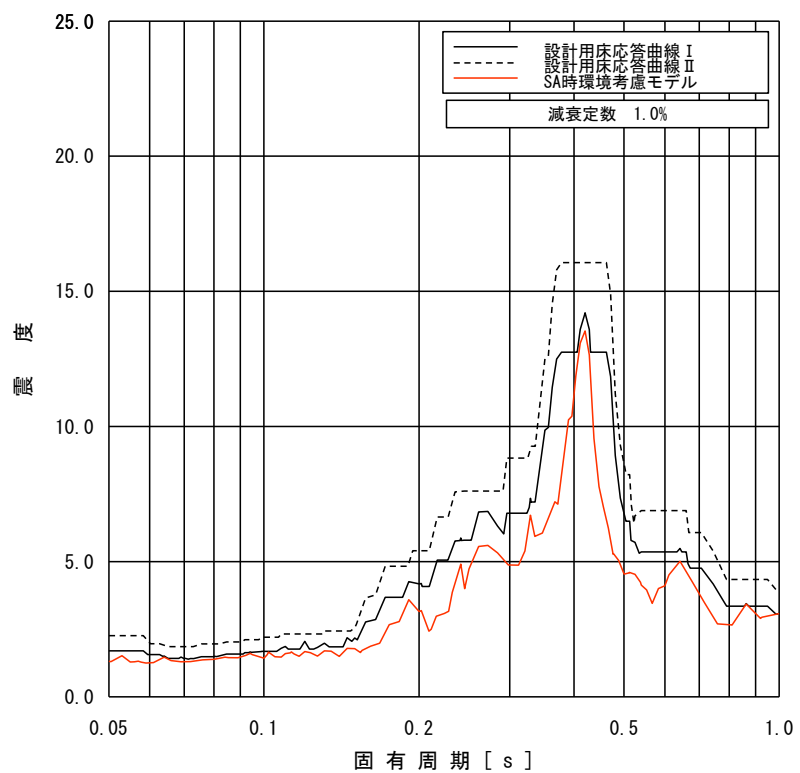


図 4-1 床応答スペクトルの比較 (3/9)

(原子炉建屋, T.M.S.L. 31.7m, 減衰 1.0%, 上 : 水平, 下 : 鉛直)

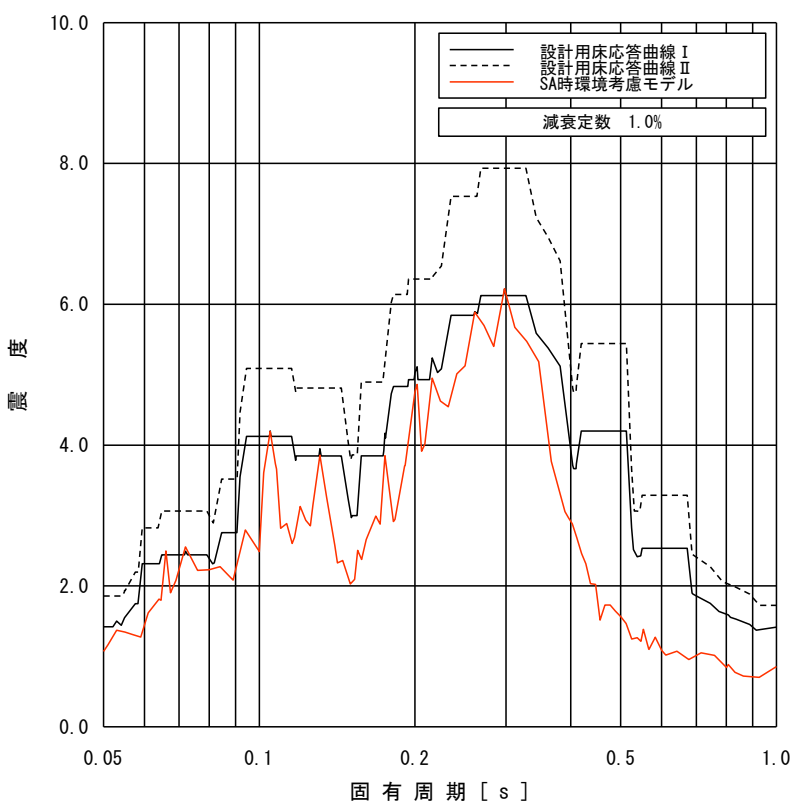
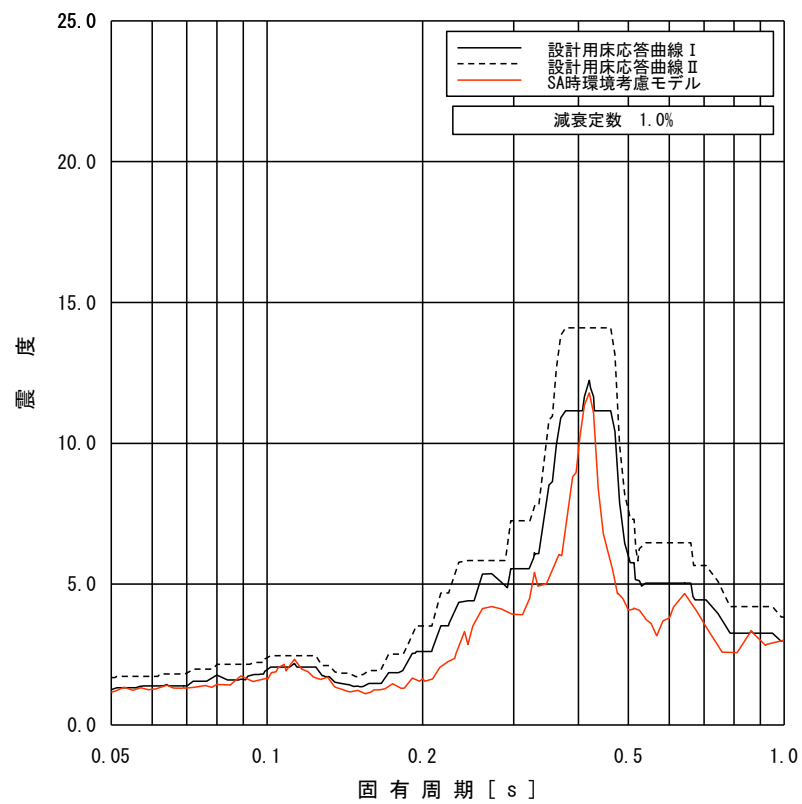


図 4-1 床応答スペクトルの比較(4/9)

(原子炉建屋, T.M.S.L. 23.5m, 減衰 1.0%, 上 : 水平, 下 : 鉛直)

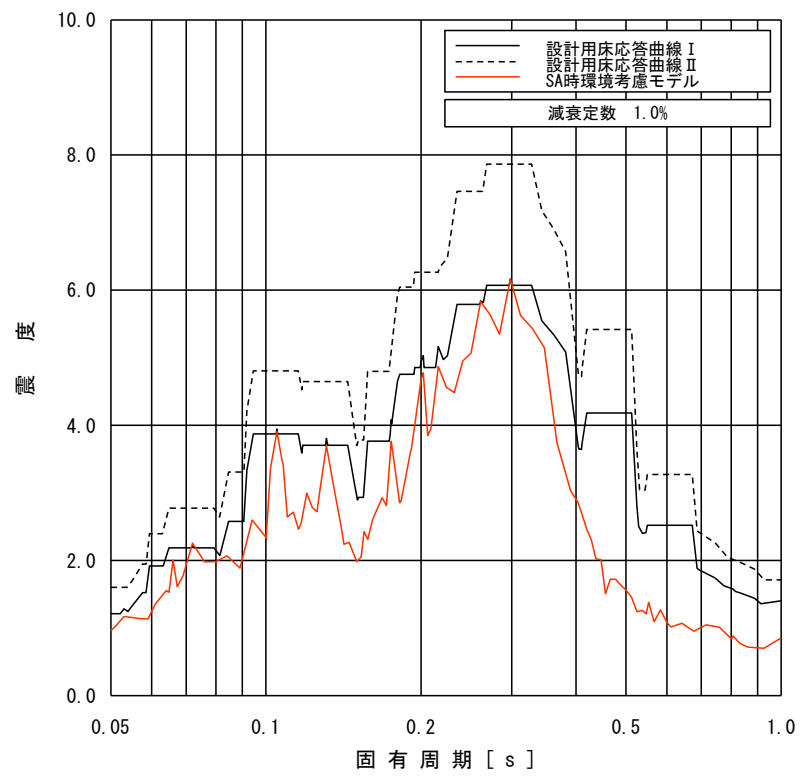
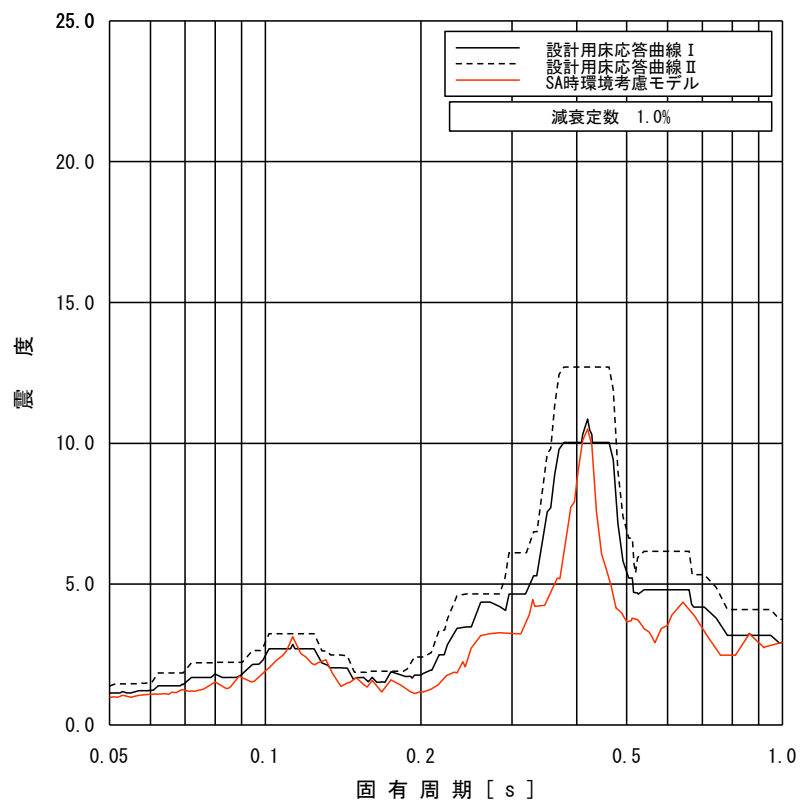


図 4-1 床応答スペクトルの比較 (5/9)  
(原子炉建屋, T.M.S.L. 18.1m, 減衰 1.0%, 上 : 水平, 下 : 鉛直)

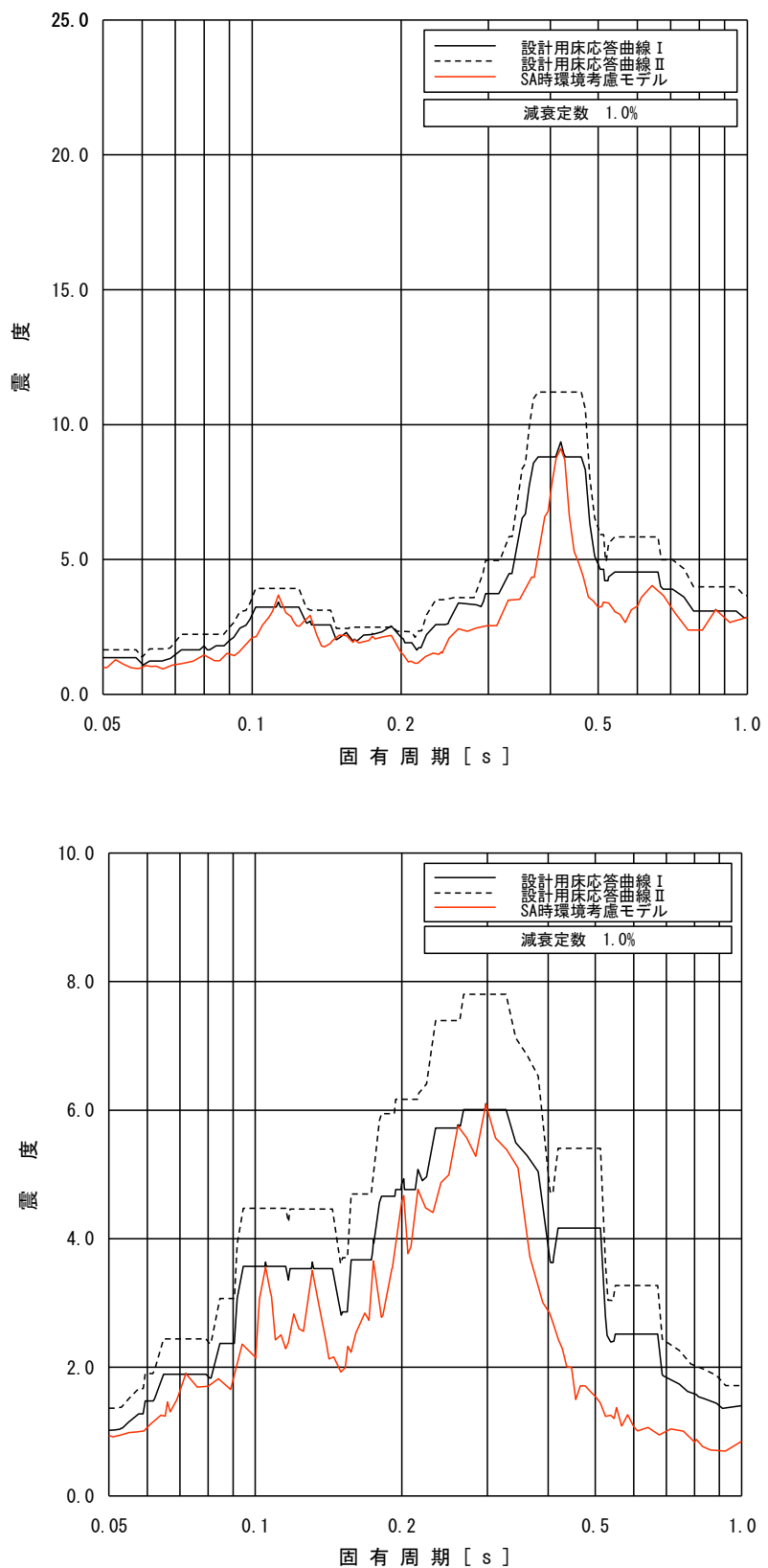


図 4-1 床応答スペクトルの比較(6/9)

(原子炉建屋, T. M. S. L. 12.3m, 減衰 1.0%, 上: 水平, 下: 鉛直)

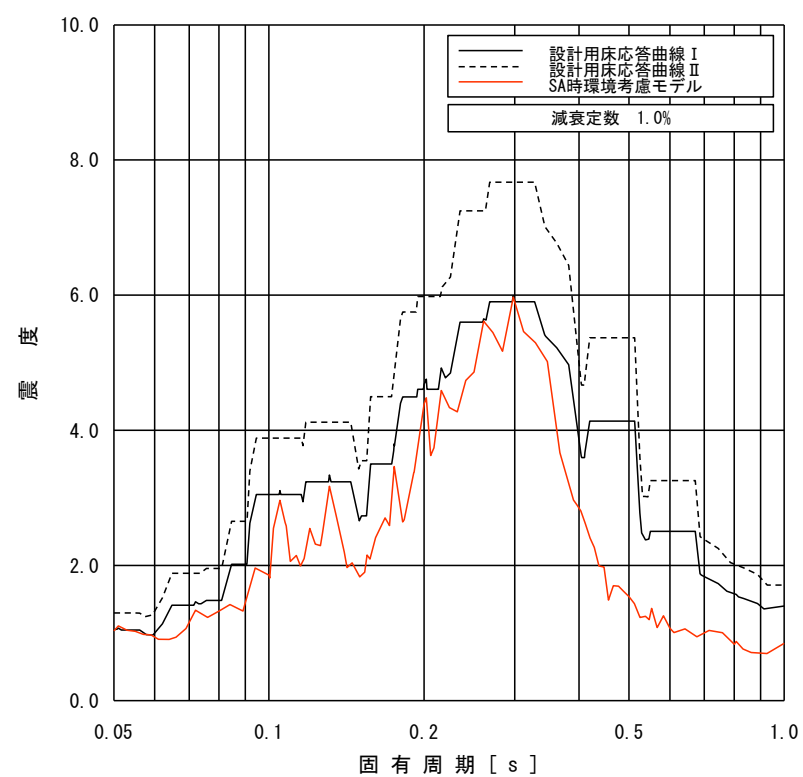
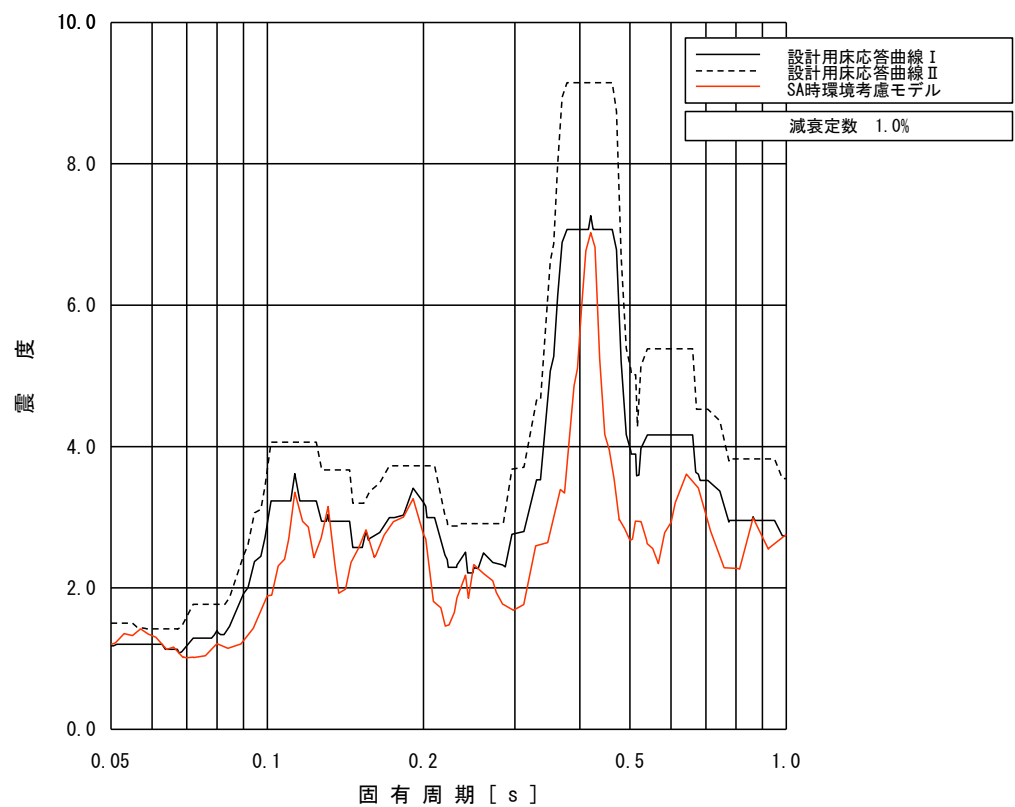


図 4-1 床応答スペクトルの比較(7/9)  
(原子炉建屋, T. M. S. L. 4.8m, 減衰 1.0%, 上: 水平, 下: 鉛直)

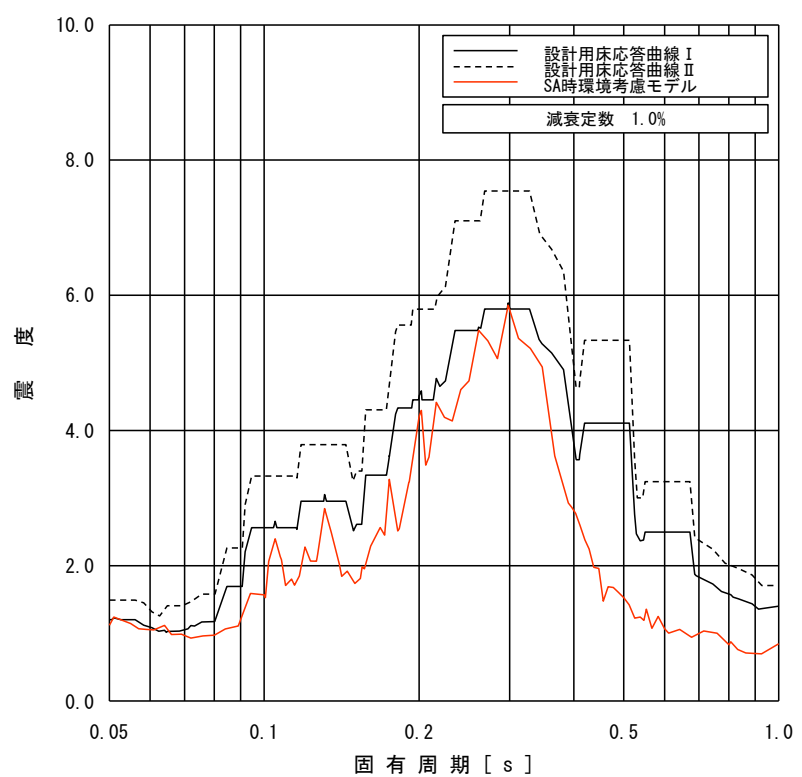
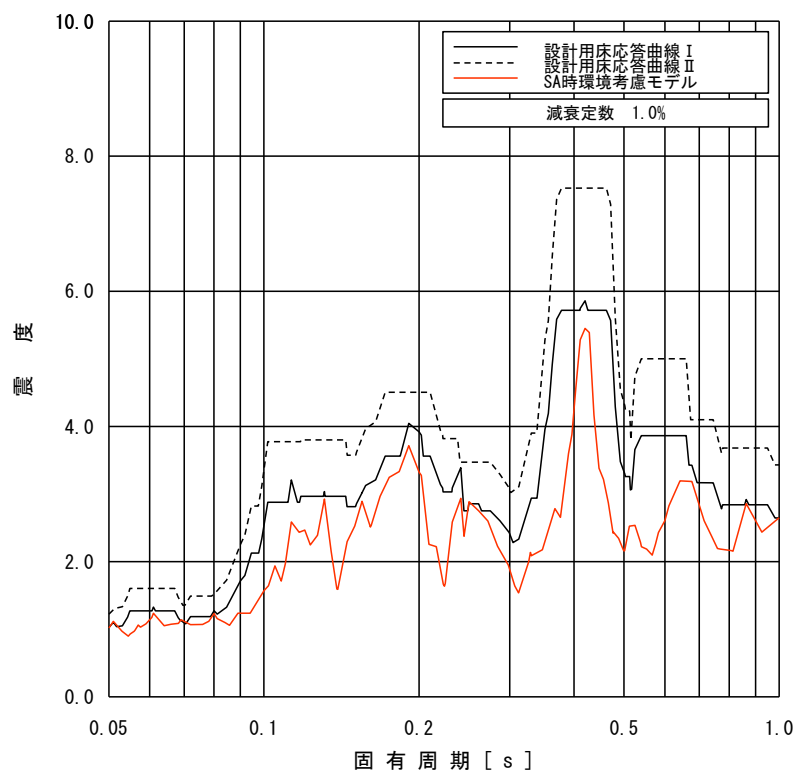


図 4-1 床応答スペクトルの比較(8/9)  
(原子炉建屋, T.M.S.L. -1.7m, 減衰 1.0%, 上 : 水平, 下 : 鉛直)

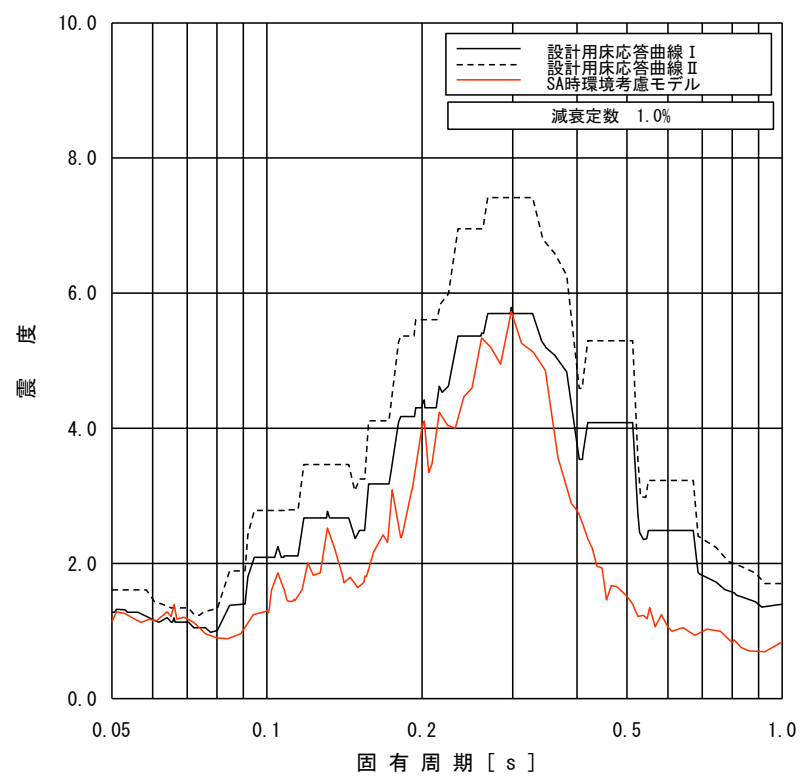
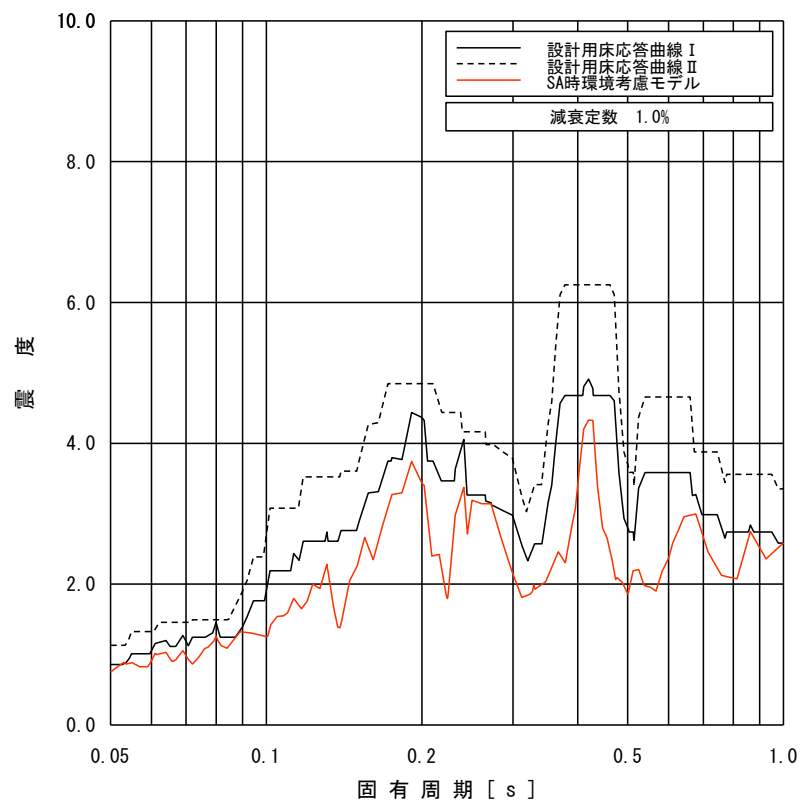


図 4-1 床応答スペクトルの比較 (9/9)  
(原子炉建屋, T.M.S.L. -8.2m, 減衰 1.0%, 上 : 水平, 下 : 鉛直)

## 4.2 大型機器系の地震応答解析結果による影響

### 4.2.1 検討方針

機器・配管系への重大事故等時の高温による影響の考慮にあたり、「3.2.1 解析条件」の「剛性低下考慮モデル」の温度条件に加えてさらに重大事故等時の水位条件を考慮した大型機器系の地震応答解析モデル（以下「SA時環境考慮連成モデル」という。）の応答を求め、「大型機器系の地震応答解析モデル」の応答と比較する。

比較に用いる地震動は、「3.1 検討方針」に記載される基準地震動 Ss-1 に加え、機器・配管系への重大事故等時の高温の影響を確認する観点から V-2-2-4 「原子炉本体の基礎の地震応答計算書」の結果より原子炉遮蔽壁及び原子炉本体基礎等で地震荷重が大きくなる傾向となる基準地震動 Ss-2 を選定する。また、「大型機器系の地震応答解析モデル」による地震応答解析結果及び床応答スペクトルとの比較には、「SA時環境考慮連成モデル」での基準地震動 Ss-1 及び Ss-2 の地震応答解析結果を包絡したもの用いる。

なお、重大事故等時の有効性評価で対象とする事故シナリオのうち、RCCV 内の高温状態が長期間続く事故シナリオ（格納容器破損モード）では事象発生後に炉心が損傷に至り炉内構造物の機能が喪失することから、炉内構造物は本検討の対象外とする。

### 4.2.2 「SA時環境考慮連成モデル」のモデル化

#### (1) RPV 及び RCCV 内の環境条件

基準地震動 Ss と組み合わせる RCCV 内の環境条件として、 $2 \times 10^{-1}$  年(約 60 日)後の RCCV 内温度を包絡し設定した値として表 4-3 の値を適用した。なお、表 4-3 の条件は V-1-2-1 「原子炉本体の基礎に関する説明書」等の原子炉格納施設の評価条件と同じである。

重大事故等時の温度条件、RPV 及び RCCV 内の水位及び燃料状態等の炉内環境は重大事故等の進展に伴い変化する。重大事故等時の RPV のモデル化において、耐震評価では重心位置が高いほうが地震時の応答が大きくなる傾向があることから、「SA時環境考慮連成モデル」における炉内水位及び燃料状態等は燃料破損や冷却材喪失等の状態を考慮せず「大型機器系の地震応答解析モデル」の諸元を適用して解析を実施する(別紙 5-2(1)参照)。

RPV、RCCV 等の「SA時環境考慮連成モデル」における諸元設定について表 4-4 に、モデル図を図 4-2 に示す。「SA時環境考慮連成モデル」は「大型機器系の地震応答解析モデル」の水平方向モデル及び鉛直方向モデルを用いており、鉛直方向モデルには炉内構造物も含まれているが、「4.2.1 検討方針」のとおり炉内構造物は検討の対象外としている。

「大型機器系の地震応答解析モデル」と「SA 時環境考慮連成モデル」の比較を別紙 5-2(2)に「SA 時環境考慮連成モデル」の原子炉本体基礎のスケルトン曲線の設定を別紙 5-2(3)に示す。

表 4-3 「SA 時環境考慮連成モデル」に適用する解析条件

項目			大型機器系 の地震応答 解析モデル	SA 時環境 考慮連成 モデル	SA 時環境考慮連成モデル設 定の考え方
温 度	原子炉 格納容器内 温度 (°C)	ドライウェル	—	100	重大事故等時に原子炉格納容器バウンダリと基準地震動 Ss との組み合わせを行う $2 \times 10^{-1}$ 年(約 60 日)後の原子炉格納容器内温度 $74^{\circ}\text{C}$ * <sup>1</sup> を包含させた値を設定した。
		サプレッショ ンチェンバ	—	100	
水 位	サプレッションプール 水位(m)		7.10 (T.M.S.L. -1.10)	17.15 (T.M.S.L. 8.95)	重大事故等時の格納容器ス プレイは格納容器ベントラ イン水没防止のため、水位 がベントライン-1mを超えない ように格納容器スプレイを停 止するが、保守性を考 慮して格納容器ベントライ ン下端までの水位を設定し た。* <sup>2</sup>
	下部ドライウェル 水位(m)		—	14.00 (T.M.S.L. 7.40)	格納容器過圧・過温破損 (代替循環冷却系を使用し ない場合)において最大と なる水位を設定した。* <sup>2</sup>

注記\* 1 : 補足説明資料「重大事故等対処施設の耐震設計における重大事故と地震の組合せについて」(KK7 補足-024-6)

\* 2 : V-1-8-1 「原子炉格納施設の設計条件に関する説明書」

表 4-4 「SA 時環境考慮連成モデル」に用いた諸元設定方法

項目		SA 時環境考慮連成モデル	SA 時環境考慮連成モデル設定の考え方
原子炉 圧力容器	炉内環境 (水位, 燃 料状態)	大型機器系の地震 応答解析モデルの 諸元を適用	重心位置が高く地震応答が大きくなる「大 型機器系の地震応答解析モデル」の炉内環 境を諸元設定に適用する。
	温度		
原子炉 格納容器	温度	100°C	重大事故等時に原子炉格納容器バウンダリ と基準地震動 Ss との組み合わせを行う $2 \times 10^{-1}$ 年(約 60 日)後の原子炉格納容器内 温度 74°C *を包含させた値を設定した。

注記\* : 補足説明資料「重大事故等対処施設の耐震設計における重大事故と地震の  
組合せについて」(KK7 補足-024-6)

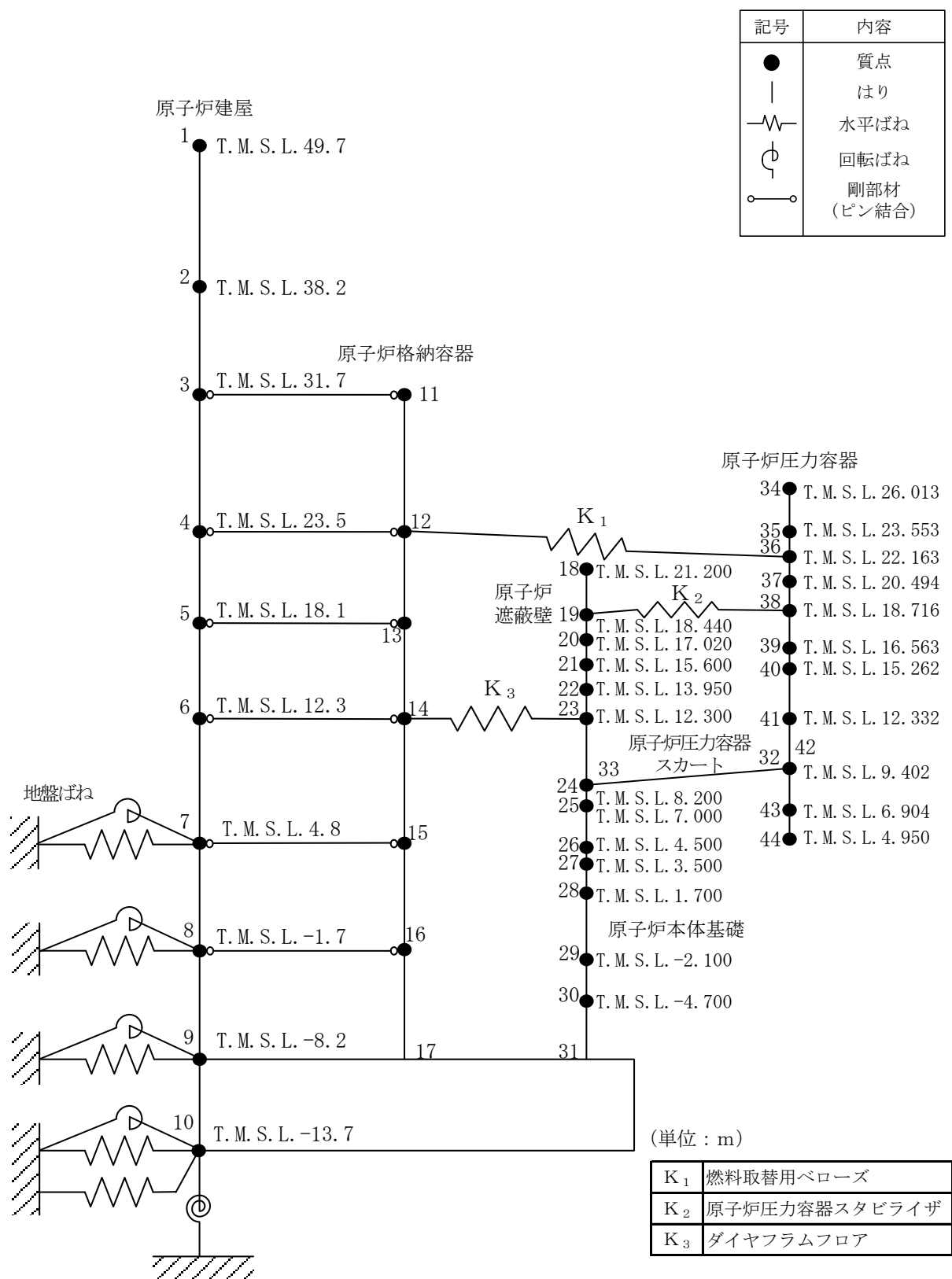


図 4-2 SA 時環境考慮連成モデル (NS 方向) (1/3)

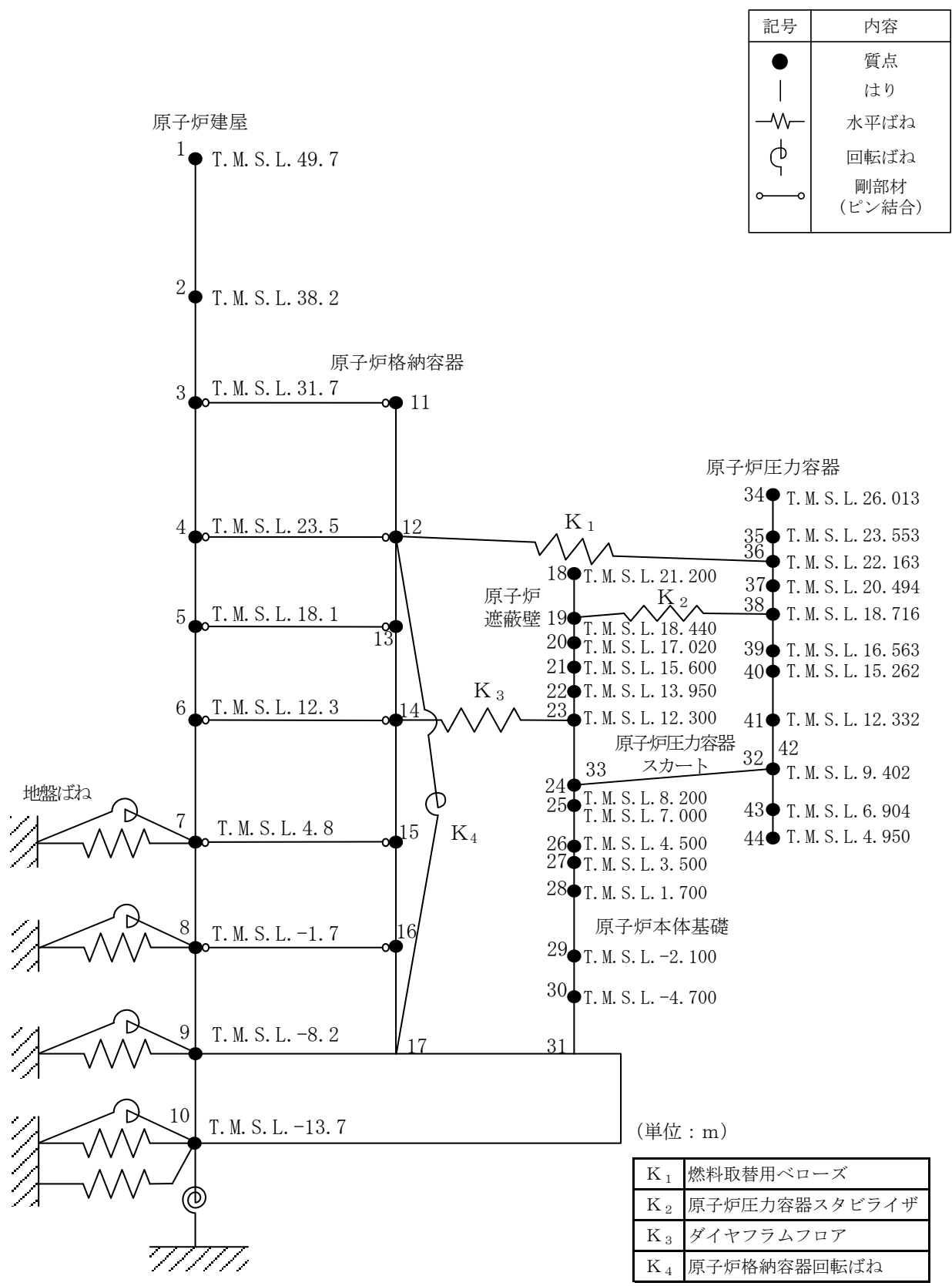


図 4-2 SA 時環境考慮連成モデル (EW 方向) (2/3)

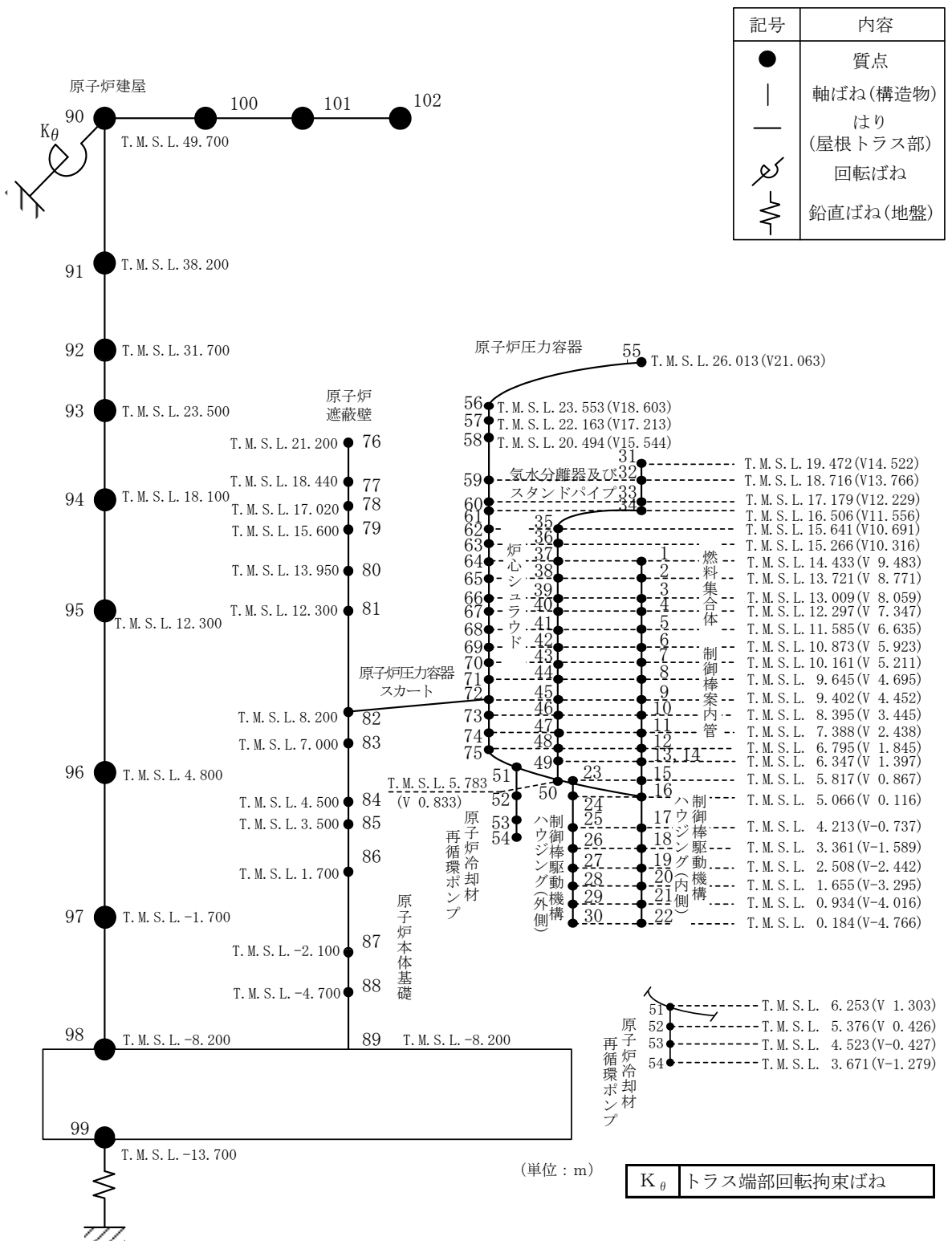


図 4-2 SA時環境考慮連成モデル(鉛直方向)(3/3)

## (2) 剛性低下率

原子炉本体基礎のコンクリートは鋼板に覆われている構造である。また、既往の文献\*によって、コンクリートを鋼板で密封した試験体を加熱した場合 175°Cまでの範囲においてコンクリート剛性の低下が見られないことが確認されている。以上のことから、原子炉本体基礎は、重大事故等時の熱によるコンクリート部材の剛性低下は小さいと考えられるが、念のため、「SA 時環境考慮連成モデル」において重大事故等時の熱による剛性低下を考慮する。

「SA 時環境考慮連成モデル」にてコンクリート部材としてモデル化している原子炉本体基礎、ダイヤフラムフロアのコンクリート部材の解析条件は、「3.2.1 解析条件」と同様に剛性低下を見込んで設定する。**表 4-5** に「SA 時環境考慮連成モデル」に用いたコンクリート部材の剛性低下率を示す。

「SA 時環境考慮連成モデル」の諸元設定においては、高温状態を経験したコンクリート部材の剛性は元に戻らないと仮定し、コンクリート部材の剛性低下率の検討に用いる温度は、「3.2.1 解析条件」と同様に、重大事故等時の有効性評価の「格納容器過圧・過温破損（代替循環冷却系を使用しない場合）」における最高温度 168°Cとする。また、コンクリート部材の剛性低下率は原子炉建屋の「剛性低下考慮モデル」と同様に「Eurocode 2」に基づき設定する。

なお、原子炉遮蔽壁は円筒形の内外の鋼板及びその内部に充てんされたモルタルで構成されているが、建設時及び今回工認の建屋一機器連成地震応答解析モデルにおいて、モルタル部材の剛性を考慮せず鋼材の剛性のみ考慮している。このため「SA 時環境考慮連成モデル」でも同様に、原子炉遮蔽壁は鋼材の剛性のみを考慮する（別紙 5-2(4) 参照）。

鋼材の剛性は高温状態を経験した後においても温度に応じて変化するため、原子炉本体基礎と原子炉遮蔽壁の鋼材の剛性は表 4-3 の RCCV 内雰囲気温度 (100°C)に基づき設定する。

注記\*：長尾 他：高温履歴を受けるコンクリートの物性に関する実験的研究：  
日本建築学会構造系論文集 第 457 号 1994

**表 4-5 「SA 時環境考慮連成モデル」に用いたコンクリート部材の剛性低下率**

		検討に用いた温度 (°C)	剛性低下率
原子炉 本体基礎	コンクリート	168	0.49
	(鋼材)	100	—
ダイヤフラムフロア		168	0.49

#### 4.2.3 解析結果

##### (1) 地震応答解析結果

「SA 時環境考慮連成モデル」による固有値解析結果を表 4-6 に、振動モード図を図 4-3 に示す。なお、刺激係数は、モードごとに固有ベクトルの最大値を 1 に基準化して得られる値を示している。

「大型機器系の地震応答解析モデル」による地震力（V-2-2-4 「原子炉本体の基礎の地震応答計算書」に示す設計用地震力 I, 設計用地震力 II）と「SA 時環境考慮連成モデル」による地震力による比較結果を表 4-7 に示す。また、「大型機器系の地震応答解析モデル」による床応答スペクトル（V-2-1-7 「設計用床応答曲線の作成方針」に示す設計用床応答曲線 I, 設計用床応答曲線 II）と「SA 時環境考慮連成モデル」の床応答スペクトルの比較結果（水平方向（NS, EW 包絡）及び鉛直方向）を図 4-4 に示す。なお、床応答スペクトルは代表減衰 1.0% にて比較した。

表 4-7 より「SA 時環境考慮連成モデル」による地震力は、原子炉本体基礎の基部付近で発生するせん断力が「大型機器系の地震応答解析モデル」の設計用地震力 I に対し一部上回るもの、大部分で設計用地震力 I を下回ることを確認した。

図 4-4 より、床応答スペクトルは、高温による材料物性の剛性低下の影響で一部の周期帯で長周期側へのピークのシフトや応答の増幅が見られるものの、大部分では「大型機器系の地震応答解析モデル」の床応答スペクトルとほぼ同程度か下回ることを確認した。

表 4-6 固有値解析結果(Ss-1, NS 方向)(1/6)

次数		固有周期(s)		刺激係数	
大型機器系 の地震応答 解析モデル	SA 時環境考 慮連成 モデル	大型機器系 の地震応答 解析モデル	SA 時環境考 慮連成 モデル	大型機器系の 地震応答解析 モデル	SA 時環境考 慮連成 モデル
1	1	0.438	0.448	1.587	1.592
2	2	0.193	0.199	-0.699	-0.682
3	3	0.091	0.101	0.070	-0.068
4	4	0.079	0.086	-0.500	-0.685
5	5	0.077	0.082	-0.055	0.088
6	6	0.070	0.076	0.264	0.251
7	7	0.056	0.059	-0.039	-0.027
—	8	—	0.056	—	0.073
—	9	—	0.050	—	-0.015

表 4-6 固有値解析結果(Ss-2, NS 方向)(2/6)

次数		固有周期(s)		刺激係数	
大型機器系 の地震応答 解析モデル	SA 時環境考 慮連成 モデル	大型機器系 の地震応答 解析モデル	SA 時環境考 慮連成 モデル	大型機器系の 地震応答解析 モデル	SA 時環境考 慮連成 モデル
1	1	0.437	0.447	1.588	1.593
2	2	0.192	0.199	-0.700	-0.683
3	3	0.091	0.101	0.070	-0.068
4	4	0.079	0.086	-0.509	-0.693
5	5	0.077	0.082	-0.055	0.091
6	6	0.070	0.076	0.266	0.253
7	7	0.056	0.059	-0.040	-0.027
—	8	—	0.056	—	0.073
—	9	—	0.050	—	-0.015

表 4-6 固有値解析結果 (Ss-1, EW 方向) (3/6)

次数		固有周期(s)		刺激係数	
大型機器系 の地震応答 解析モデル	SA 時環境考 慮連成 モデル	大型機器系 の地震応答 解析モデル	SA 時環境考 慮連成 モデル	大型機器系の 地震応答解析 モデル	SA 時環境考 慮連成 モデル
1	1	0.428	0.438	1.549	1.554
2	2	0.191	0.197	-0.619	-0.613
3	3	0.082	0.089	-0.033	-0.087
4	4	0.079	0.085	-0.514	-0.478
5	6	0.071	0.076	0.162	0.037
6	5	0.070	0.077	0.065	0.156
7	7	0.058	0.064	0.062	0.089
—	8	—	0.056	—	0.069
—	9	—	0.053	—	-0.011

表 4-6 固有値解析結果 (Ss-2, EW 方向) (4/6)

次数		固有周期(s)		刺激係数	
大型機器系 の地震応答 解析モデル	SA 時環境考 慮連成 モデル	大型機器系 の地震応答 解析モデル	SA 時環境考 慮連成 モデル	大型機器系の 地震応答解析 モデル	SA 時環境考 慮連成 モデル
1	1	0.427	0.437	1.549	1.554
2	2	0.191	0.197	-0.620	-0.614
3	3	0.082	0.089	-0.033	-0.087
4	4	0.079	0.084	-0.519	-0.483
5	6	0.071	0.076	0.169	0.037
6	5	0.070	0.077	0.060	0.165
7	7	0.058	0.064	0.062	0.090
—	8	—	0.056	—	0.069
—	9	—	0.053	—	-0.011

表 4-6 固有値解析結果(Ss-1, 鉛直方向)(5/6)

次数		固有周期(s)		刺激係数	
大型機器系 の地震応答 解析モデル	SA 時環境考 慮連成 モデル	大型機器系 の地震応答 解析モデル	SA 時環境考 慮連成 モデル	大型機器系の 地震応答解析 モデル	SA 時環境考 慮連成 モデル
1	1	0.279	0.281	9.274	10.385
2	2	0.258	0.262	-8.335	-9.446
3	3	0.077	0.077	0.093	0.100
4	4	0.052	0.059	-0.216	0.119
5	5	0.051	0.051	0.184	-0.094

表 4-6 固有値解析結果(Ss-2, 鉛直方向)(6/6)

次数		固有周期(s)		刺激係数	
大型機器系 の地震応答 解析モデル	SA 時環境考 慮連成 モデル	大型機器系 の地震応答 解析モデル	SA 時環境考 慮連成 モデル	大型機器系の 地震応答解析 モデル	SA 時環境考 慮連成 モデル
1	1	0.279	0.280	8.833	10.012
2	2	0.256	0.260	-7.895	-9.075
3	3	0.077	0.077	0.094	0.102
4	4	0.052	0.059	-0.220	0.121
5	5	0.051	0.051	0.188	-0.095

- 1 原子炉建屋  
2 原子炉格納容器  
3 原子炉遮蔽壁及び原子炉本体基礎  
4 原子炉圧力容器

固有周期 (s) ; 0.448 刺激係数 ; 1.592

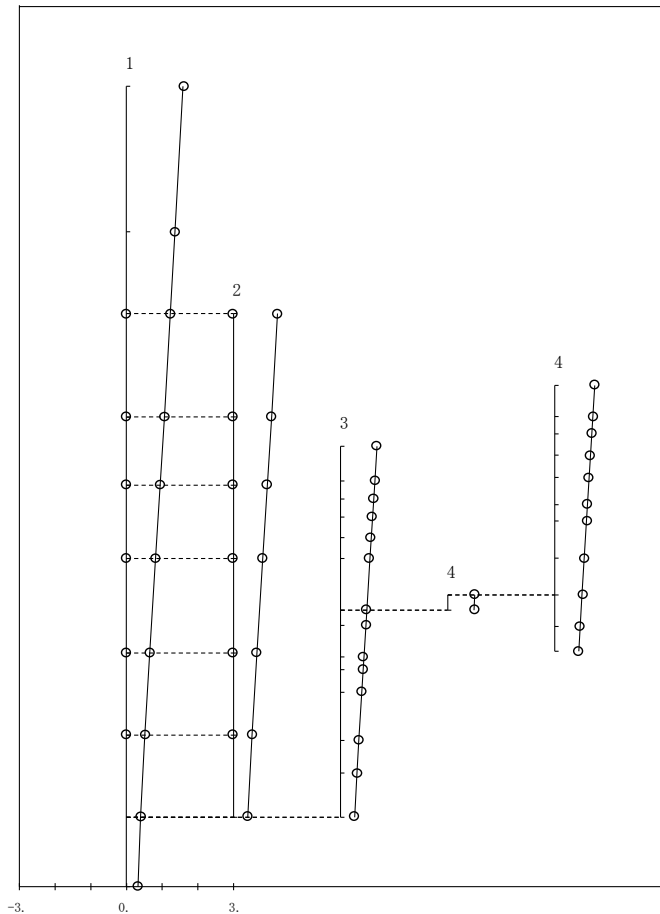


図 4-3(1) 第 1 次振動モード (Ss-1, NS 方向) (1/9)

- 1 原子炉建屋  
2 原子炉格納容器  
3 原子炉遮蔽壁及び原子炉本体基礎  
4 原子炉圧力容器

固有周期 (s) ; 0.199 刺激係数 ; -0.682

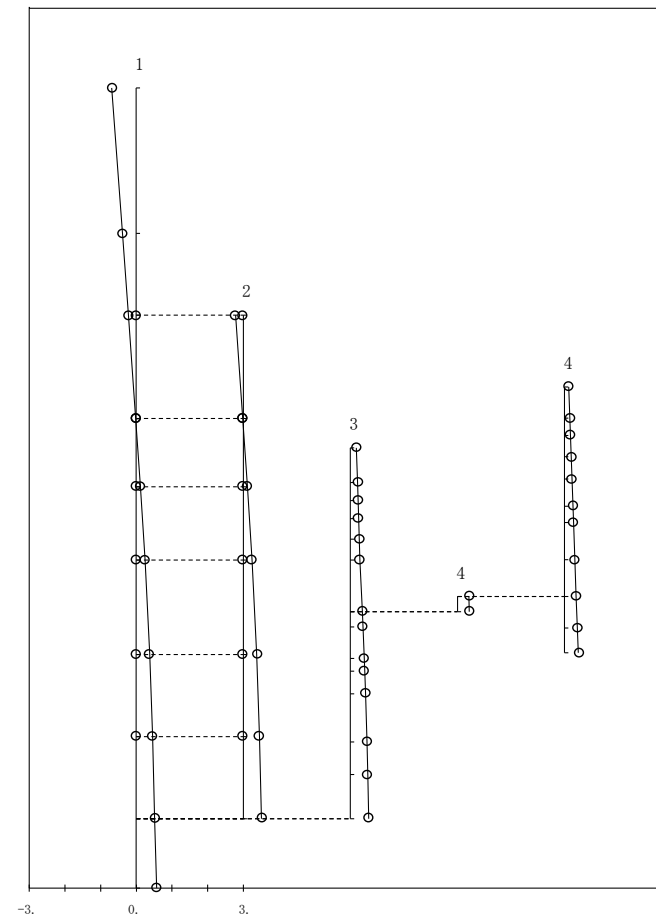


図 4-3(1) 第 2 次振動モード (Ss-1, NS 方向) (2/9)

- 1 原子炉建屋  
2 原子炉格納容器  
3 原子炉遮蔽壁及 D 原子炉本体基礎  
4 原子炉圧力容器

固有周期 (s) ; 0.101 訓激励係数 ; -0.068

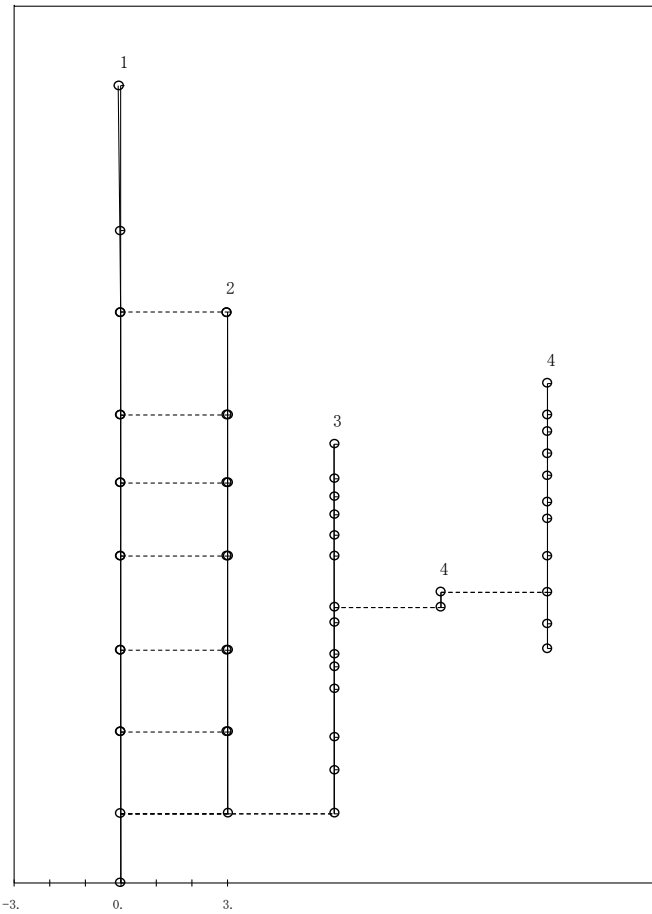


図 4-3(1) 第 3 次振動モード (Ss-1, NS 方向) (3/9)

- 1 原子炉建屋  
2 原子炉格納容器  
3 原子炉遮蔽壁及 D 原子炉本体基礎  
4 原子炉圧力容器

固有周期 (s) ; 0.086 訓激励係数 ; -0.685

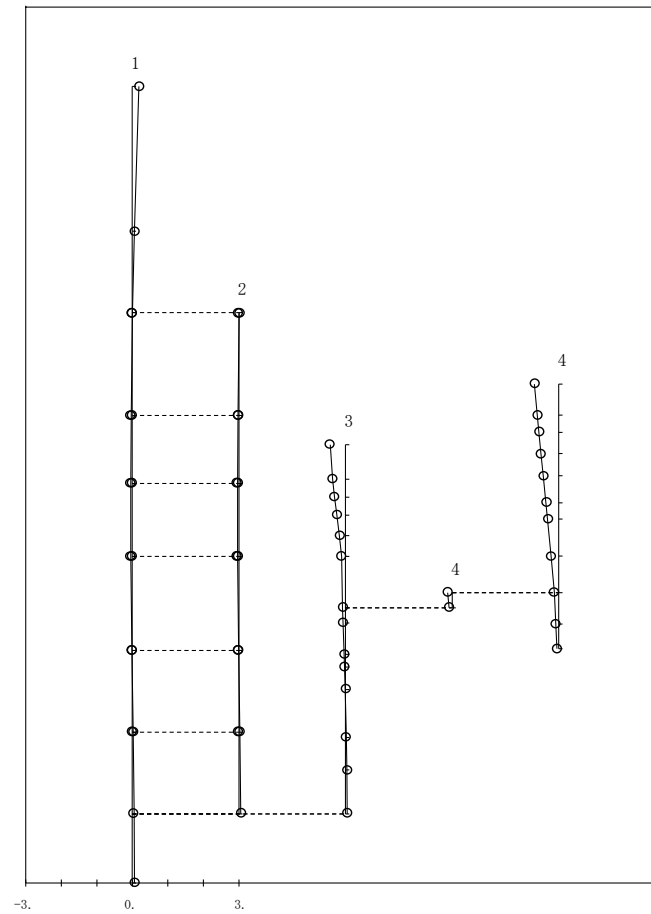


図 4-3(1) 第 4 次振動モード (Ss-1, NS 方向) (4/9)

- 1 原子炉建屋  
 2 原子炉格納容器  
 3 原子炉遮蔽壁及び原子炉本体基礎  
 4 原子炉圧力容器

固有周期 (s) ; 0.082 刺激係数 ; 0.088

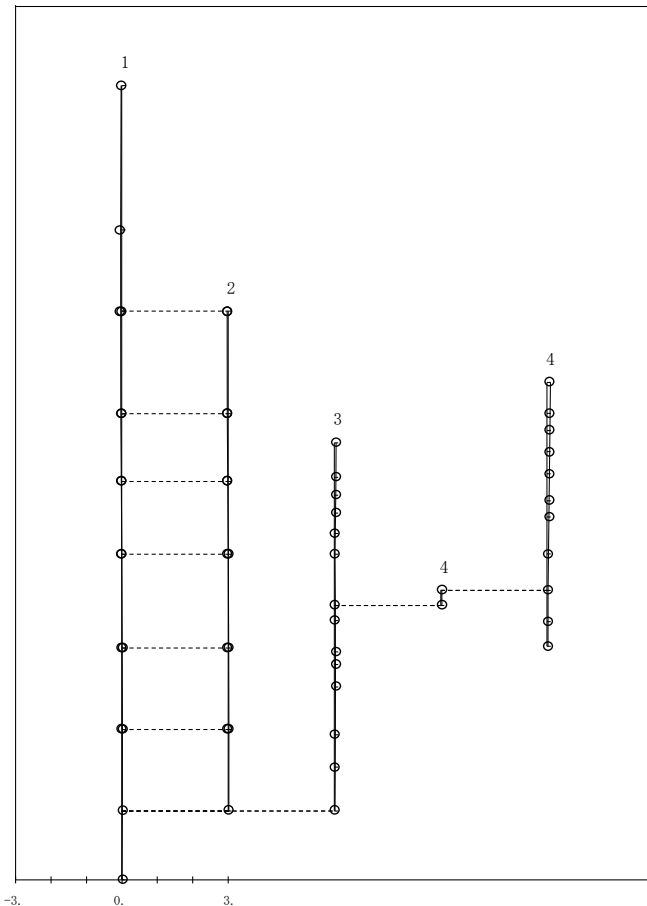


図 4-3(1) 第 5 次振動モード (Ss-1, NS 方向) (5/9)

- 1 原子炉建屋  
 2 原子炉格納容器  
 3 原子炉遮蔽壁及び原子炉本体基礎  
 4 原子炉圧力容器

固有周期 (s) ; 0.076 刺激係数 ; 0.251

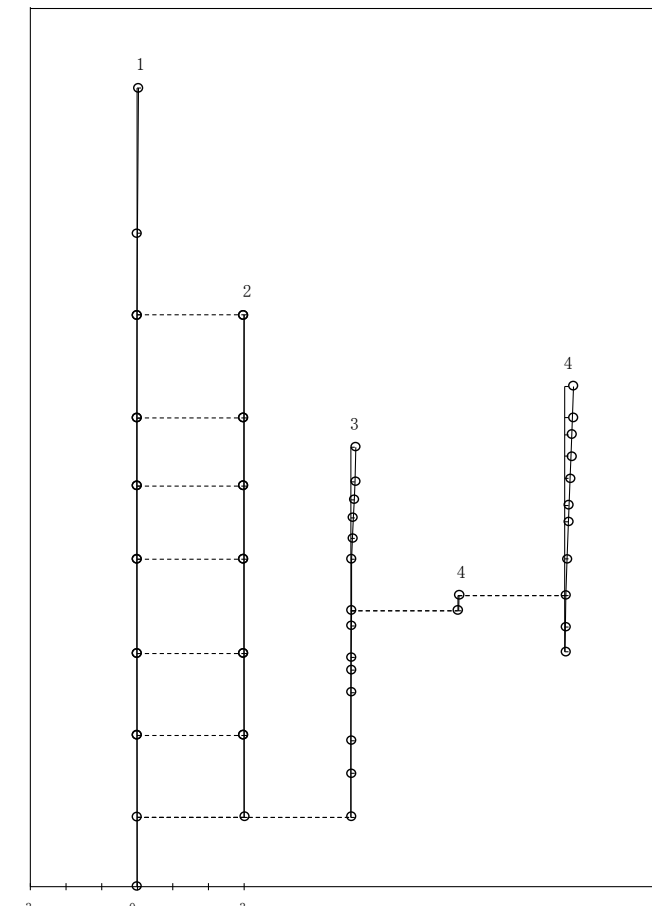


図 4-3(1) 第 6 次振動モード (Ss-1, NS 方向) (6/9)

- 1 原子炉建屋  
 2 原子炉格納容器  
 3 原子炉遮蔽壁及び原子炉本体基礎  
 4 原子炉圧力容器

固有周期 (s) ; 0.059 刺激係数 ; -0.027

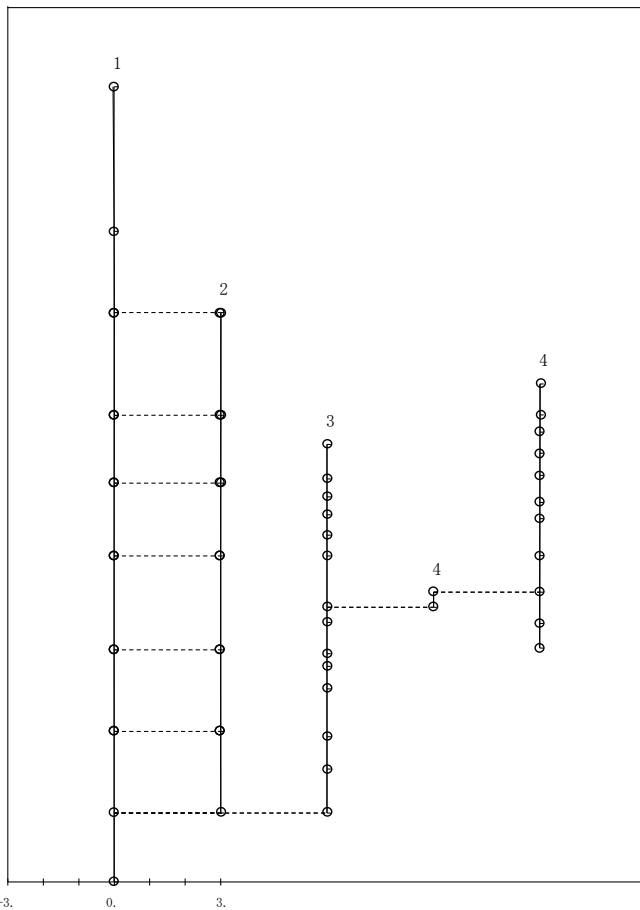


図 4-3(1) 第 7 次振動モード (Ss-1, NS 方向) (7/9)

- 1 原子炉建屋  
 2 原子炉格納容器  
 3 原子炉遮蔽壁及び原子炉本体基礎  
 4 原子炉圧力容器

固有周期 (s) ; 0.056 刺激係数 ; 0.073

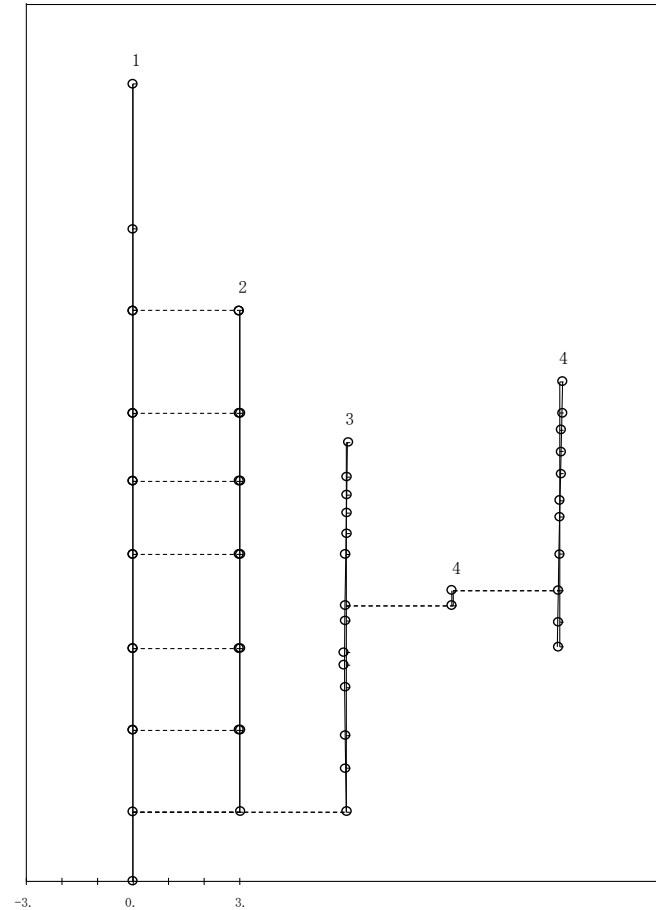


図 4-3(1) 第 8 次振動モード (Ss-1, NS 方向) (8/9)

1 原子炉建屋  
2 原子炉格納容器  
3 原子炉遮蔽壁及び原子炉本体基礎  
4 原子炉圧力容器

固有周期 (s) ; 0.050 刺激係数 ; -0.015

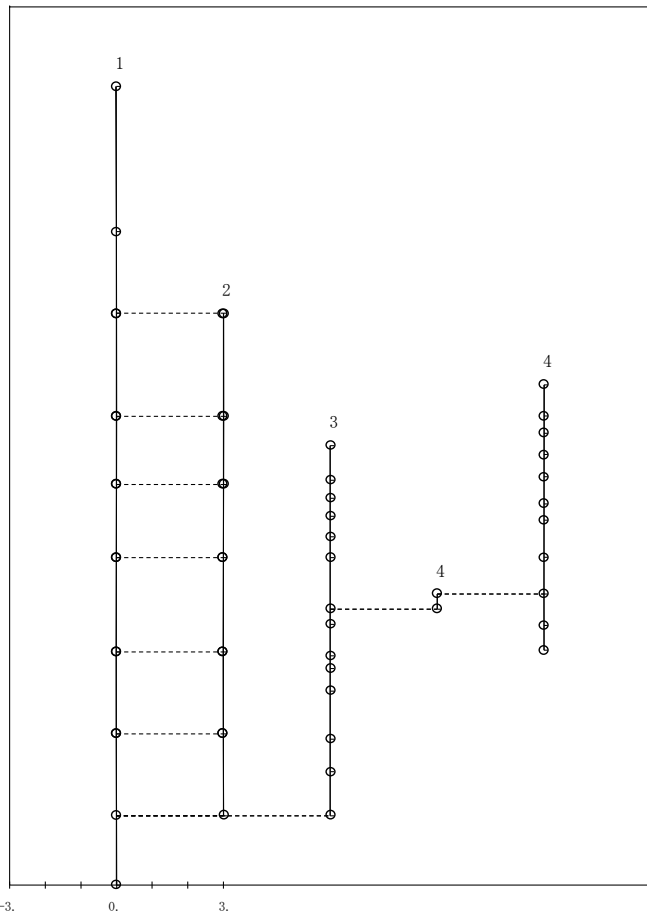


図 4-3(1) 第 9 次振動モード (Ss-1, NS 方向) (9/9)

1 原子炉建屋  
2 原子炉格納容器  
3 原子炉遮蔽壁及び原子炉本体基礎  
4 原子炉圧力容器

固有周期 (s) ; 0.447 刺激係数 ; 1.593

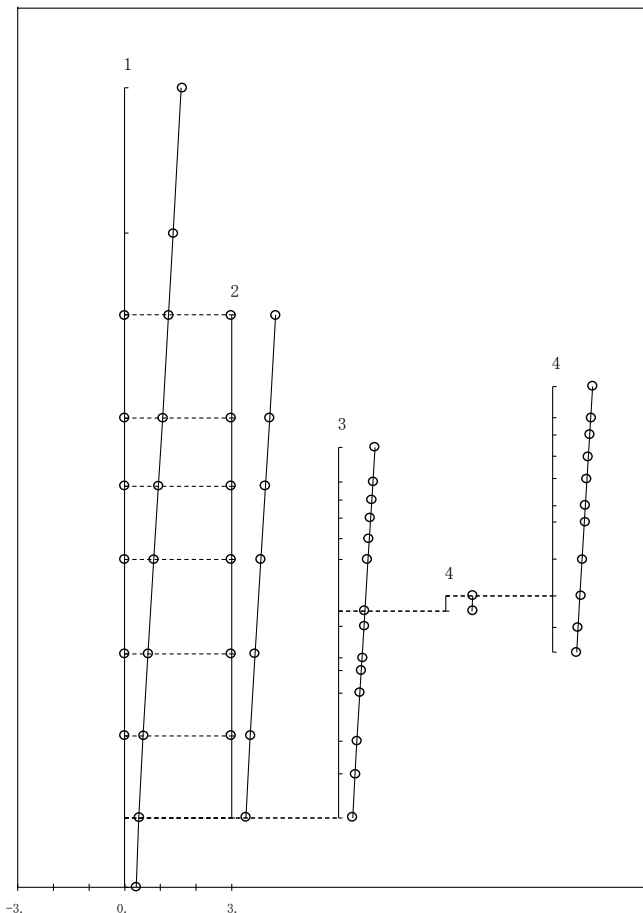


図 4-3(2) 第 1 次振動モード (Ss-2, NS 方向) (1/9)

- 1 原子炉建屋  
 2 原子炉格納容器  
 3 原子炉遮蔽壁及び原子炉本体基礎  
 4 原子炉圧力容器

固有周期 (s) ; 0.199 刺激係数 ; -0.683

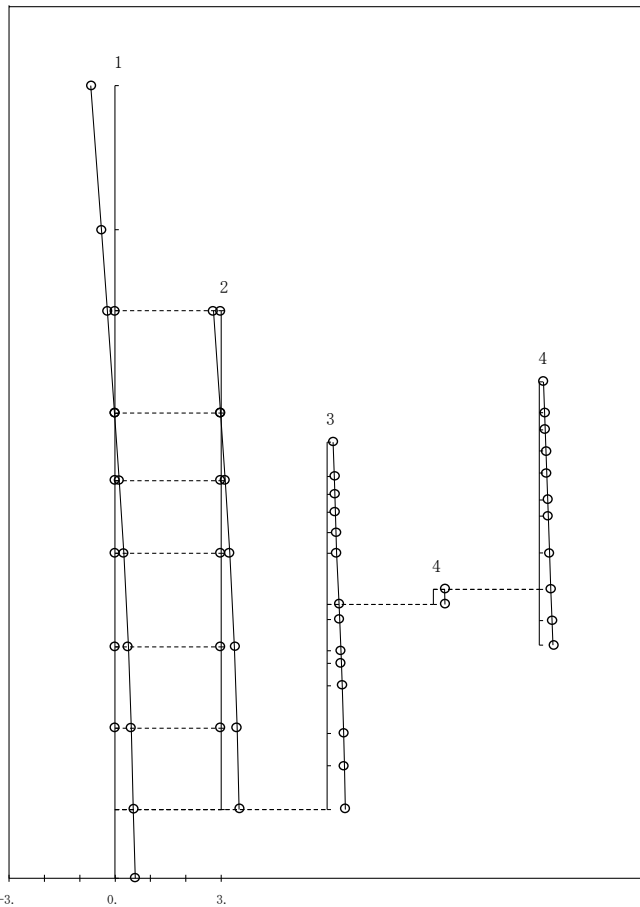


図 4-3(2) 第 2 次振動モード (Ss-2, NS 方向) (2/9)

- 1 原子炉建屋  
 2 原子炉格納容器  
 3 原子炉遮蔽壁及び原子炉本体基礎  
 4 原子炉圧力容器

固有周期 (s) ; 0.101 刺激係数 ; -0.068

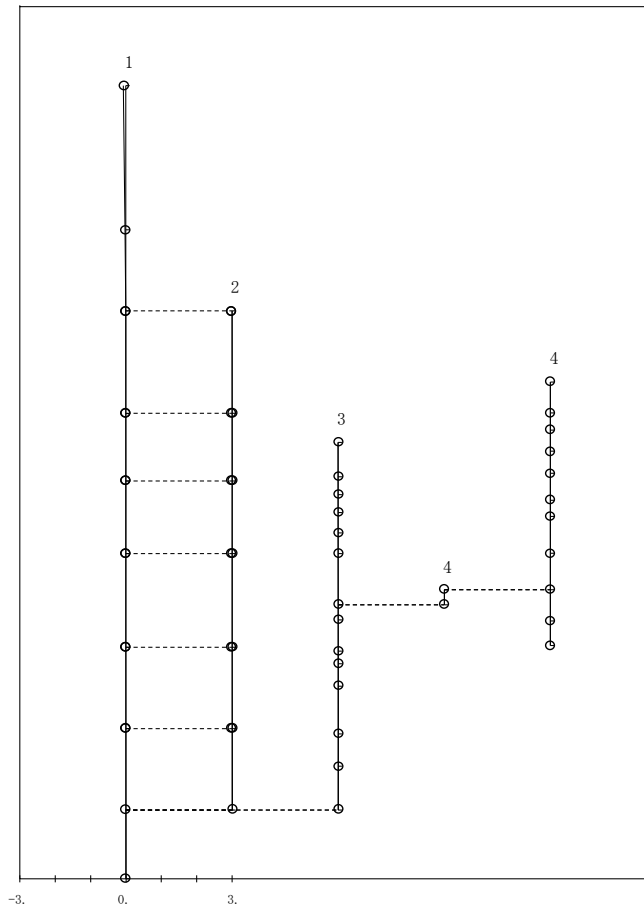


図 4-3(2) 第 3 次振動モード (Ss-2, NS 方向) (3/9)

- 1 原子炉建屋
- 2 原子炉格納容器
- 3 原子炉遮蔽壁及び原子炉本体基礎
- 4 原子炉圧力容器

固有周期 ( s ) ; 0.086 刺激係数 ; -0.693

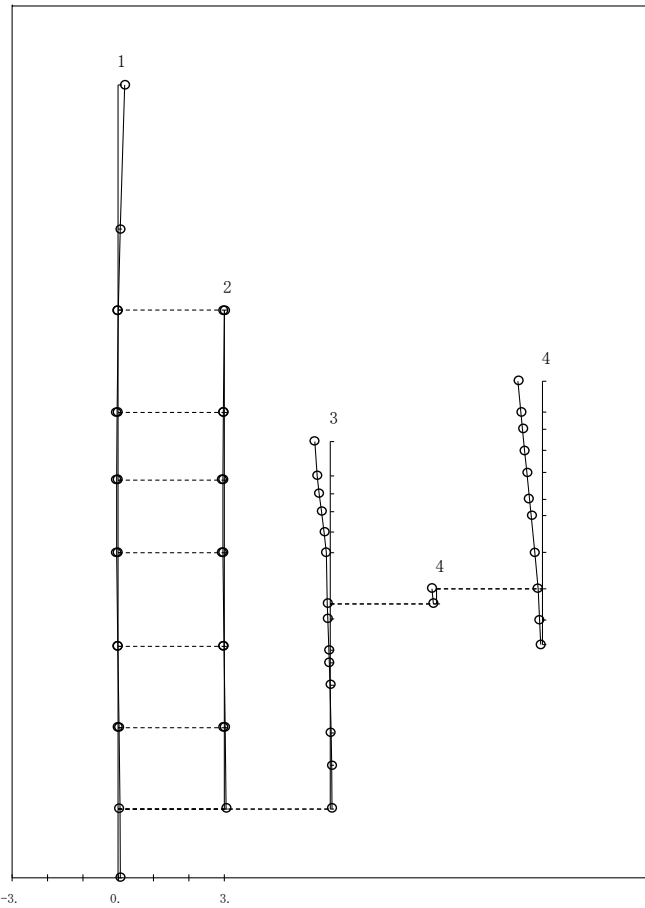


図 4-3(2) 第 4 次振動モード (Ss-2, NS 方向) (4/9)

- 1 原子炉建屋
- 2 原子炉格納容器
- 3 原子炉遮蔽壁及び原子炉本体基礎
- 4 原子炉圧力容器

固有周期 ( s ) ; 0.082 刺激係数 ; 0.091

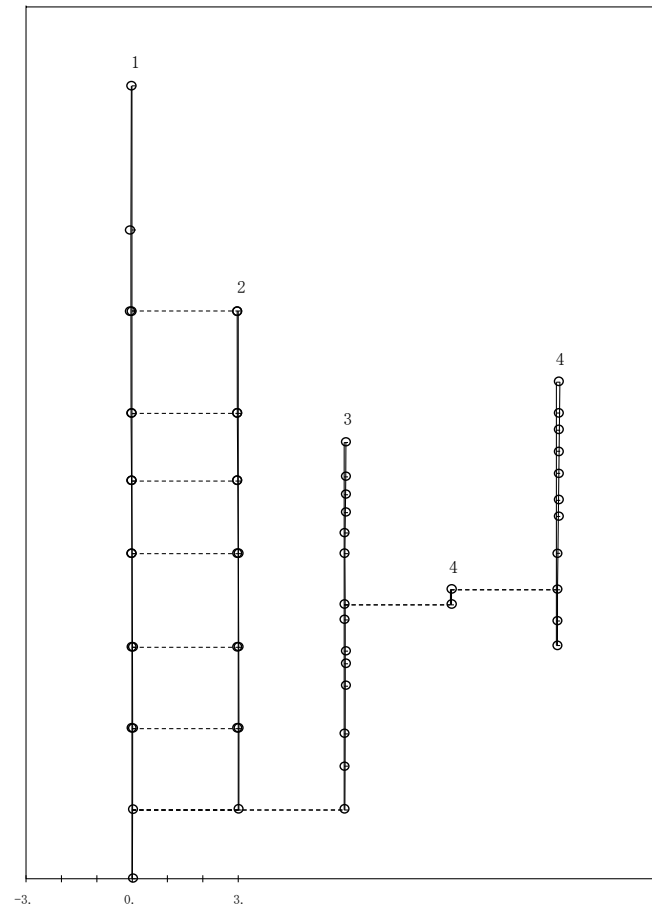


図 4-3(2) 第 5 次振動モード (Ss-2, NS 方向) (5/9)

1 原子炉建屋  
2 原子炉格納容器  
3 原子炉遮蔽壁及び原子炉本体基礎  
4 原子炉圧力容器

固有周期 (s) ; 0.076 刺激係数 ; 0.253

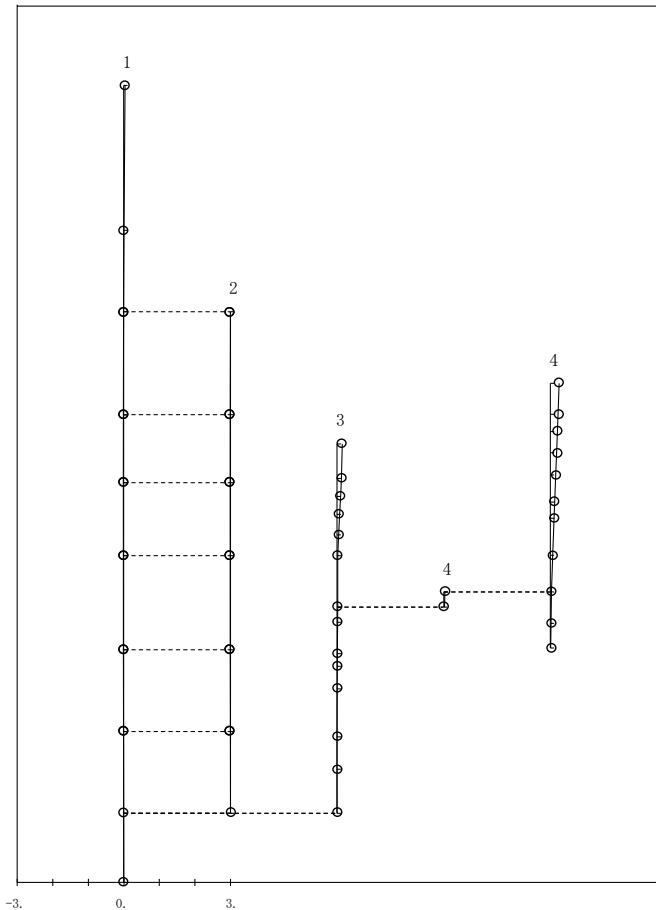


図 4-3(2) 第 6 次振動モード (Ss-2, NS 方向) (6/9)

1 原子炉建屋  
2 原子炉格納容器  
3 原子炉遮蔽壁及び原子炉本体基礎  
4 原子炉圧力容器

固有周期 (s) ; 0.059 刺激係数 ; -0.027

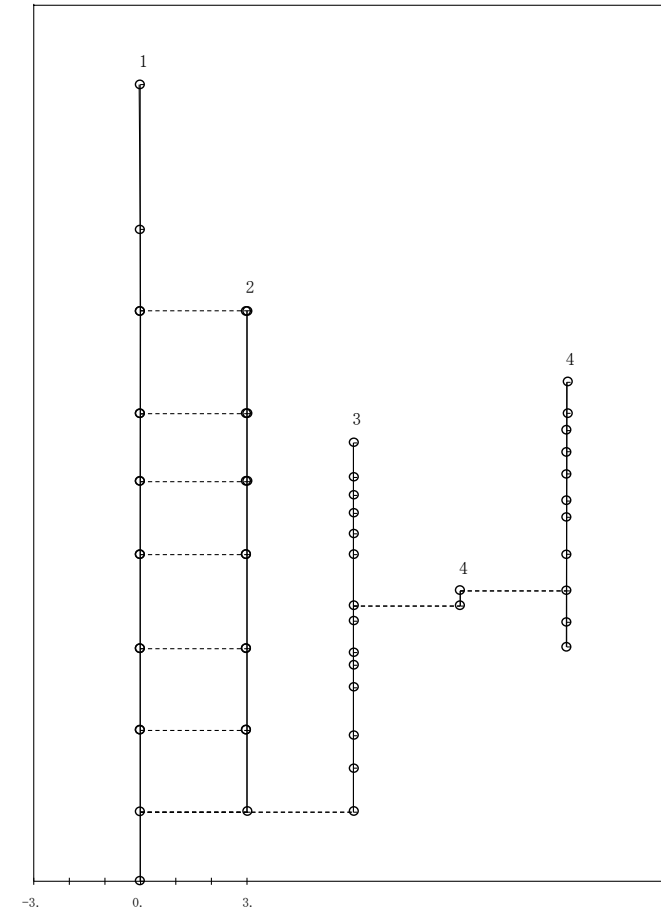


図 4-3(2) 第 7 次振動モード (Ss-2, NS 方向) (7/9)

- 1 原子炉建屋  
2 原子炉格納容器  
3 原子炉遮蔽壁及び原子炉本体基礎  
4 原子炉圧力容器

固有周期 (s) ; 0.056 刺激係数 ; 0.073

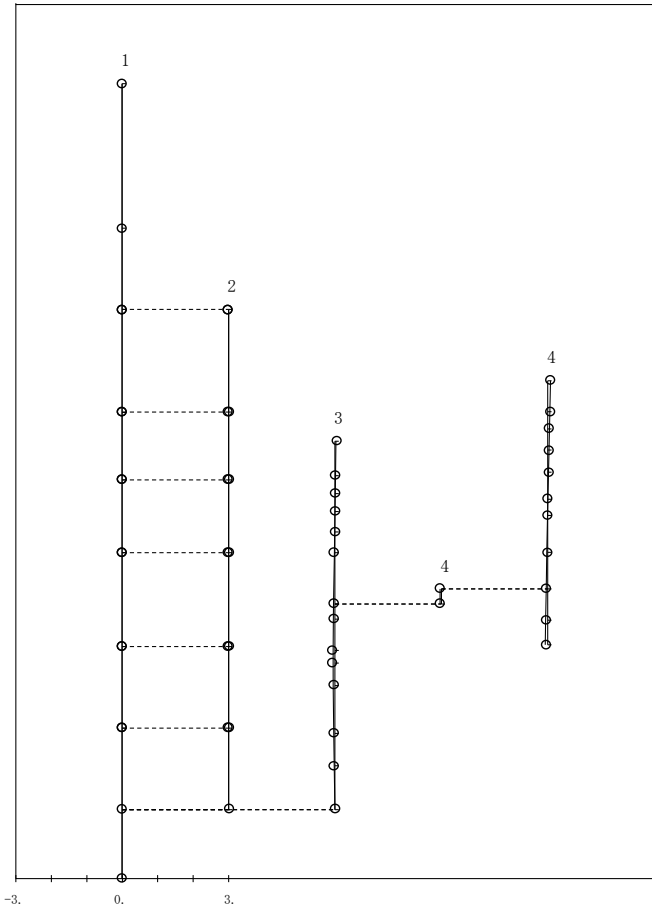


図 4-3(2) 第 8 次振動モード (Ss-2, NS 方向) (8/9)

- 1 原子炉建屋  
2 原子炉格納容器  
3 原子炉遮蔽壁及び原子炉本体基礎  
4 原子炉圧力容器

固有周期 (s) ; 0.050 刺激係数 ; -0.015

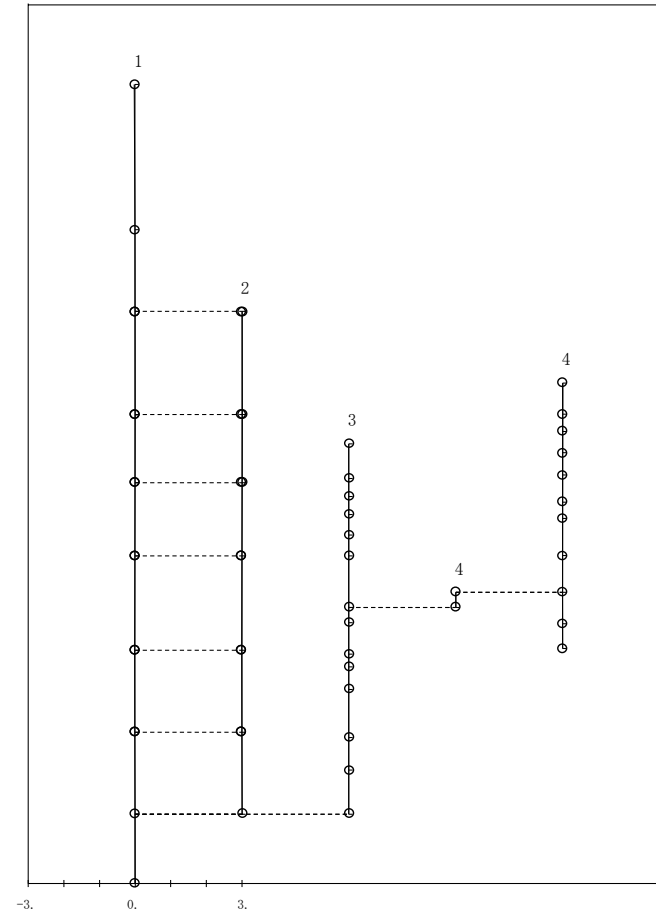


図 4-3(2) 第 9 次振動モード (Ss-2, NS 方向) (9/9)

- 1 原子炉建屋  
2 原子炉格納容器  
3 原子炉遮蔽壁及び原子炉本体基礎  
4 原子炉圧力容器

固有周期 (s) ; 0.438 刺激係数 ; 1.554

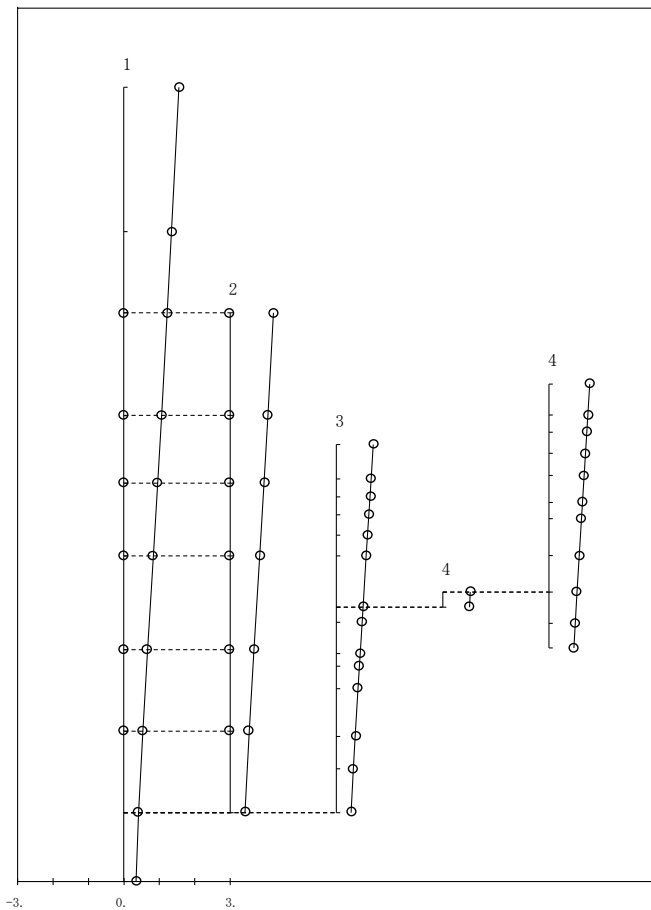


図 4-3(3) 第 1 次振動モード (Ss-1, EW 方向) (1/9)

- 1 原子炉建屋  
2 原子炉格納容器  
3 原子炉遮蔽壁及び原子炉本体基礎  
4 原子炉圧力容器

固有周期 (s) ; 0.197 刺激係数 ; -0.613

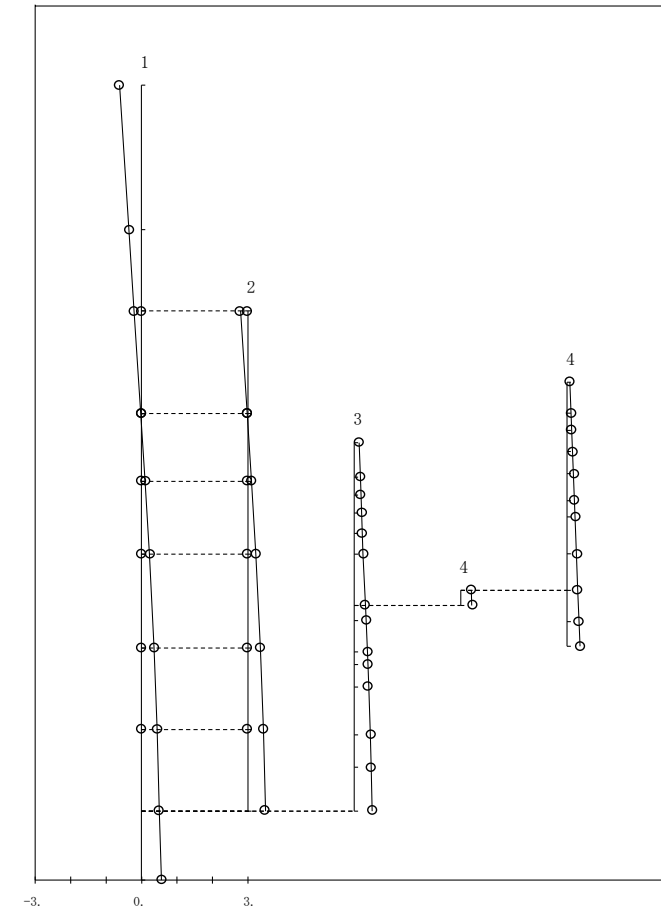


図 4-3(3) 第 2 次振動モード (Ss-1, EW 方向) (2/9)

- 1 原子炉建屋  
2 原子炉格納容器  
3 原子炉遮蔽壁及び原子炉本体基礎  
4 原子炉圧力容器

固有周期 (s) ; 0.089 計算係数 ; -0.087

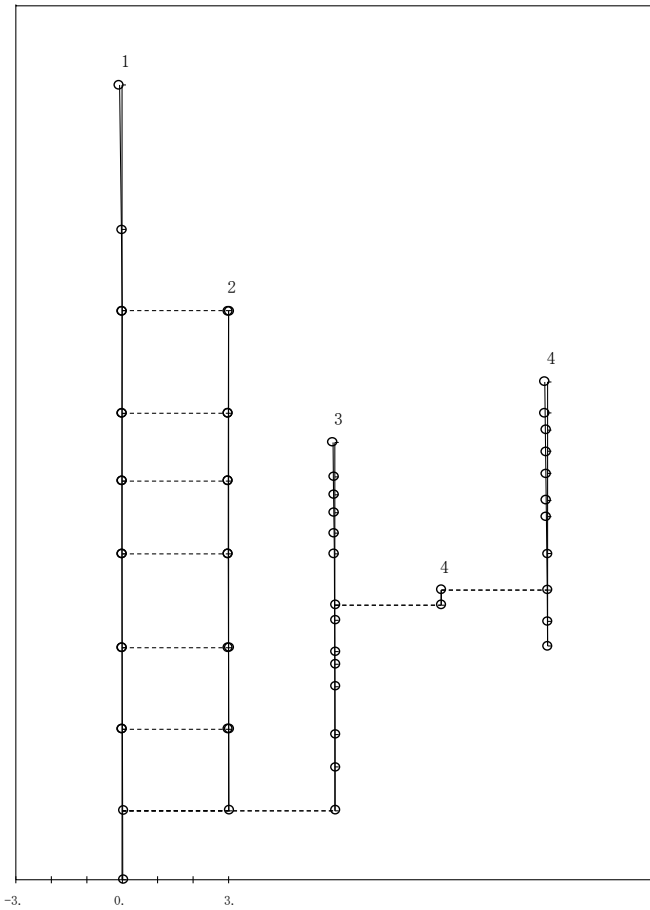


図 4-3(3) 第 3 次振動モード (Ss-1, EW 方向) (3/9)

- 1 原子炉建屋  
2 原子炉格納容器  
3 原子炉遮蔽壁及び原子炉本体基礎  
4 原子炉圧力容器

固有周期 (s) ; 0.085 計算係数 ; -0.478

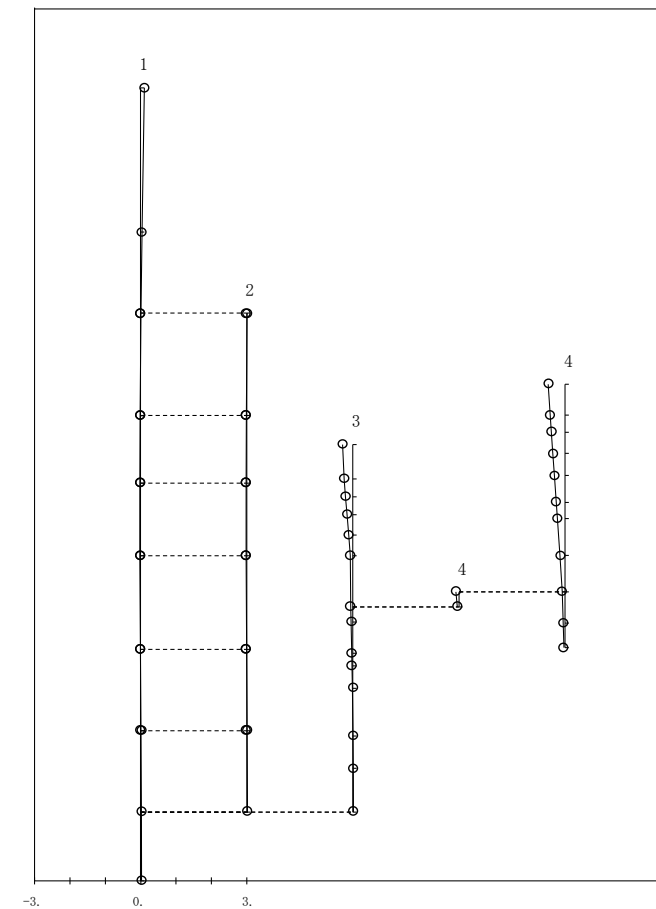


図 4-3(3) 第 4 次振動モード (Ss-1, EW 方向) (4/9)

- 1 原子炉建屋  
2 原子炉格納容器  
3 原子炉遮蔽壁及び原子炉本体基礎  
4 原子炉圧力容器

固有周期 (s) ; 0.077 刺激係数 ; 0.156

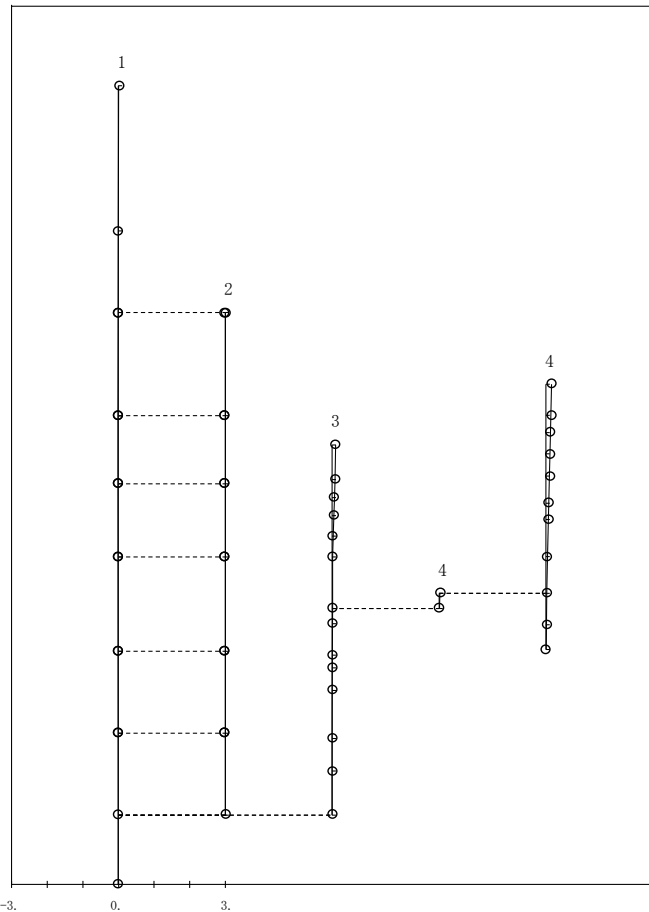


図 4-3(3) 第 5 次振動モード (Ss-1, EW 方向) (5/9)

- 1 原子炉建屋  
2 原子炉格納容器  
3 原子炉遮蔽壁及び原子炉本体基礎  
4 原子炉圧力容器

固有周期 (s) ; 0.076 刺激係数 ; 0.037

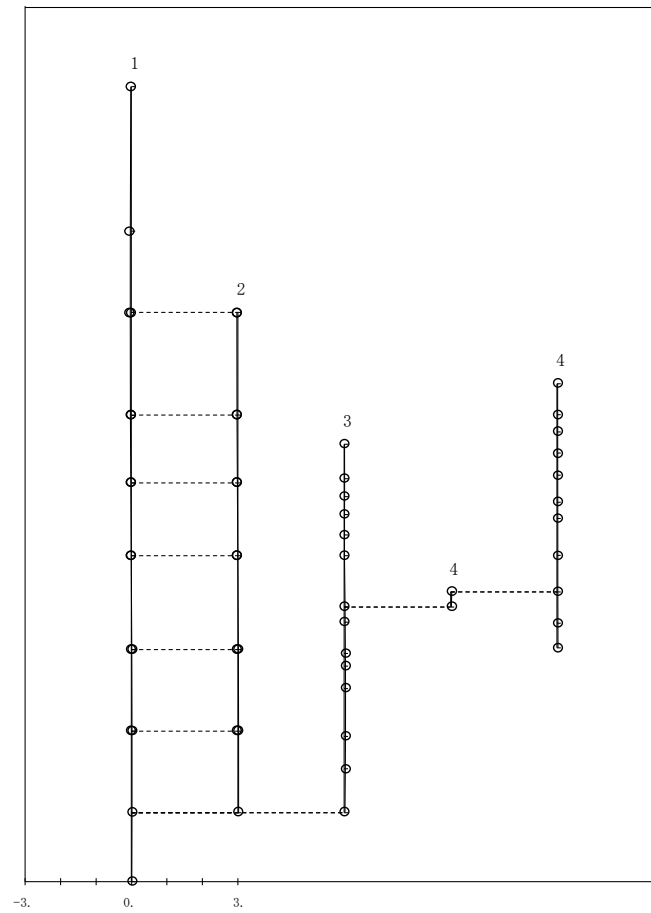


図 4-3(3) 第 6 次振動モード (Ss-1, EW 方向) (6/9)

- 1 原子炉建屋  
2 原子炉格納容器  
3 原子炉遮蔽壁及び原子炉本体基礎  
4 原子炉圧力容器

固有周期 (s) ; 0.064 計算係数 ; 0.089

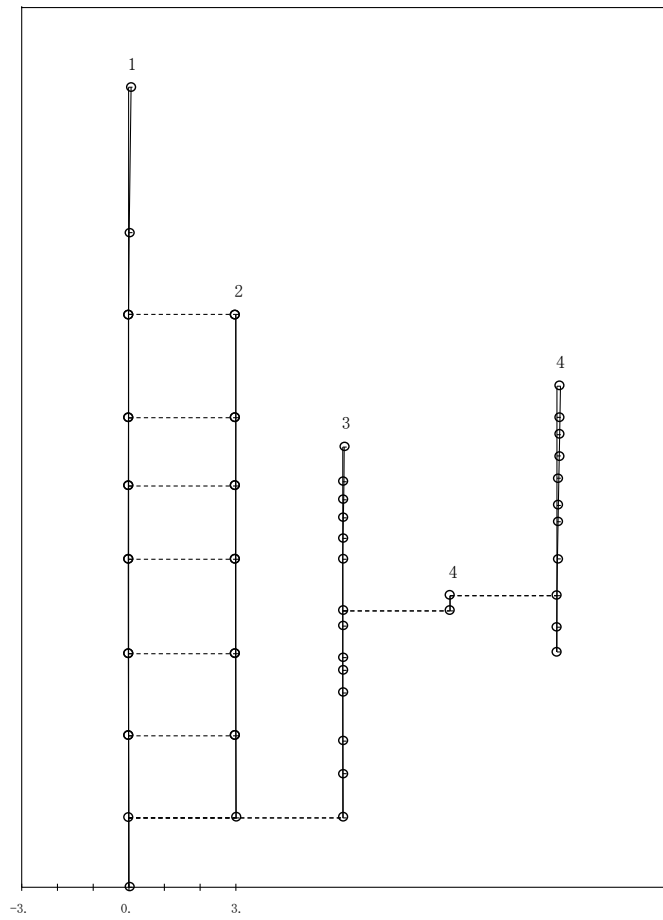


図 4-3(3) 第 7 次振動モード (Ss-1, EW 方向) (7/9)

- 1 原子炉建屋  
2 原子炉格納容器  
3 原子炉遮蔽壁及び原子炉本体基礎  
4 原子炉圧力容器

固有周期 (s) ; 0.056 計算係数 ; 0.069

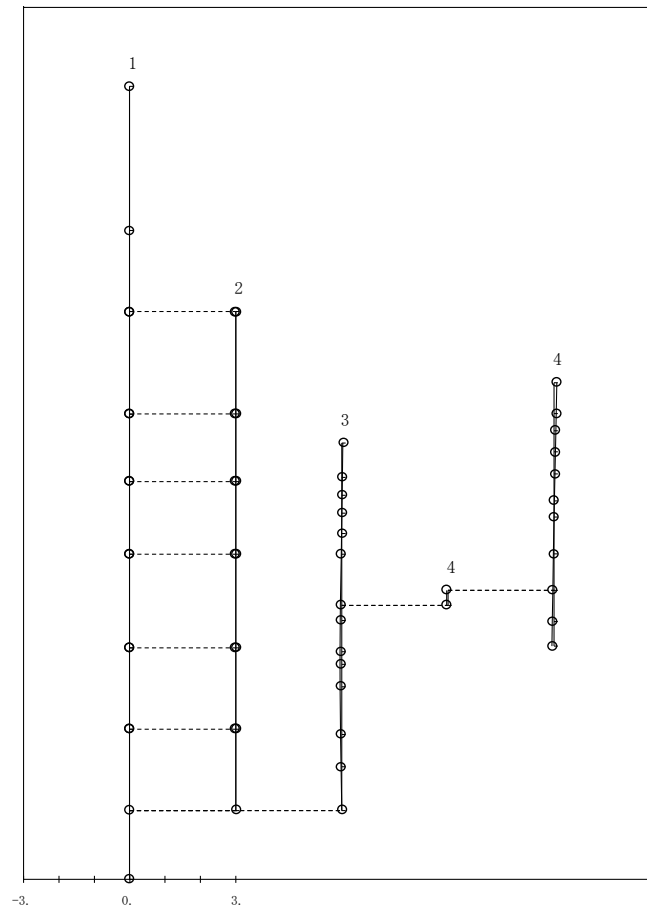


図 4-3(3) 第 8 次振動モード (Ss-1, EW 方向) (8/9)

- 1 原子炉建屋  
 2 原子炉格納容器  
 3 原子炉遮蔽壁及び原子炉本体基礎  
 4 原子炉圧力容器

固有周期 (s) ; 0.053 計算係数 ; -0.011

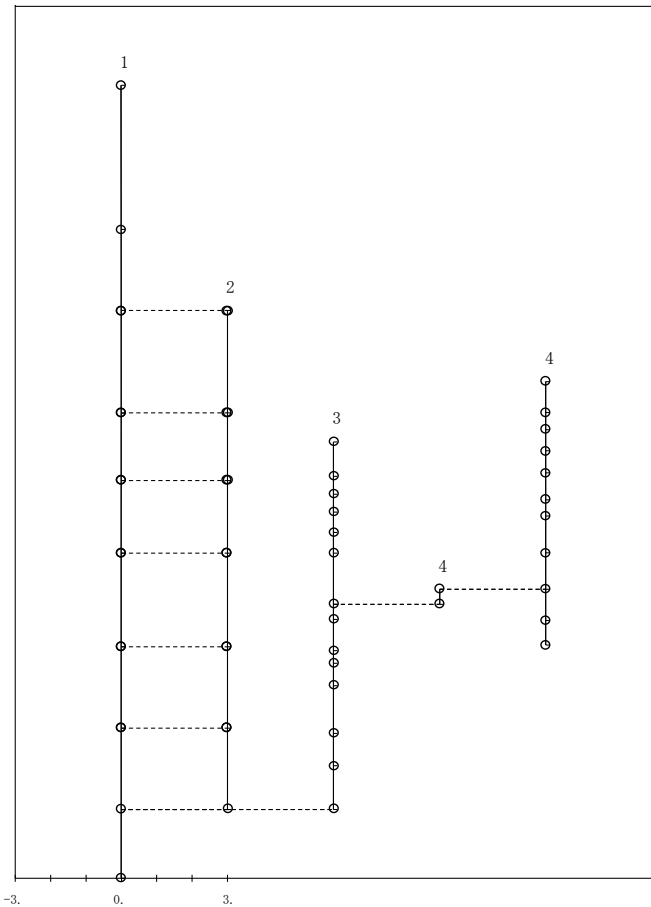


図 4-3(3) 第 9 次振動モード (Ss-1, EW 方向) (9/9)

- 1 原子炉建屋  
 2 原子炉格納容器  
 3 原子炉遮蔽壁及び原子炉本体基礎  
 4 原子炉圧力容器

固有周期 (s) ; 0.437 計算係数 ; 1.554

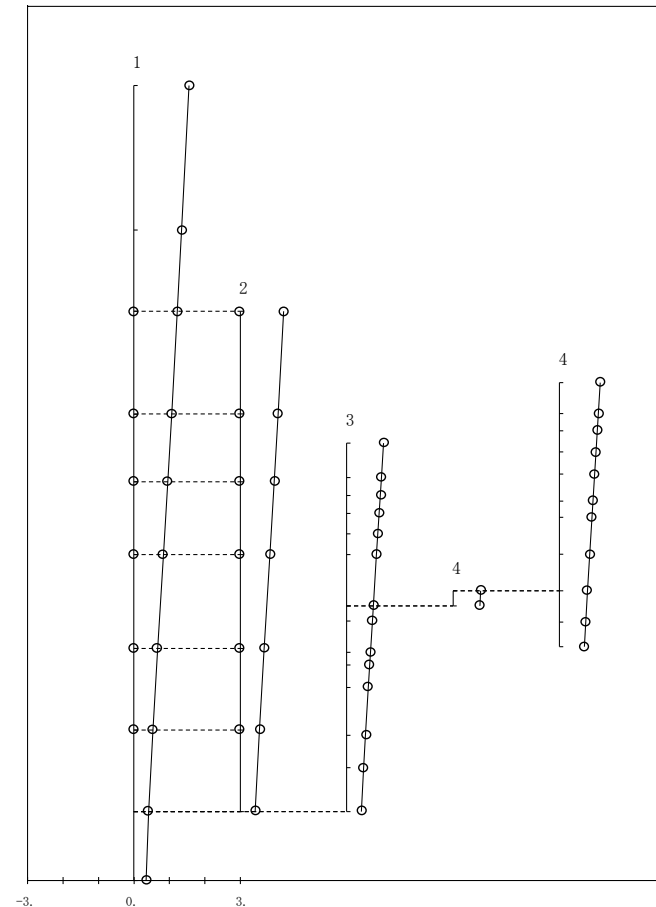


図 4-3(4) 第 1 次振動モード (Ss-2, EW 方向) (1/9)

- 1 原子炉建屋  
 2 原子炉格納容器  
 3 原子炉遮蔽壁及び原子炉本体基礎  
 4 原子炉圧力容器

固有周期 (s) ; 0.197 刺激係数 ; -0.614

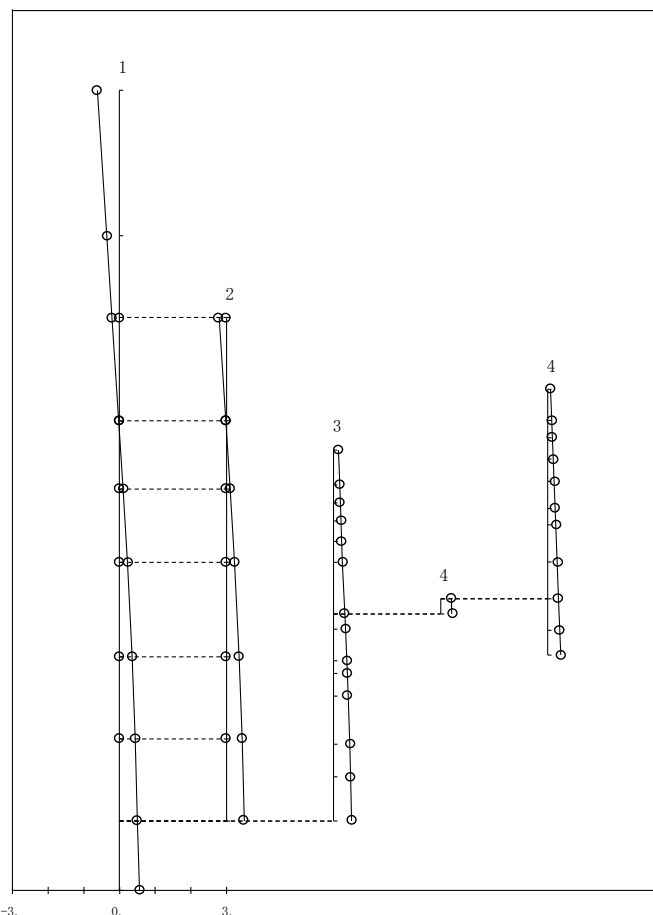


図 4-3(4) 第 2 次振動モード (Ss-2, EW 方向) (2/9)

- 1 原子炉建屋  
 2 原子炉格納容器  
 3 原子炉遮蔽壁及び原子炉本体基礎  
 4 原子炉圧力容器

固有周期 (s) ; 0.089 刺激係数 ; -0.087

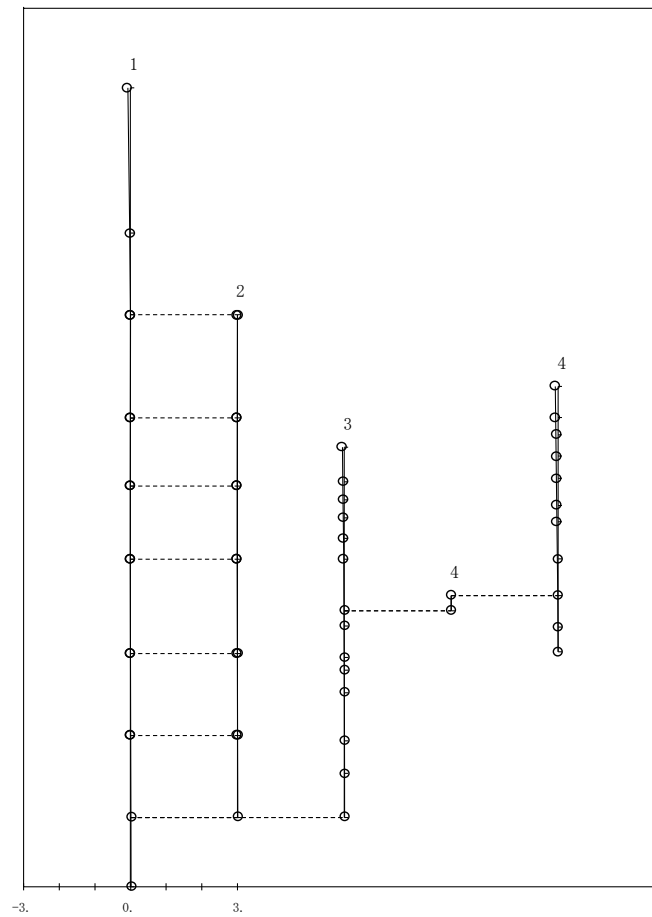


図 4-3(4) 第 3 次振動モード (Ss-2, EW 方向) (3/9)

- 1 原子炉建屋  
 2 原子炉格納容器  
 3 原子炉遮蔽壁及び原子炉本体基礎  
 4 原子炉圧力容器

固有周期 (s) ; 0.084 刺激係数 ; -0.483

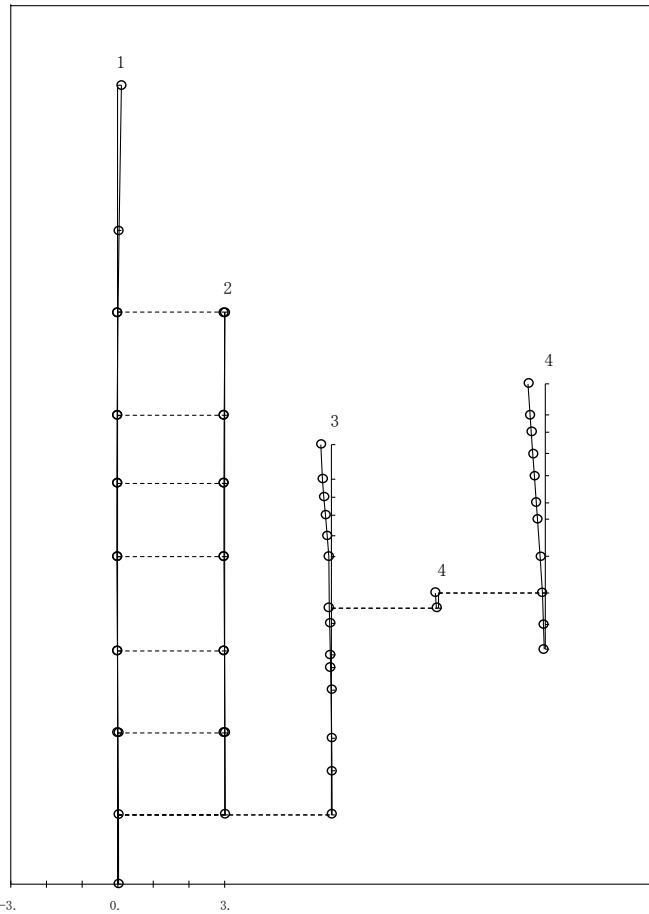


図 4-3(4) 第 4 次振動モード (Ss-2, EW 方向) (4/9)

- 1 原子炉建屋  
 2 原子炉格納容器  
 3 原子炉遮蔽壁及び原子炉本体基礎  
 4 原子炉圧力容器

固有周期 (s) ; 0.077 刺激係数 ; 0.165

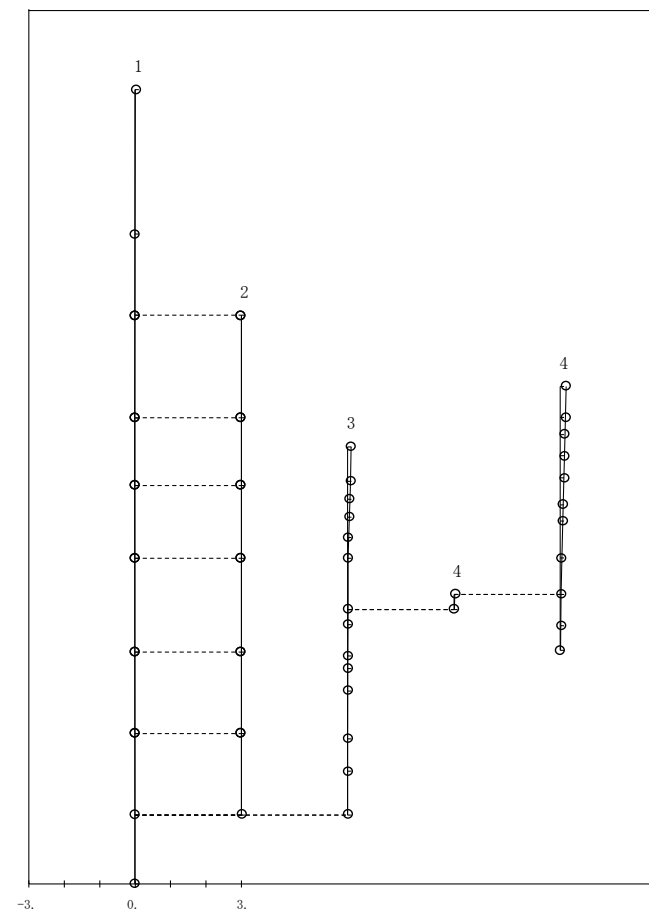


図 4-3(4) 第 5 次振動モード (Ss-2, EW 方向) (5/9)

- 1 原子炉建屋  
2 原子炉格納容器  
3 原子炉遮蔽壁及び原子炉本体基礎  
4 原子炉圧力容器

固有周期 (s) ; 0.076 刺激係数 ; 0.037

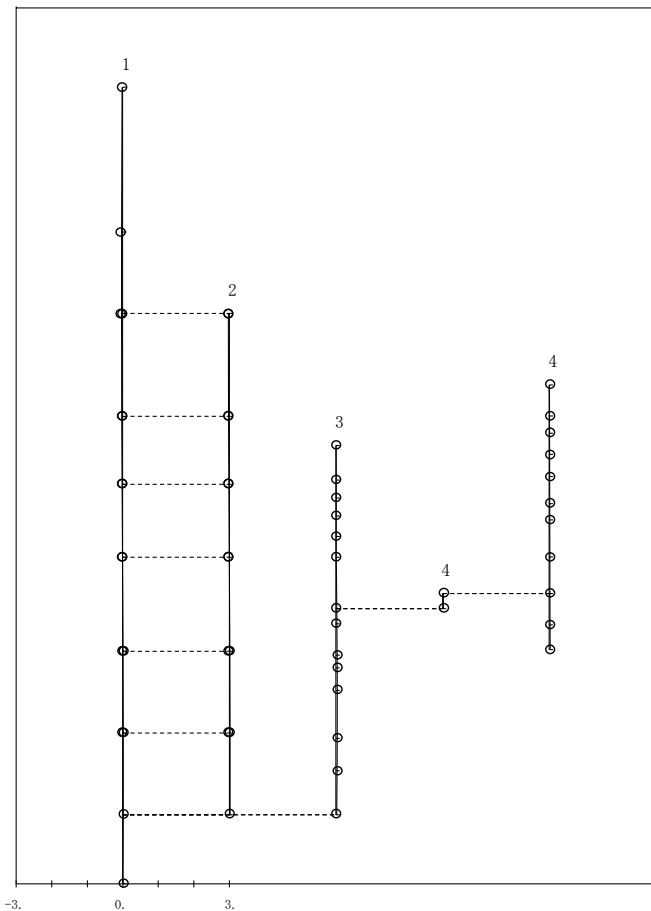


図 4-3(4) 第 6 次振動モード (Ss-2, EW 方向) (6/9)

- 1 原子炉建屋  
2 原子炉格納容器  
3 原子炉遮蔽壁及び原子炉本体基礎  
4 原子炉圧力容器

固有周期 (s) ; 0.064 刺激係数 ; 0.090

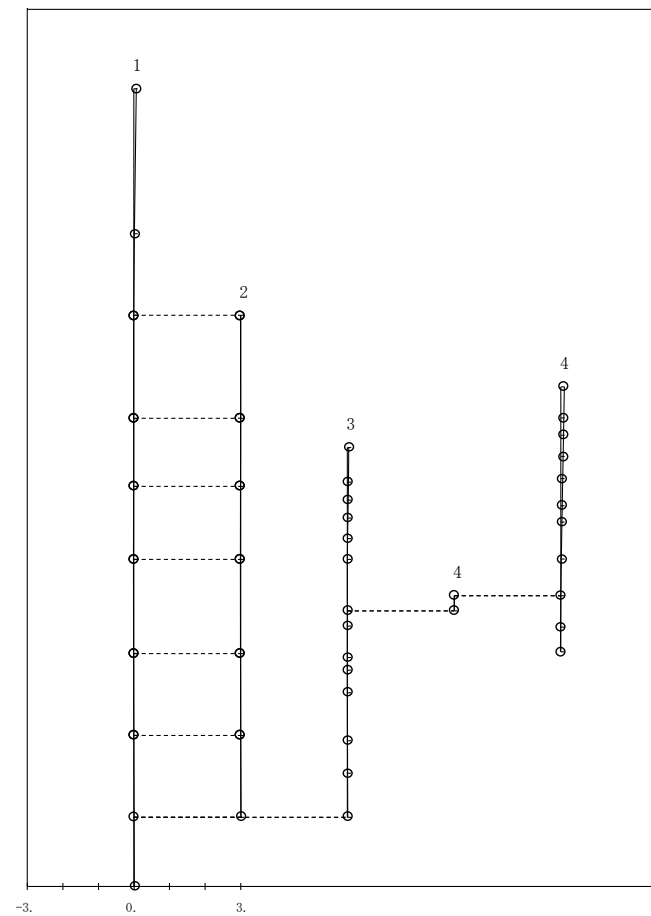


図 4-3(4) 第 7 次振動モード (Ss-2, EW 方向) (7/9)

- 1 原子炉建屋  
2 原子炉格納容器  
3 原子炉遮蔽壁及び原子炉本体基礎  
4 原子炉圧力容器

固有周期 (s) ; 0.056 刺激係数 ; 0.069

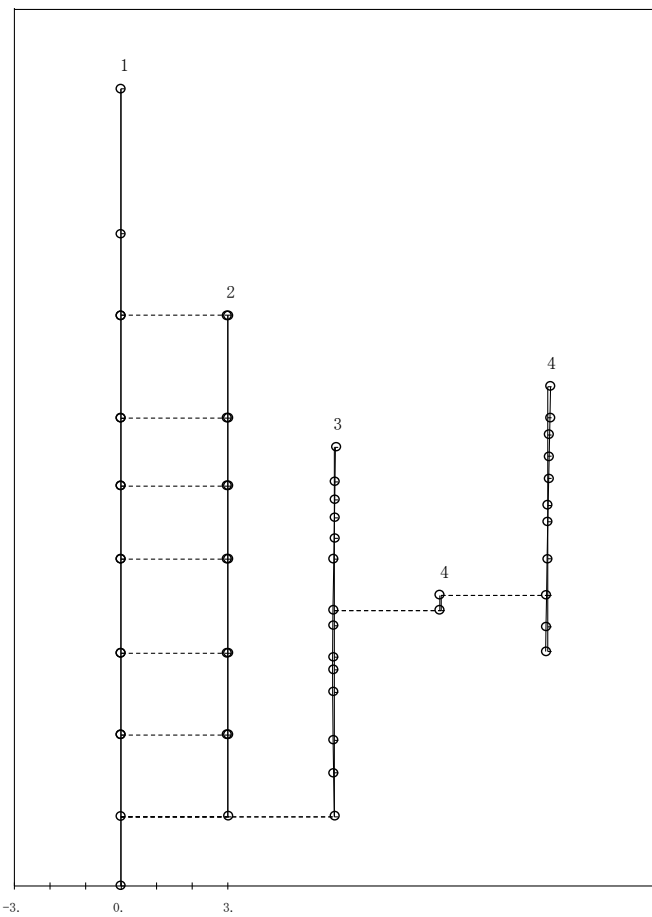


図 4-3(4) 第 8 次振動モード (Ss-2, EW 方向) (8/9)

- 1 原子炉建屋  
2 原子炉格納容器  
3 原子炉遮蔽壁及び原子炉本体基礎  
4 原子炉圧力容器

固有周期 (s) ; 0.053 刺激係数 ; -0.011

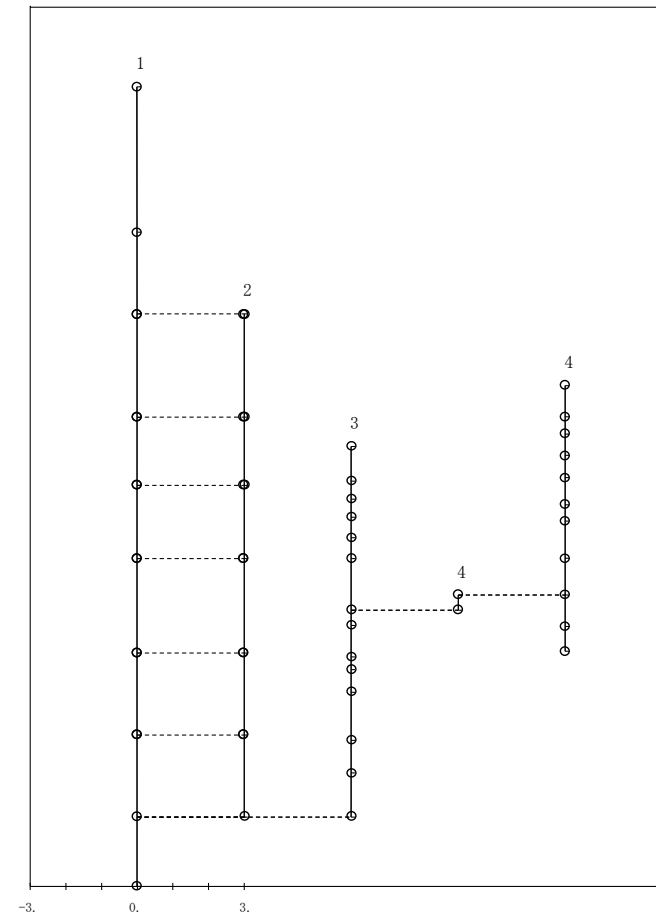


図 4-3(4) 第 9 次振動モード (Ss-2, EW 方向) (9/9)

- 1 屋根トラス  
2 原子炉建屋  
3 原子炉遮蔽壁及び原子炉本体基礎  
4 原子炉圧力容器  
5 原子炉冷却材再循環ポンプ  
6 炉心シラウド  
7 制御棒駆動機構ハウジング  
8 燃料集合体及び制御棒案内管

固有周期 (s) ; 0.281 計算係数 ; 10.385

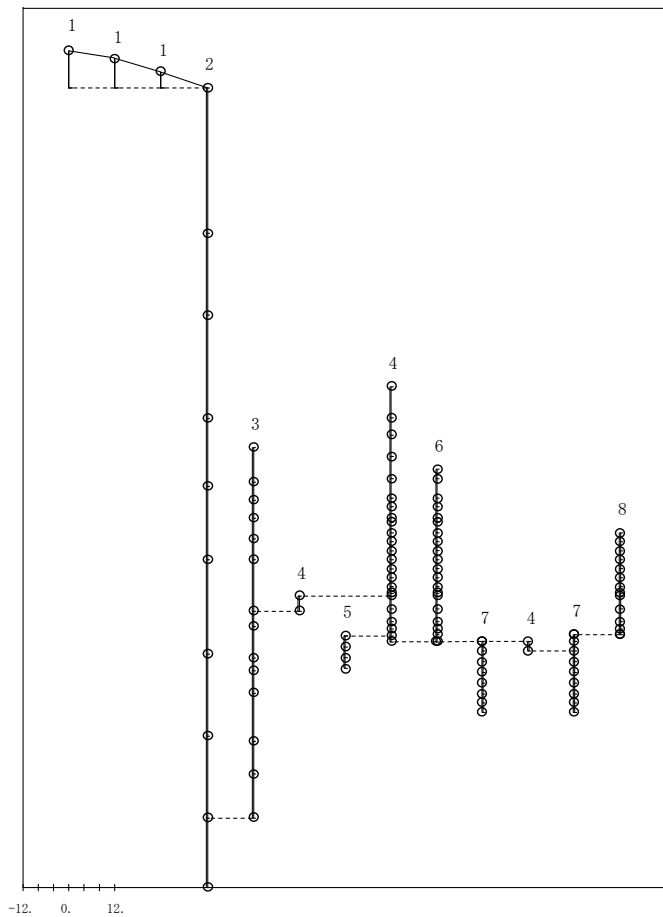


図 4-3(5) 第 1 次振動モード (Ss-1, 鉛直方向) (1/5)

- 1 屋根トラス  
2 原子炉建屋  
3 原子炉遮蔽壁及び原子炉本体基礎  
4 原子炉圧力容器  
5 原子炉冷却材再循環ポンプ  
6 炉心シラウド  
7 制御棒駆動機構ハウジング  
8 燃料集合体及び制御棒案内管

固有周期 (s) ; 0.262 計算係数 ; -9.446

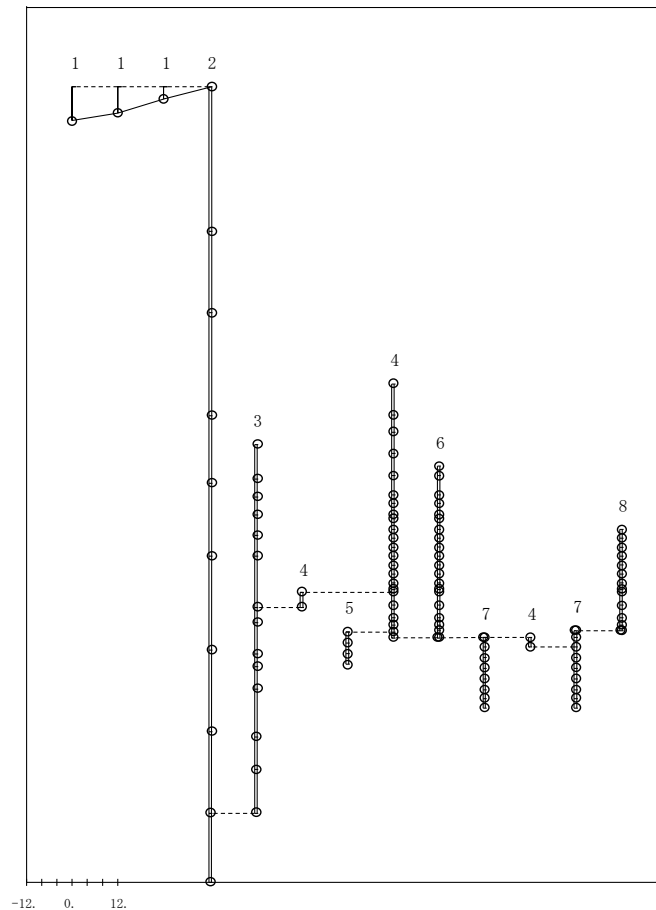


図 4-3(5) 第 2 次振動モード (Ss-1, 鉛直方向) (2/5)

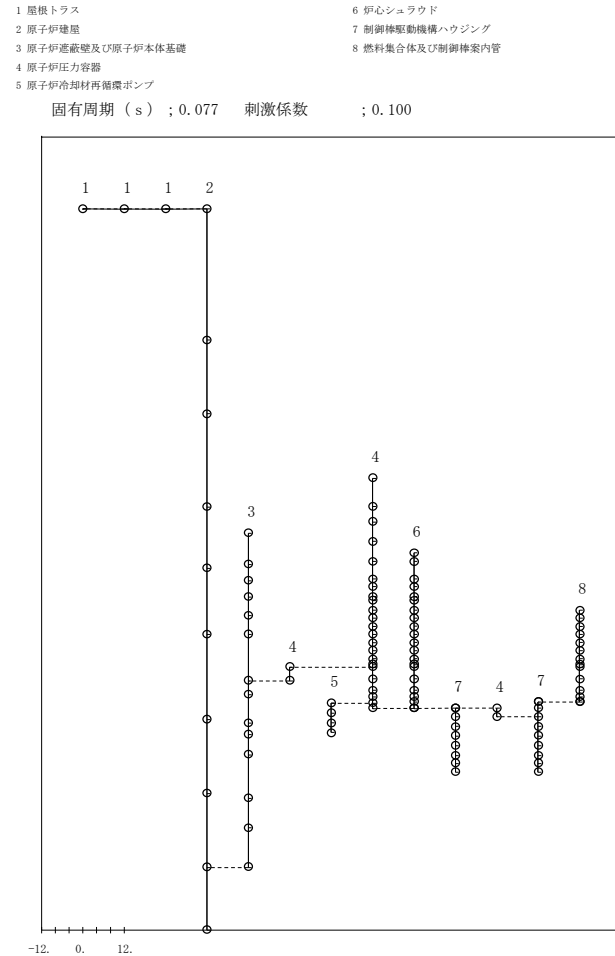


図 4-3(5) 第 3 次振動モード(Ss-1, 鉛直方向)(3/5)

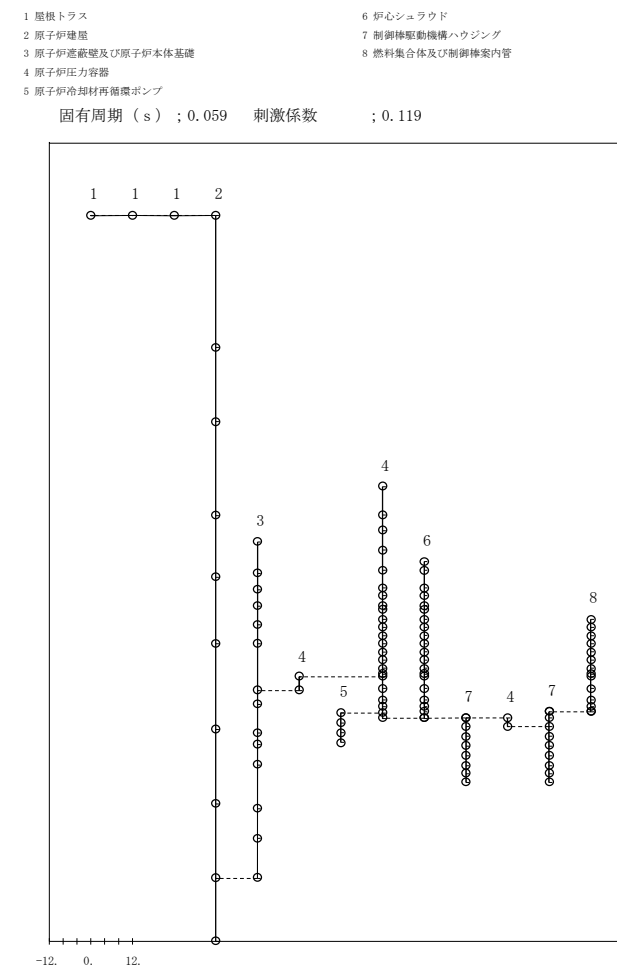


図 4-3(5) 第 4 次振動モード(Ss-1, 鉛直方向)(4/5)

1 屋根トラス  
2 原子炉建屋  
3 原子炉遮蔽壁及び原子炉本体基礎  
4 原子炉圧力容器  
5 原子炉冷却材再循環ポンプ  
6 炉心シラウド  
7 制御棒駆動機構ハウジング  
8 燃料集合体及び制御棒案内管

固有周期 (s) ; 0.051 刺激係数 ; -0.094

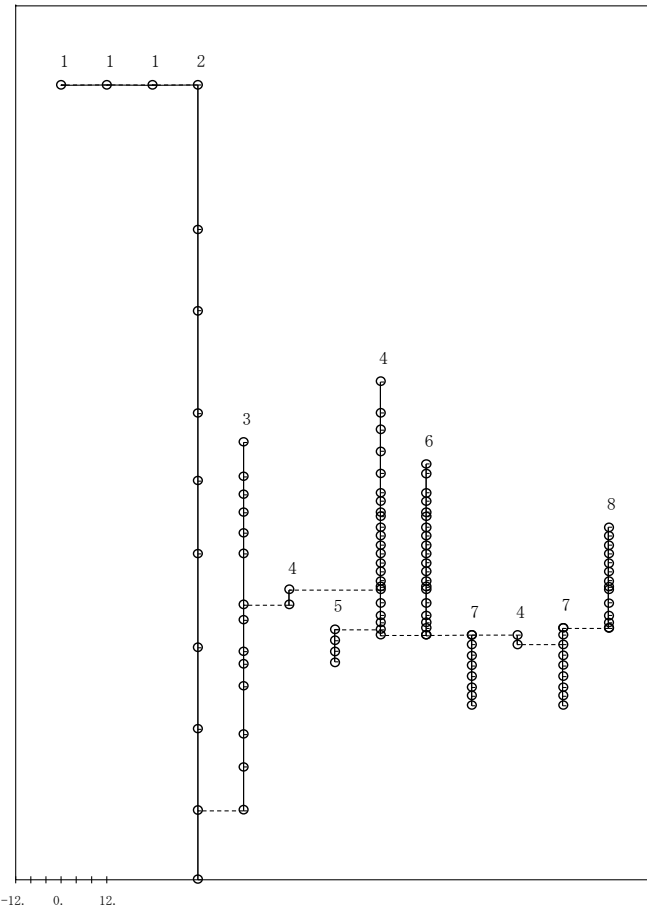


図 4-3(5) 第 5 次振動モード (Ss-1, 鉛直方向) (5/5)

1 屋根トラス  
2 原子炉建屋  
3 原子炉遮蔽壁及び原子炉本体基礎  
4 原子炉圧力容器  
5 原子炉冷却材再循環ポンプ  
6 炉心シラウド  
7 制御棒駆動機構ハウジング  
8 燃料集合体及び制御棒案内管

固有周期 (s) ; 0.280 刺激係数 ; 10.012

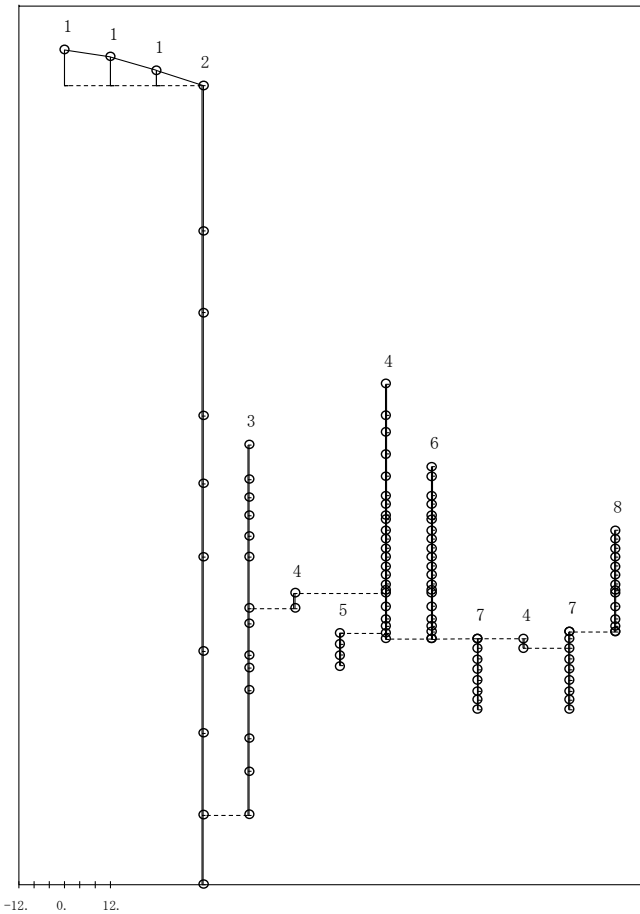


図 4-3(6) 第 1 次振動モード (Ss-2, 鉛直方向) (1/5)

1 屋根トラス  
2 原子炉建屋  
3 原子炉遮蔽壁及び原子炉本体基礎  
4 原子炉圧力容器  
5 原子炉冷却材再循環ポンプ  
6 炉心シラウド  
7 制御棒駆動機構ハウジング  
8 燃料集合体及び制御棒案内管

固有周期 (s) ; 0.260 計算係数 ; -9.075

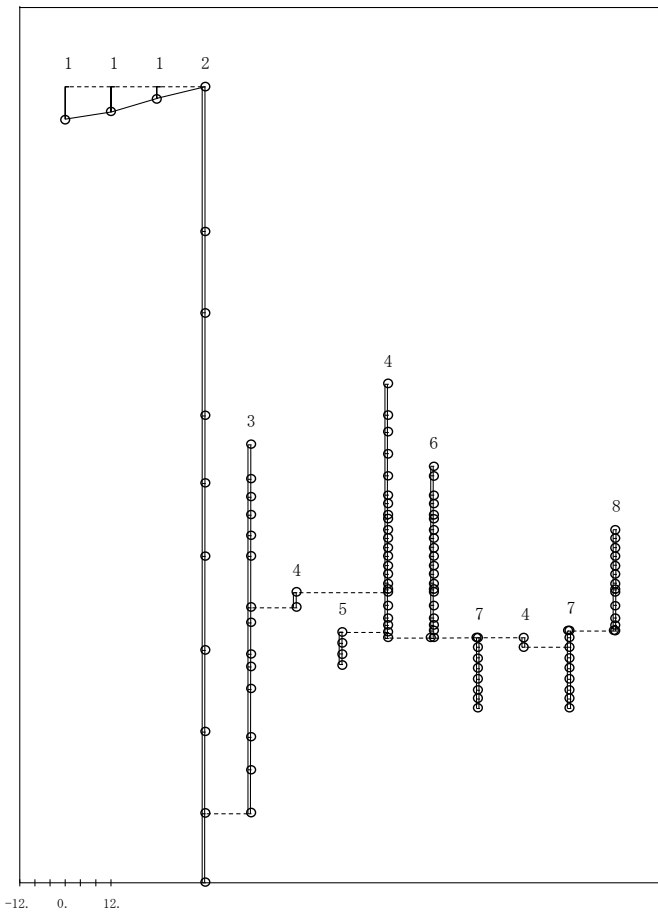


図 4-3(6) 第 2 次振動モード(Ss-2, 鉛直方向)(2/5)

1 屋根トラス  
2 原子炉建屋  
3 原子炉遮蔽壁及び原子炉本体基礎  
4 原子炉圧力容器  
5 原子炉冷却材再循環ポンプ  
6 炉心シラウド  
7 制御棒駆動機構ハウジング  
8 燃料集合体及び制御棒案内管

固有周期 (s) ; 0.077 計算係数 ; 0.102

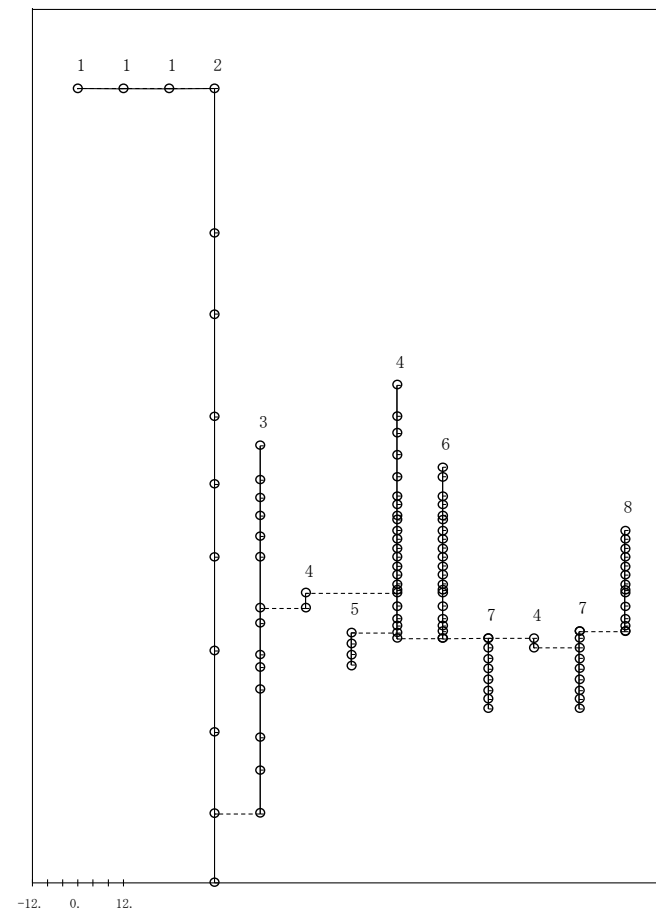


図 4-3(6) 第 3 次振動モード(Ss-2, 鉛直方向)(3/5)

- 1 屋根トラス  
2 原子炉建屋  
3 原子炉遮蔽壁及び原子炉本体基礎  
4 原子炉圧力容器  
5 原子炉冷却材再循環ポンプ
- 6 炉心シュラウド  
7 制御棒駆動機構ハウジング  
8 燃料集合体及び制御棒案内管

固有周期 (s) ; 0.059 刺激係数 ; 0.121

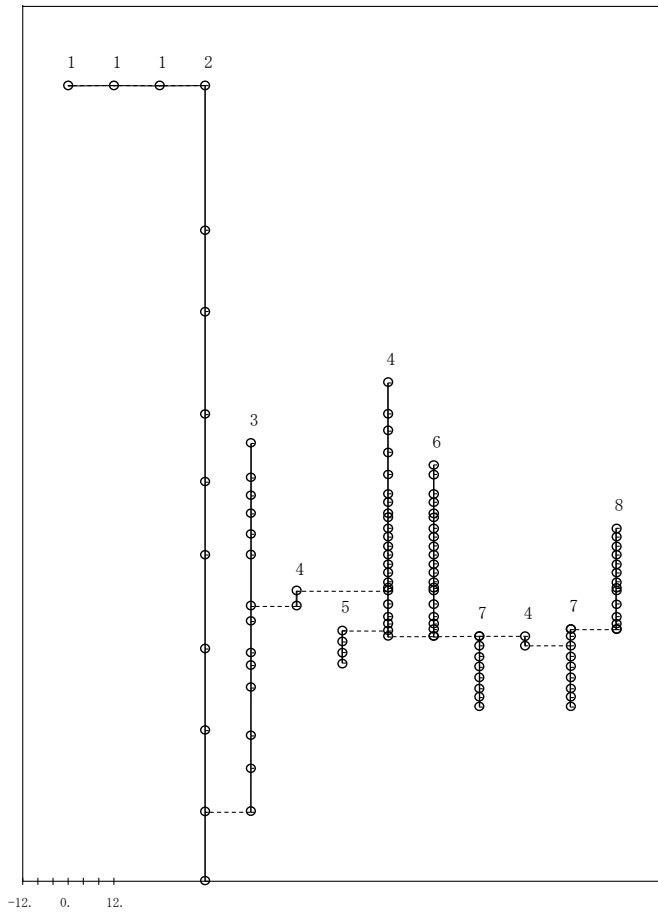


図 4-3(6) 第 4 次振動モード(Ss-2, 鉛直方向)(4/5)

- 1 屋根トラス  
2 原子炉建屋  
3 原子炉遮蔽壁及び原子炉本体基礎  
4 原子炉圧力容器  
5 原子炉冷却材再循環ポンプ
- 6 炉心シュラウド  
7 制御棒駆動機構ハウジング  
8 燃料集合体及び制御棒案内管

固有周期 (s) ; 0.051 刺激係数 ; -0.095

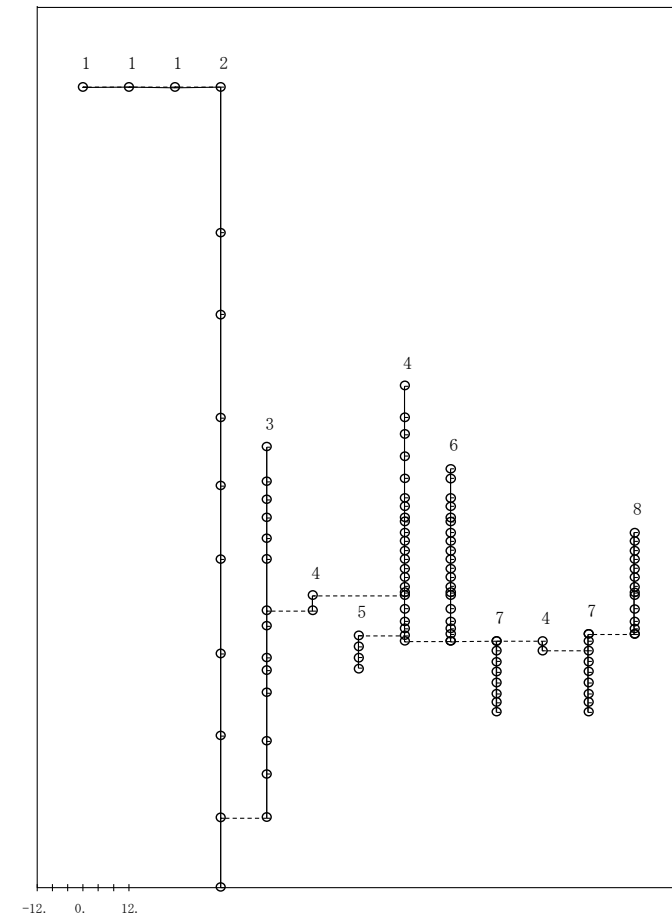


図 4-3(6) 第 5 次振動モード(Ss-2, 鉛直方向)(5/5)

表 4-7 「SA 時環境考慮連成モデル」応答と「大型機器系の地震応答解析モデル」応答  
との比較（せん断力）(1/4)

機器	質点番号	標高 T. M. S. L. (m)	せん断力 (kN)			
			①SA時環境考慮連成モデル	②設計用地震力 I	比率 (①/②)	③設計用地震力 II
原子炉圧力容器	34	26.013	—	—	—	—
	35	23.553	401	453	0.89	523
	36	22.163	1760	1970	0.90	2270
	37	20.494	3020	2980	1.02	3410
	38	18.716	5210	5360	0.98	6310
	39	16.563	4200	4150	1.02	4880
	40	15.262	5940	6520	0.92	7710
	41	12.332	7730	8720	0.89	10400
	42	9.402	12100	12900	0.94	15800
	43	6.904	4950	4710	1.05	5800
	44	4.950	2250	2210	1.02	2640
原子炉圧力容器 スカート	32	9.402	19900	20000	1.00	25000
	33	8.200				
原子炉遮蔽壁	18	21.200	1010	1090	0.93	1270
	19	18.440	7950	8520	0.94	10100
	20	17.020	9030	9670	0.94	11400
	21	15.600	13300	14200	0.94	16800
	22	13.950	14500	15300	0.95	18200
	23	12.300	17700	20500	0.87	25500
原子炉本体基礎	24	8.200	32500	35300	0.92	41100
	25	7.000	34900	37600	0.93	44100
	26	4.500	37700	39300	0.96	46700
	27	3.500	39700	40300	0.99	48300
	28	1.700	44100	43000	1.03	51800
	29	-2.100	48200	45400	1.07	55700
	30	-4.700	52300	48000	1.09	59300
	31	-8.200	—	—	—	—

表 4-7 「SA 時環境考慮連成モデル」応答と「大型機器系の地震応答解析モデル」応答  
との比較（モーメント）(2/4)

機器	質点番号	標高 T. M. S. L. (m)	モーメント (kN・m)			
			①SA時環境考慮連成モデル	②設計用地震力 I	比率 (①/②)	③設計用地震力 II
原子炉圧力容器	34	26.013	0	0	—	0
	35	23.553	987	1120	0.89	1290
	36	22.163	3420	3850	0.89	4440
	37	20.494	8160	8490	0.97	9770
	38	18.716	17500	18000	0.98	21000
	39	16.563	26000	27000	0.97	31500
	40	15.262	33700	35000	0.97	41400
	41	12.332	55900	60500	0.93	71700
	42	9.402	87700	98300	0.90	118000
	43	6.904	4390	4310	1.02	5170
原子炉圧力容器 スカート	44	4.950	0	0	—	0
	32	9.402	79100	83700	0.95	98100
原子炉遮蔽壁	33	8.200	97400	108000	0.91	128000
	18	21.200	0	0	—	0
	19	18.440	2790	3010	0.93	3500
	20	17.020	14100	15100	0.94	17900
	21	15.600	26900	28900	0.93	34000
原子炉本体基礎	22	13.950	48800	52200	0.94	61700
	23	12.300	72600	77300	0.94	91700
	24	8.200	114000	131000	0.87	153000
			199000	212000	0.94	253000
	25	7.000	233000	254000	0.92	301000
	26	4.500	312000	347000	0.90	410000
	27	3.500	347000	386000	0.90	455000
	28	1.700	415000	457000	0.91	537000
	29	-2.100	574000	617000	0.93	719000
	30	-4.700	691000	731000	0.95	849000
	31	-8.200	861000	892000	0.97	1040000
						0.83

表 4-7 「SA 時環境考慮連成モデル」応答と「大型機器系の地震応答解析モデル」応答  
との比較（軸力）(3/4)

機器	質点番号	標高 T.M.S.L. (m)	軸力 (kN)				
			①SA時環境考慮連成モデル	②設計用地震力 I	比率 (①/②)	③設計用地震力 II	
原子炉圧力容器	55	26.013	187	189	0.99	253	0.74
	56	23.553	868	879	0.99	1180	0.74
	57	22.163	1590	1610	0.99	2150	0.74
	58	20.494	3000	3040	0.99	4060	0.74
	59	18.716	3540	3600	0.99	4790	0.74
	60	17.179	3850	3910	0.99	5200	0.74
	61	16.506	4270	4350	0.99	5780	0.74
	62	15.641	4460	4540	0.99	6020	0.74
	63	15.266	4730	4810	0.99	6390	0.74
	64	14.433	4940	5030	0.99	6670	0.74
	65	13.721	5130	5230	0.98	6930	0.74
	66	13.009	5330	5430	0.99	7190	0.75
	67	12.297	5520	5630	0.98	7450	0.74
	68	11.585	5710	5830	0.98	7710	0.74
	69	10.873	5910	6030	0.98	7970	0.75
	70	10.161	6080	6200	0.98	8210	0.74
	71	9.645	6200	6330	0.98	8380	0.74
	72	9.402	10600	10800	0.99	14600	0.73
	73	8.395	10400	10600	0.99	14200	0.74
	74	7.388	10100	10300	0.98	14000	0.73
	75	6.795	8980	9140	0.99	12400	0.73
	51	6.253	8090	8240	0.99	11200	0.73
	50	5.783	4420	4500	0.99	6100	0.73
	23	5.817					
	16	5.066					
原子炉圧力容器 スカート	72	9.402	17200	17500	0.99	23400	0.74
	82	8.200					
原子炉遮蔽壁	76	21.200	614	623	0.99	851	0.73
	77	18.440	3450	3500	0.99	4780	0.73
	78	17.020	4200	4260	0.99	5820	0.73
	79	15.600	7400	7520	0.99	10200	0.73
	80	13.950	8320	8450	0.99	11500	0.73
原子炉本体基礎	81	12.300	19700	20100	0.98	26800	0.74
	82	8.200	41100	41900	0.98	55900	0.74
	83	7.000	44200	45200	0.98	60100	0.74
	84	4.500	46700	47800	0.98	63500	0.74
	85	3.500	48400	49500	0.98	65600	0.74
	86	1.700	52100	53500	0.98	70600	0.74
	87	-2.100	55800	57500	0.97	75400	0.74
	88	-4.700	59100	61100	0.97	79700	0.75
	89	-8.200	—	—	—	—	—

表 4-7 「SA 時環境考慮連成モデル」応答と「大型機器系の地震応答解析モデル」応答  
との比較（ばね反力）(4/4)

構造物名	質点番号	ばね反力 (kN)				
		①SA時環境考慮連成モデル	②設計用地震力 I	比率 (①/②)	③設計用地震力 II	比率 (①/③)
原子炉圧力容器 スタビライザ	19-38	2680	2810	0.96	3280	0.82
ダイヤフラムフロア	14-23	36800	37500	0.99	40300	0.92

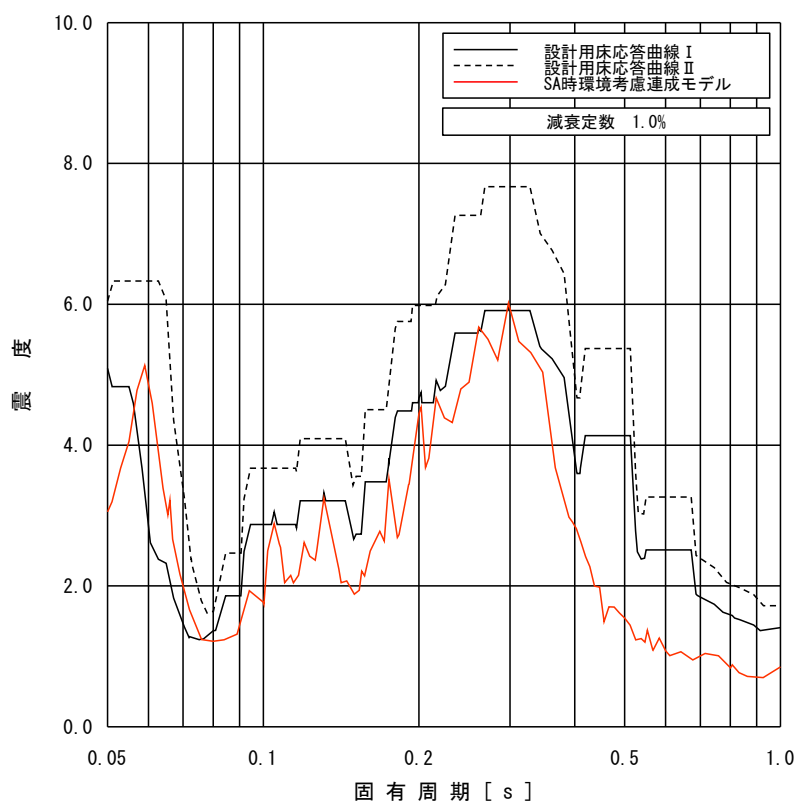
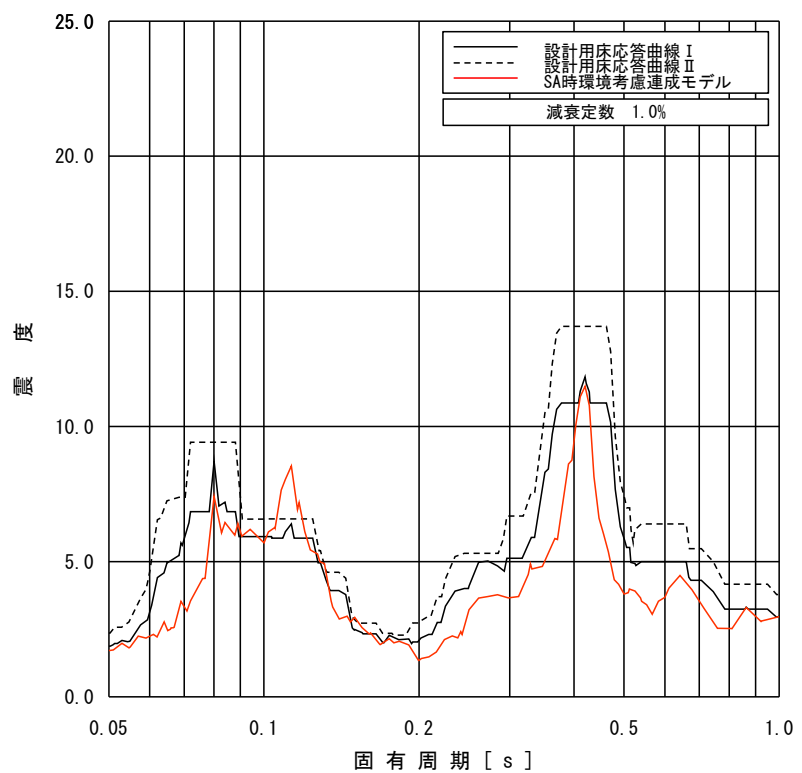


図 4-4 床応答スペクトルの比較 (1/18)

(原子炉遮蔽壁, T.M.S.L. 21.200m, 減衰 1.0%, 上: 水平, 下: 鉛直)

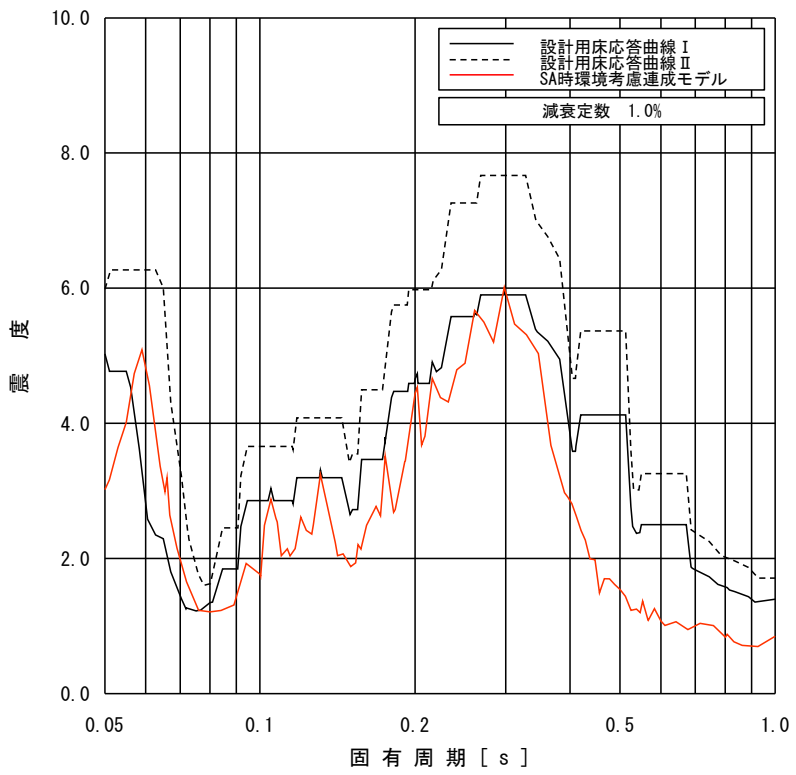
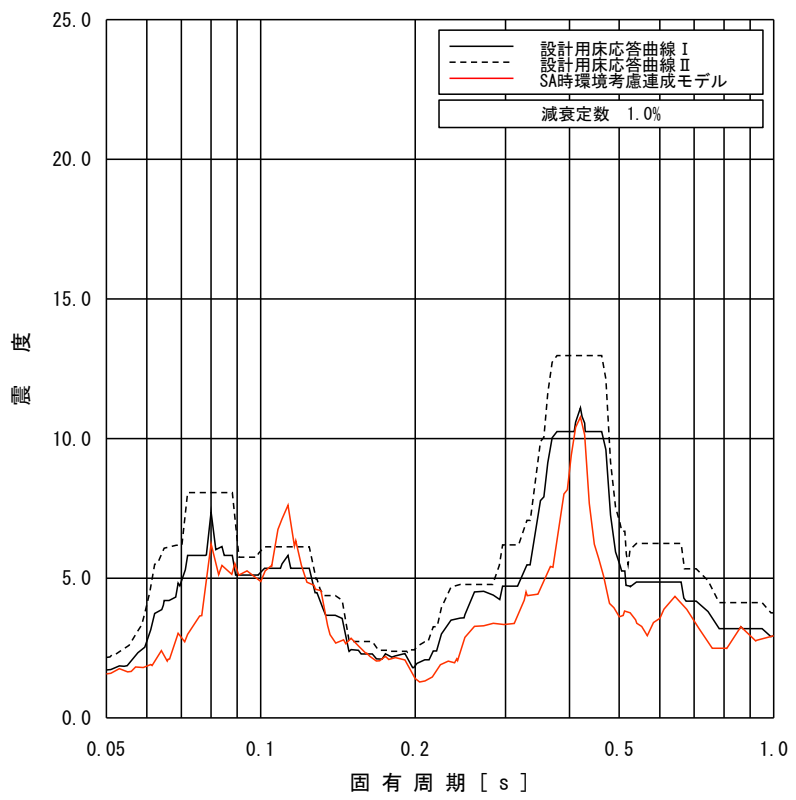


図 4-4 床応答スペクトルの比較 (2/18)

(原子炉遮蔽壁, T.M.S.L. 18.440m, 減衰 1.0%, 上: 水平, 下: 鉛直)

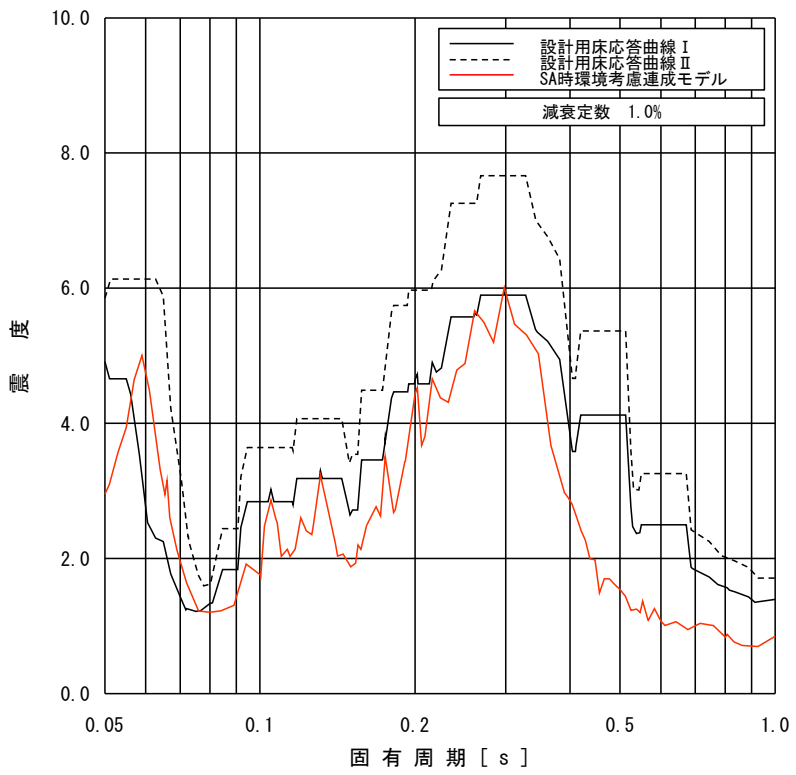
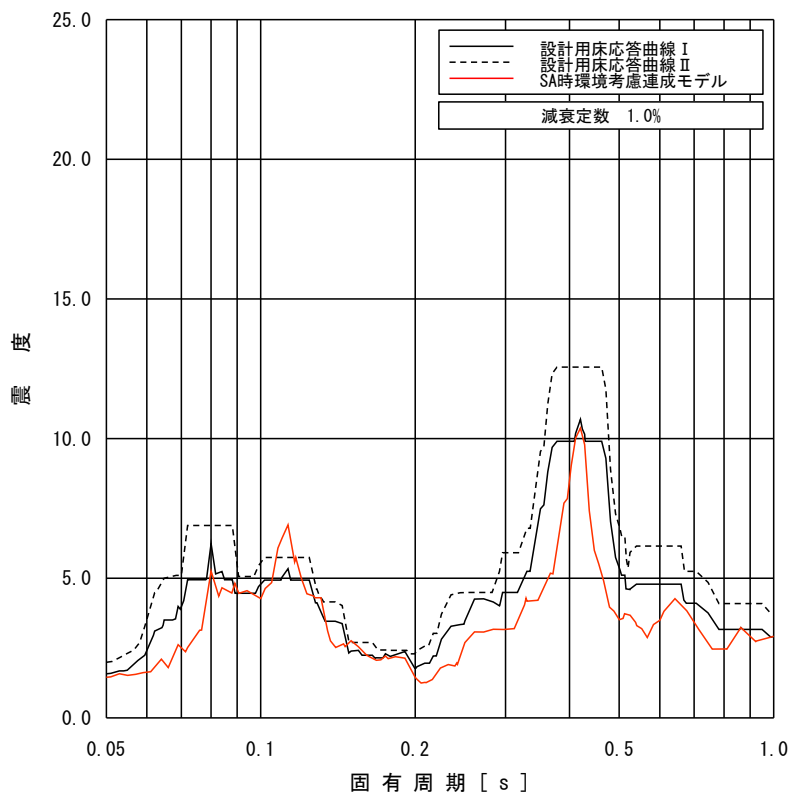


図 4-4 床応答スペクトルの比較 (3/18)

(原子炉遮蔽壁, T.M.S.L. 17.020m, 減衰 1.0%, 上: 水平, 下: 鉛直)

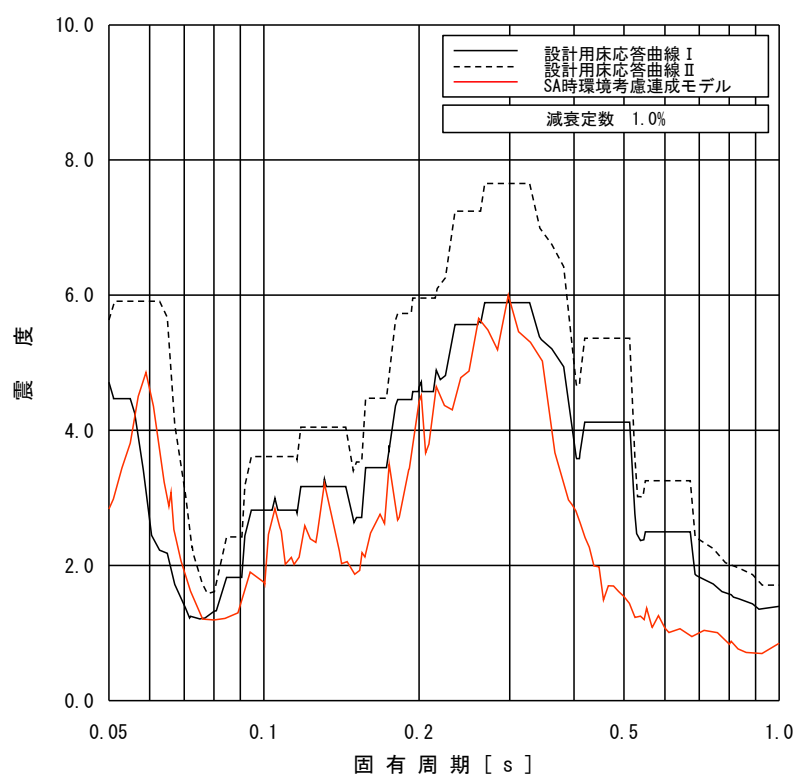
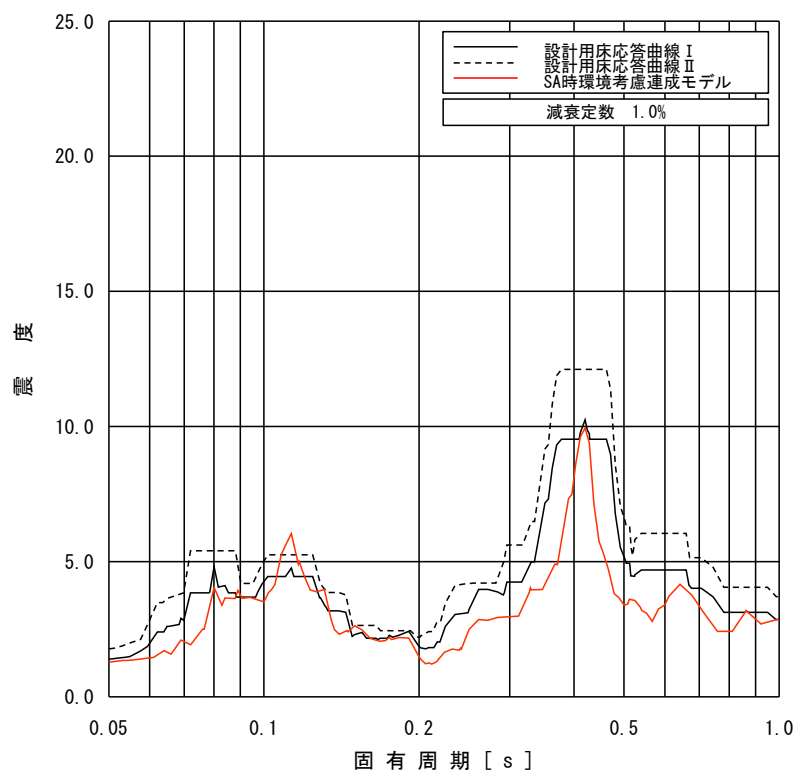


図 4-4 床応答スペクトルの比較 (4/18)

(原子炉遮蔽壁, T.M.S.L. 15.600m, 減衰 1.0%, 上: 水平, 下: 鉛直)

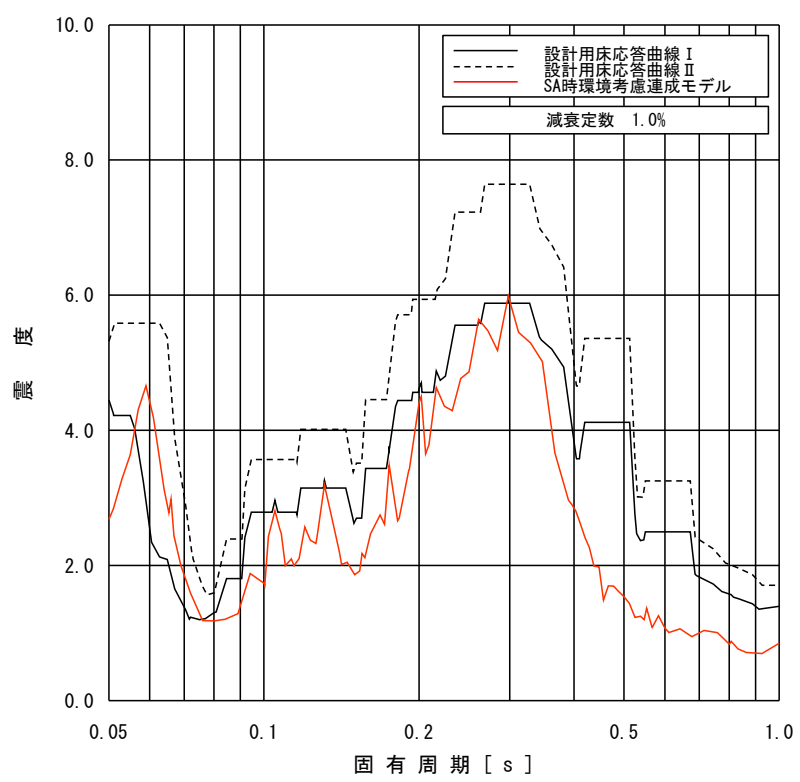
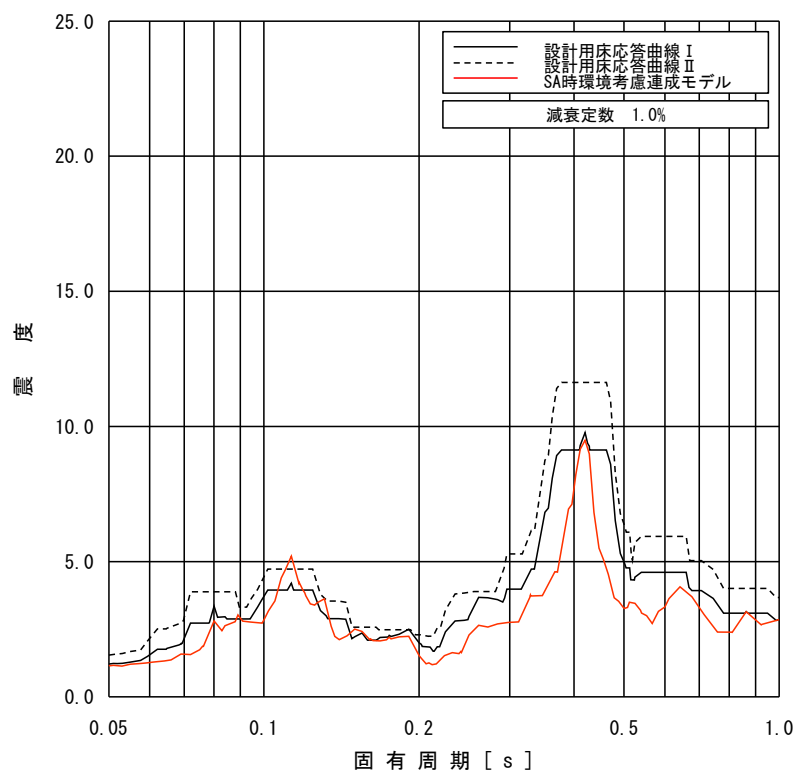


図 4-4 床応答スペクトルの比較 (5/18)

(原子炉遮蔽壁, T.M.S.L. 13.950m, 減衰 1.0%, 上: 水平, 下: 鉛直)

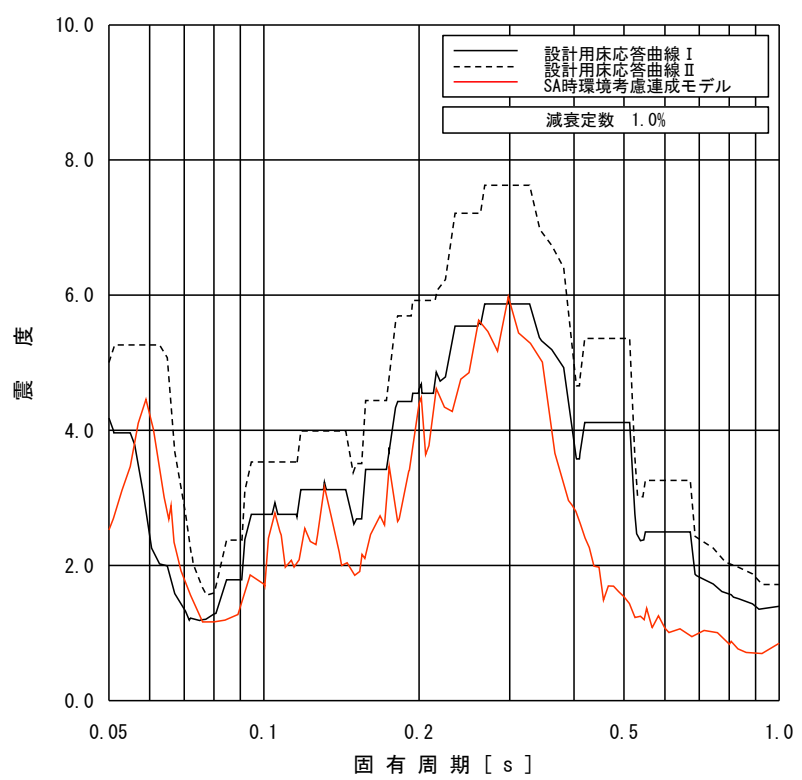
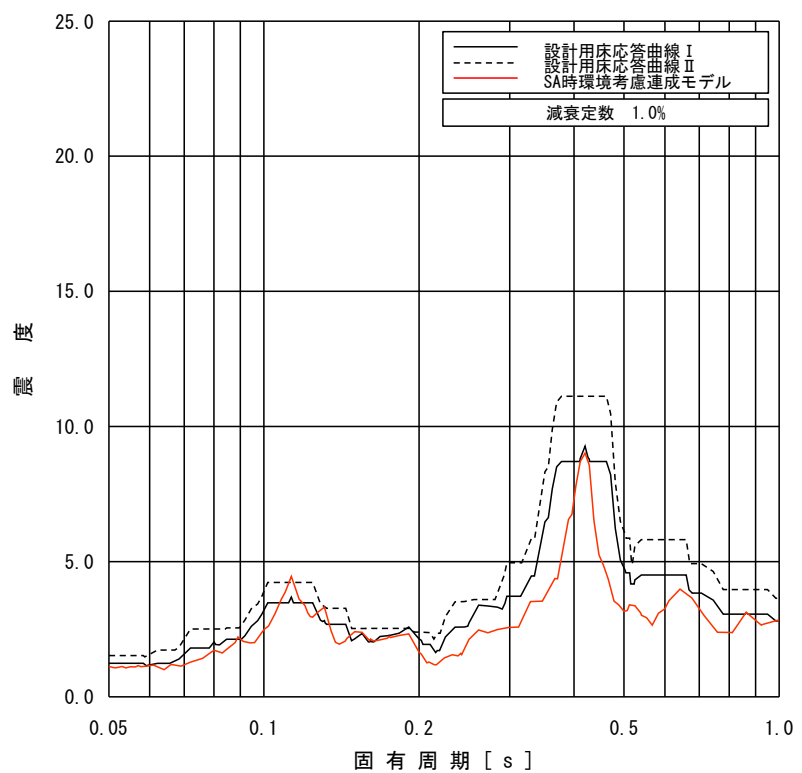


図 4-4 床応答スペクトルの比較 (6/18)

(原子炉遮蔽壁, T.M.S.L. 12.300m, 減衰 1.0%, 上: 水平, 下: 鉛直)

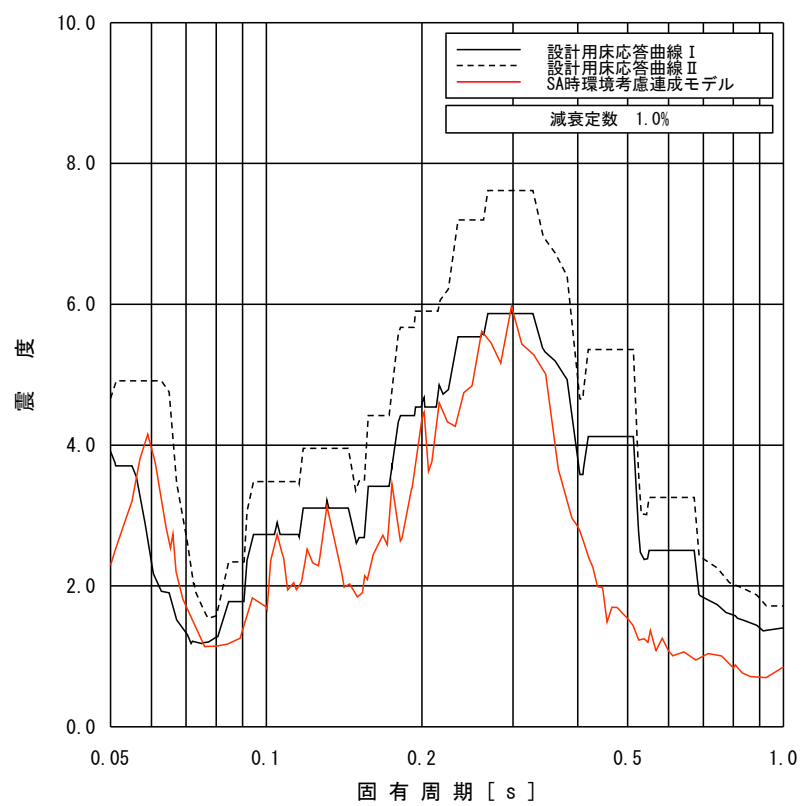
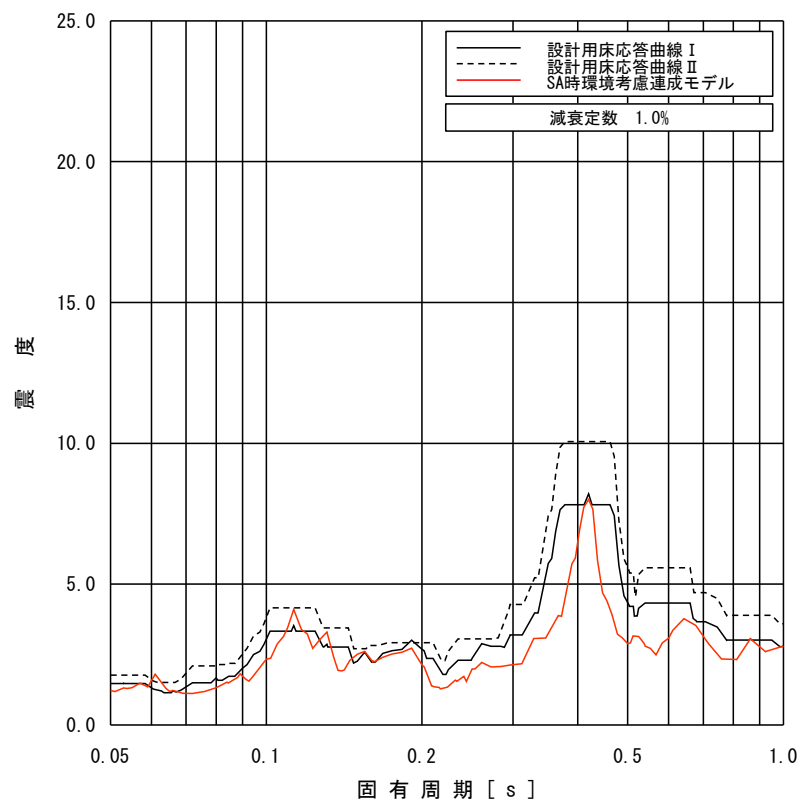


図 4-4 床応答スペクトルの比較 (7/18)

(原子炉本体基礎, T. M. S. L. 8.200m, 減衰 1.0%, 上: 水平, 下: 鉛直)

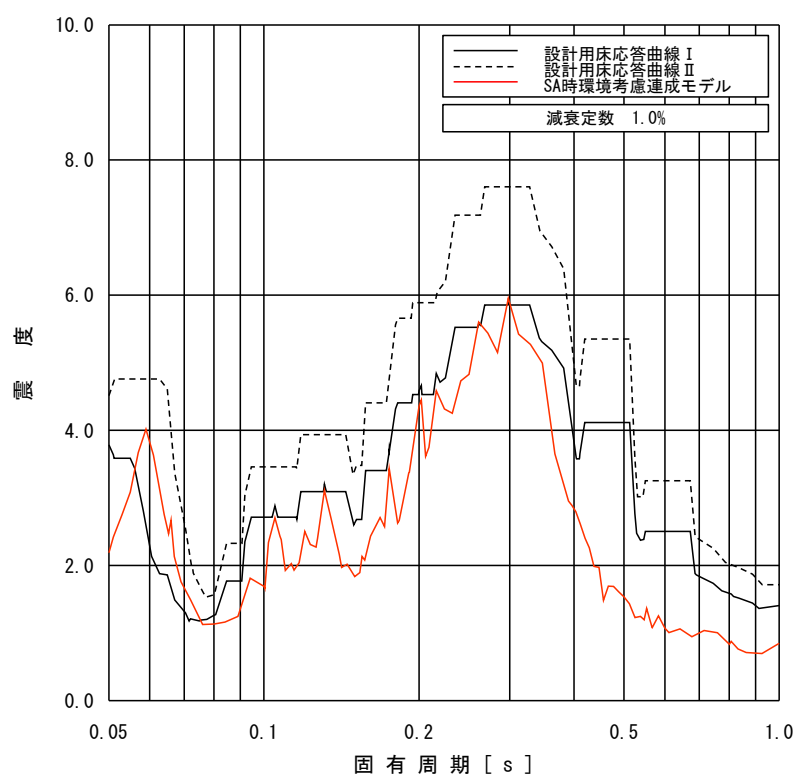
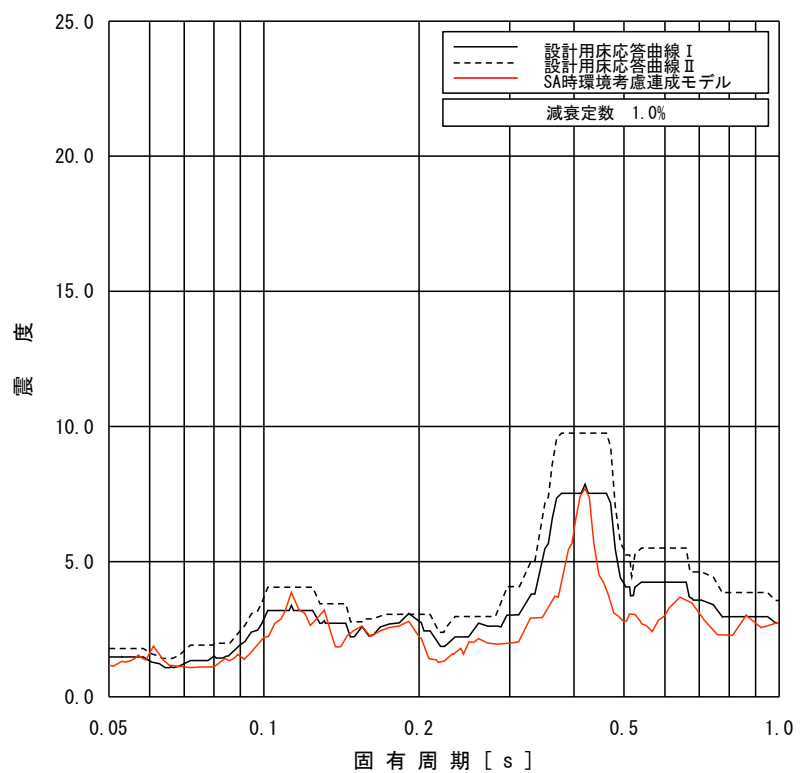


図 4-4 床応答スペクトルの比較 (8/18)

(原子炉本体基礎, T. M. S. L. 7.000m, 減衰 1.0%, 上 : 水平, 下 : 鉛直)

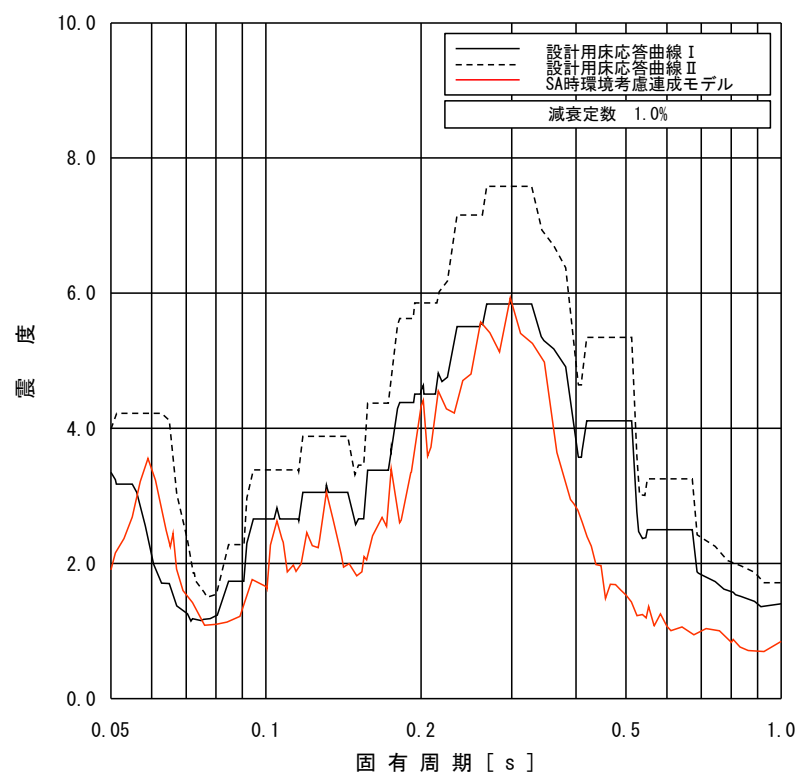
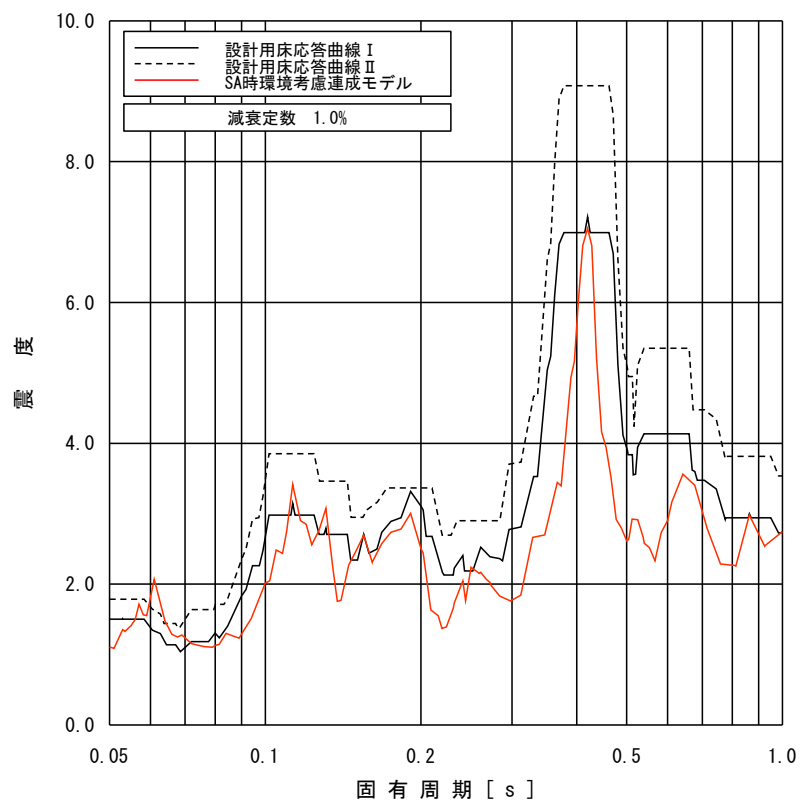


図 4-4 床応答スペクトルの比較 (9/18)

(原子炉本体基礎, T. M. S. L. 4.500m, 減衰 1.0%, 上: 水平, 下: 鉛直)

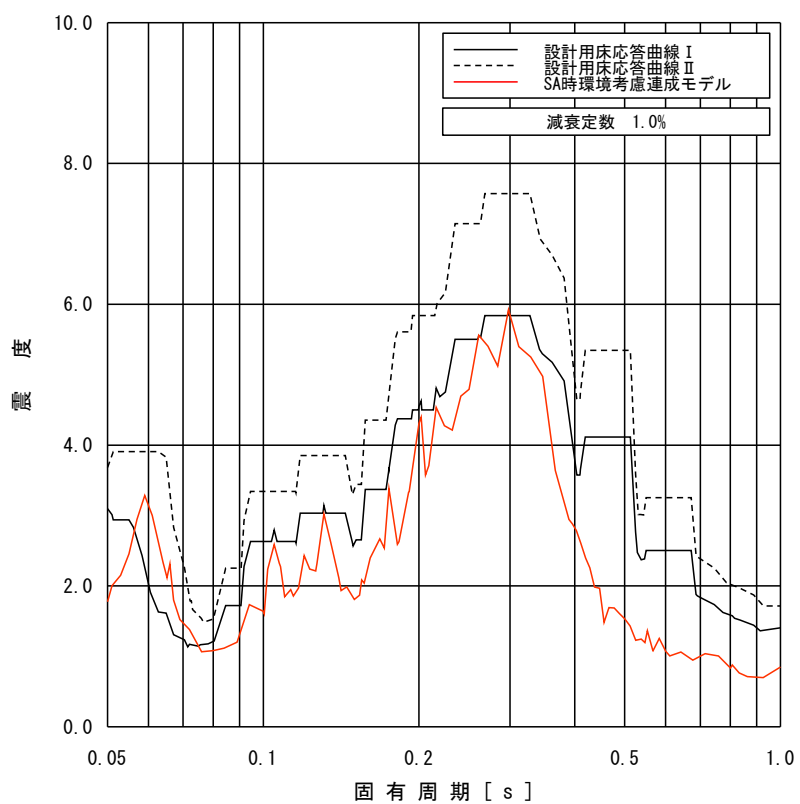
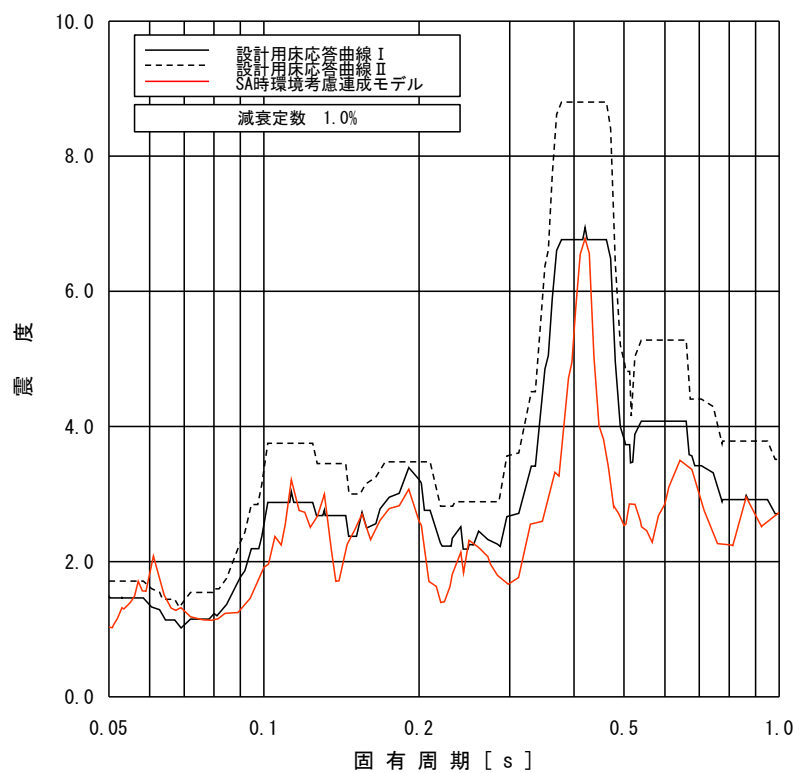


図 4-4 床応答スペクトルの比較(10/18)

(原子炉本体基礎, T. M. S. L. 3.500m, 減衰 1.0%, 上: 水平, 下: 鉛直)

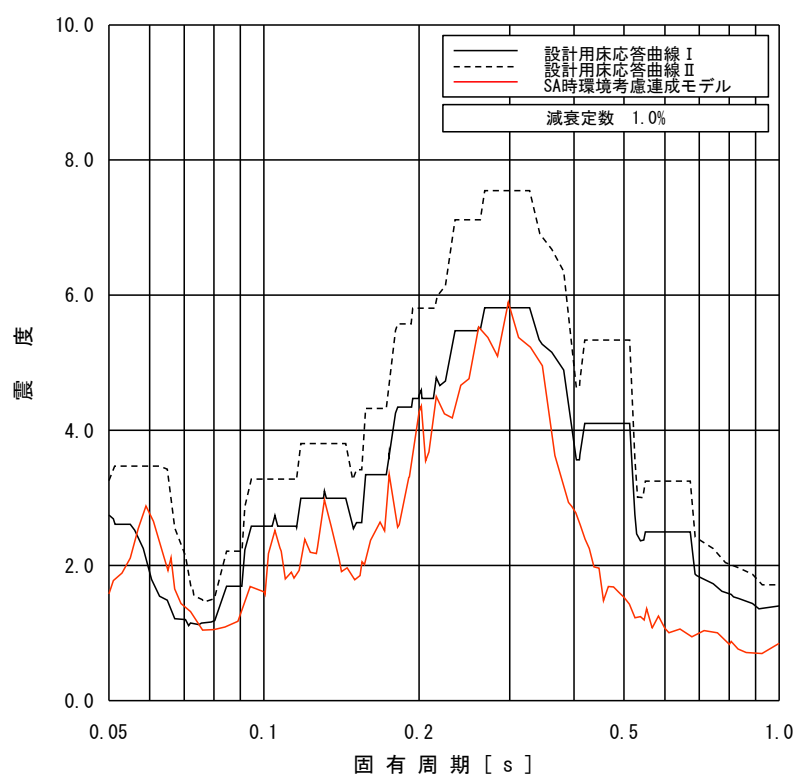
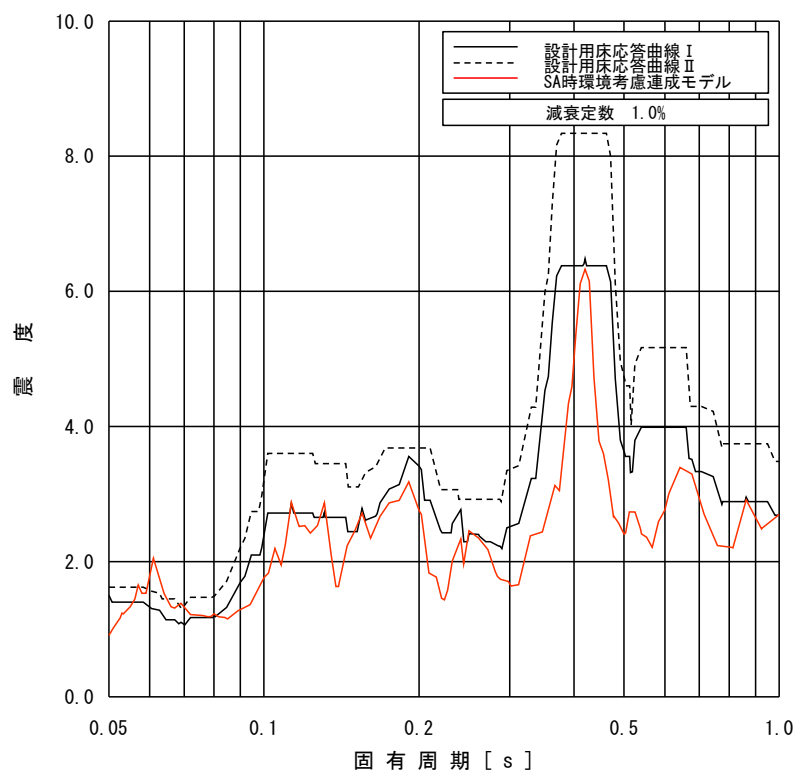


図 4-4 床応答スペクトルの比較(11/18)

(原子炉本体基礎, T. M. S. L. 1.700m, 減衰 1.0%, 上: 水平, 下: 鉛直)

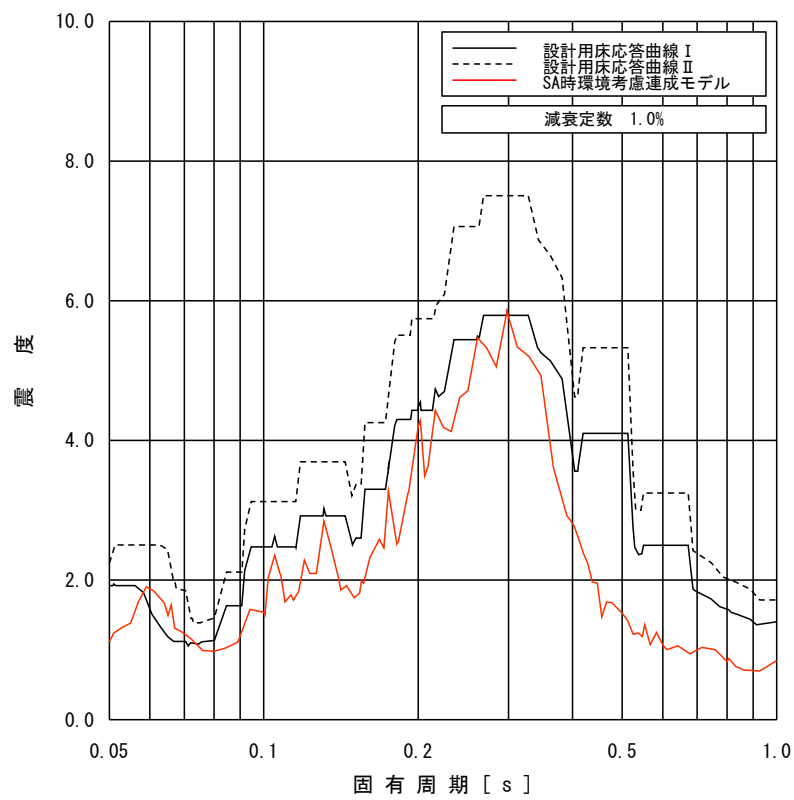
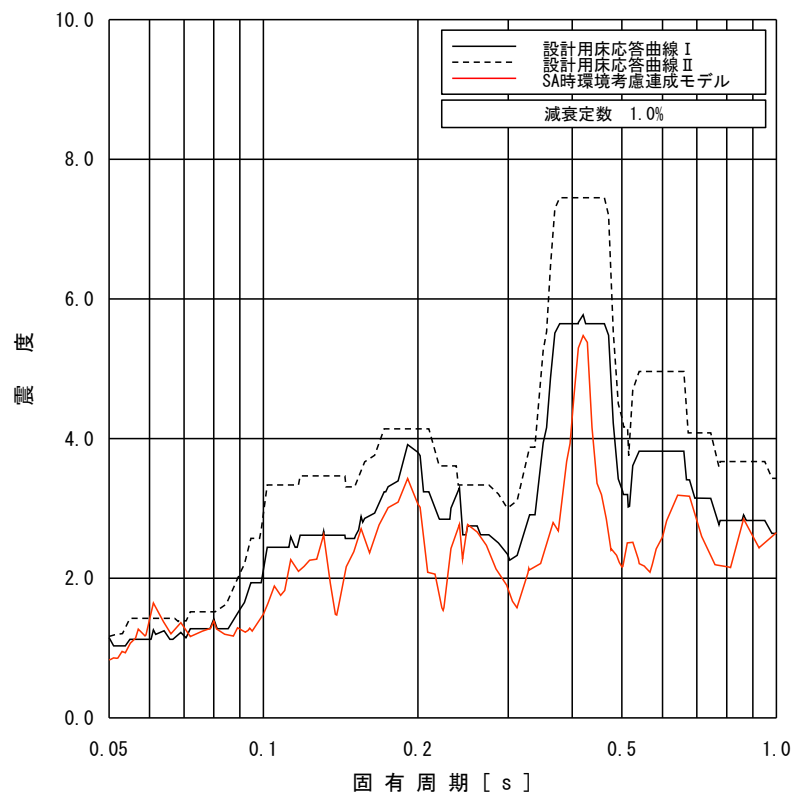


図 4-4 床応答スペクトルの比較(12/18)

(原子炉本体基礎, T. M. S. L. -2.100m, 減衰 1.0%, 上:水平, 下:鉛直)

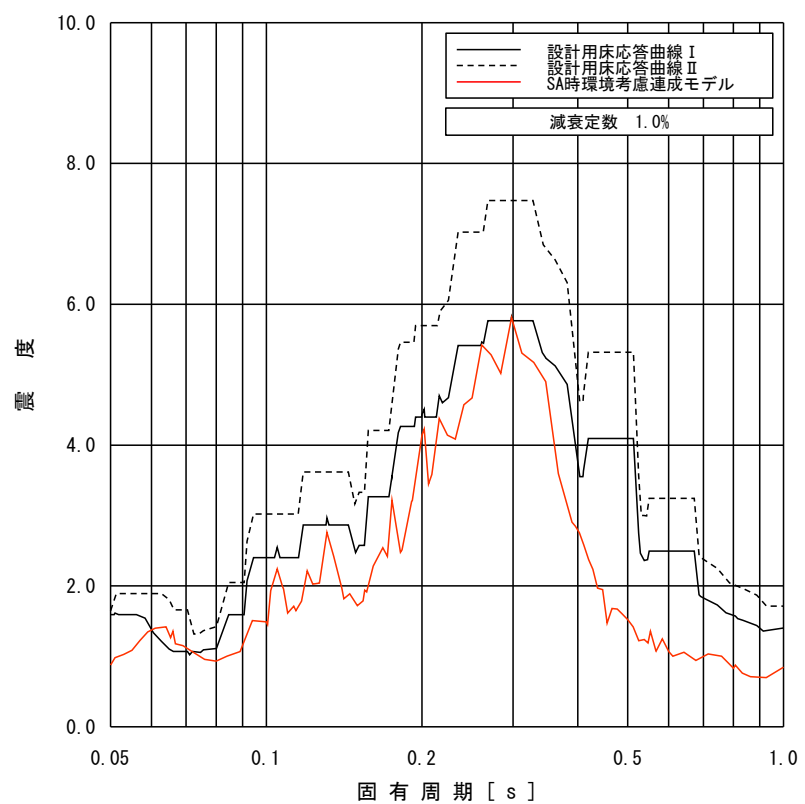
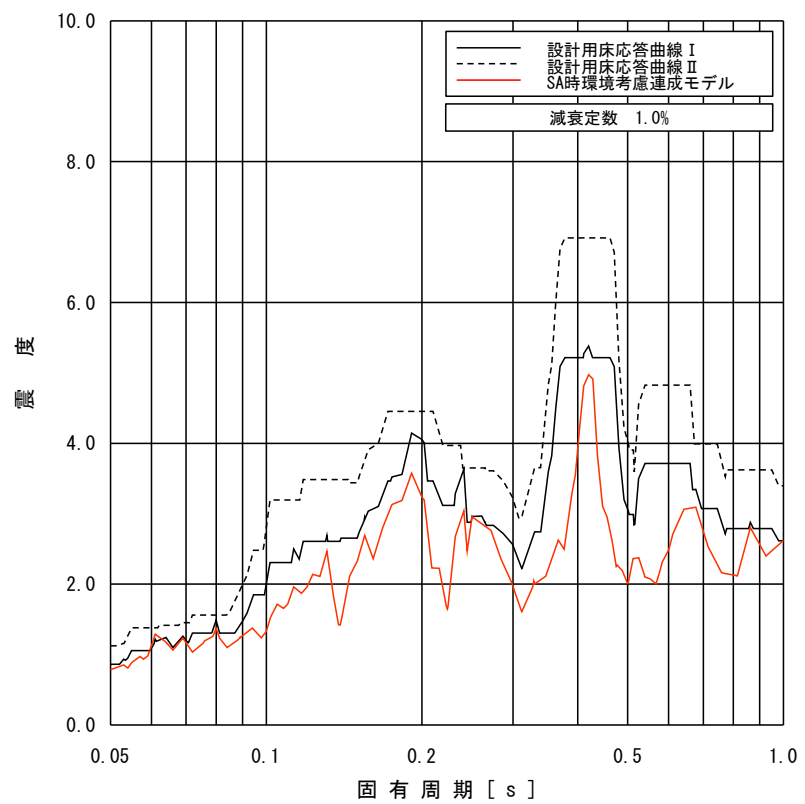


図 4-4 床応答スペクトルの比較(13/18)

(原子炉本体基礎, T. M. S. L. -4.700m, 減衰 1.0%, 上:水平, 下:鉛直)

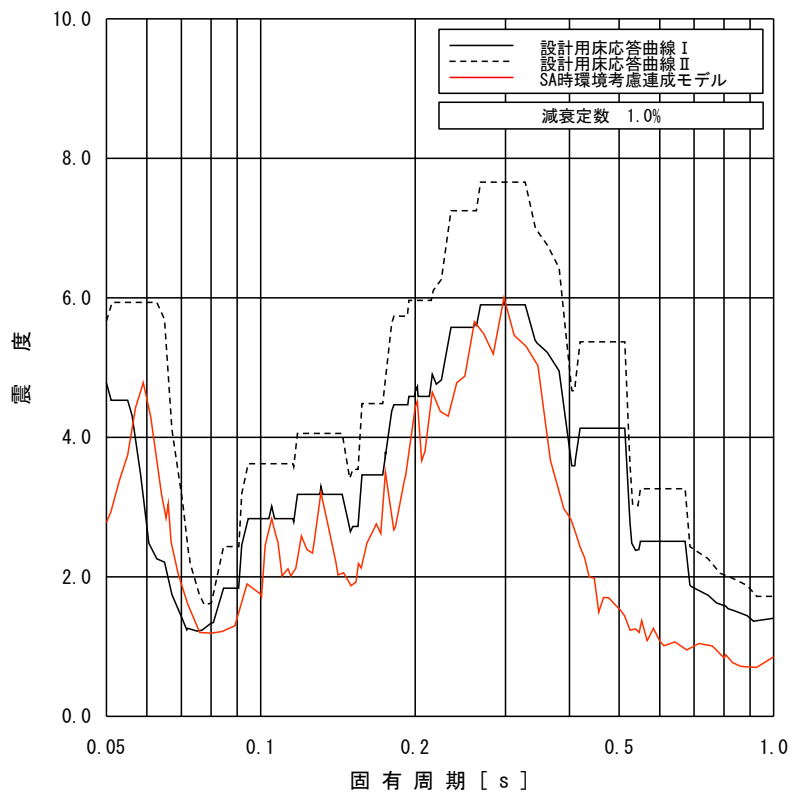
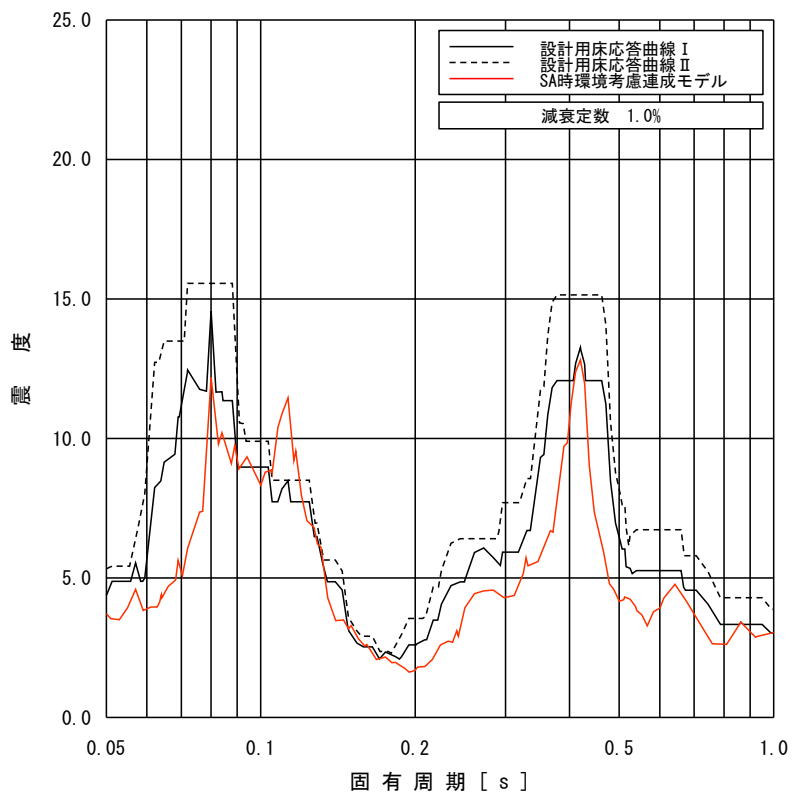


図 4-4 床応答スペクトルの比較(14/18)

(原子炉圧力容器, T. M. S. L. 26.0130m, 減衰 1.0%, 上 : 水平, 下 : 鉛直)

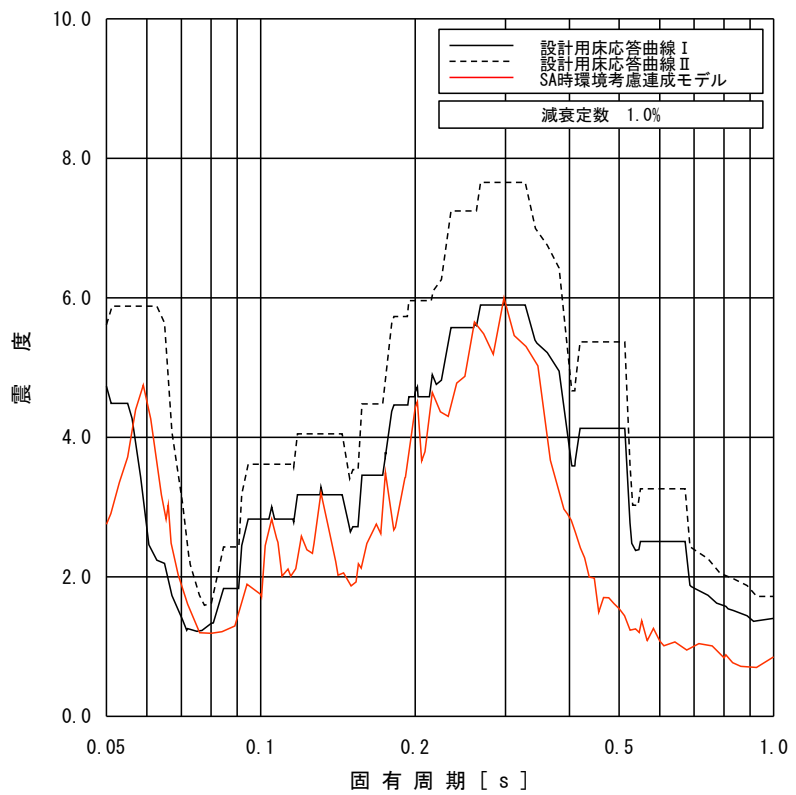
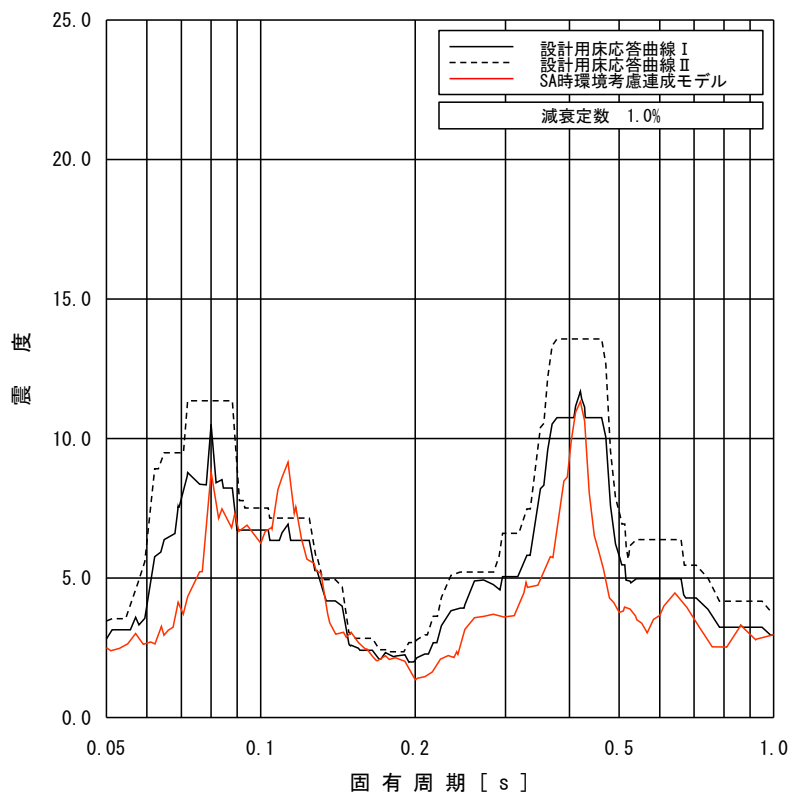


図 4-4 床応答スペクトルの比較(15/18)

(原子炉圧力容器, T. M. S. L. 20.494m, 減衰 1.0%, 上: 水平, 下: 鉛直)

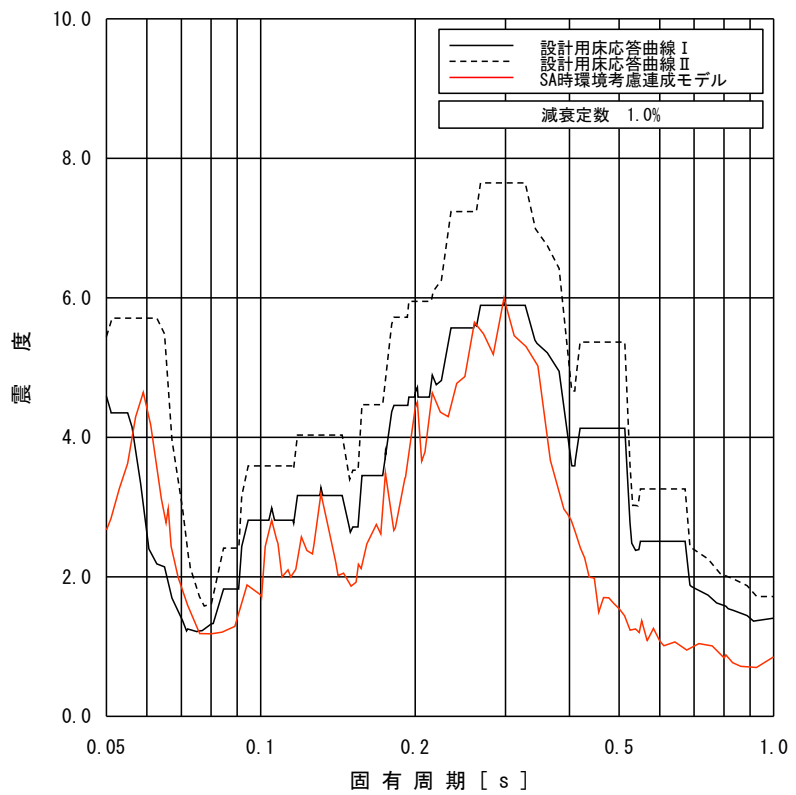
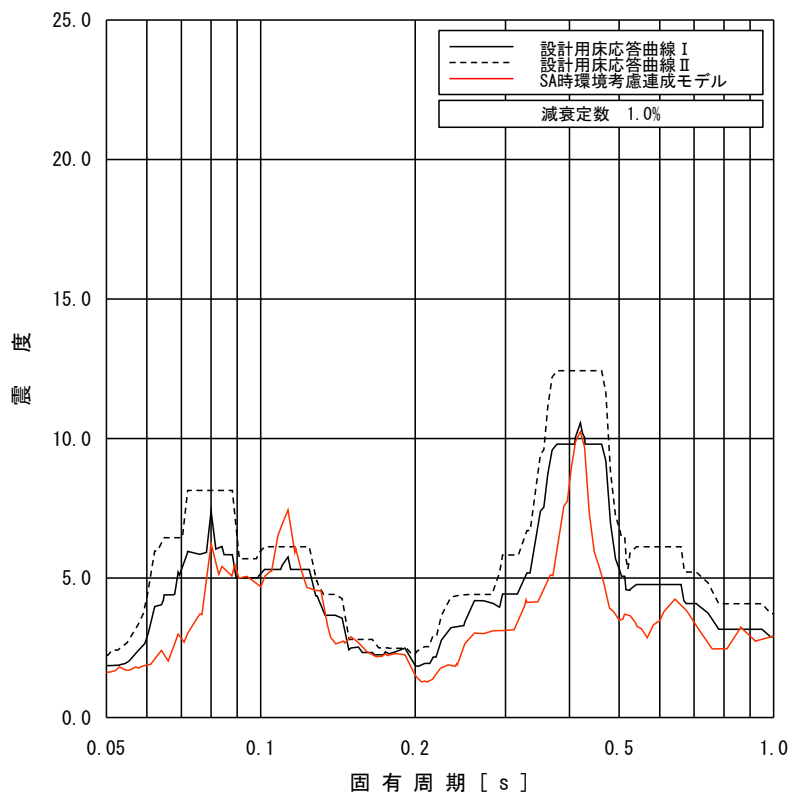


図 4-4 床応答スペクトルの比較(16/18)

(原子炉圧力容器, T.M.S.L. 16.563m(水平), 16.506m(鉛直), 減衰 1.0%, 上 : 水平, 下 : 鉛直)

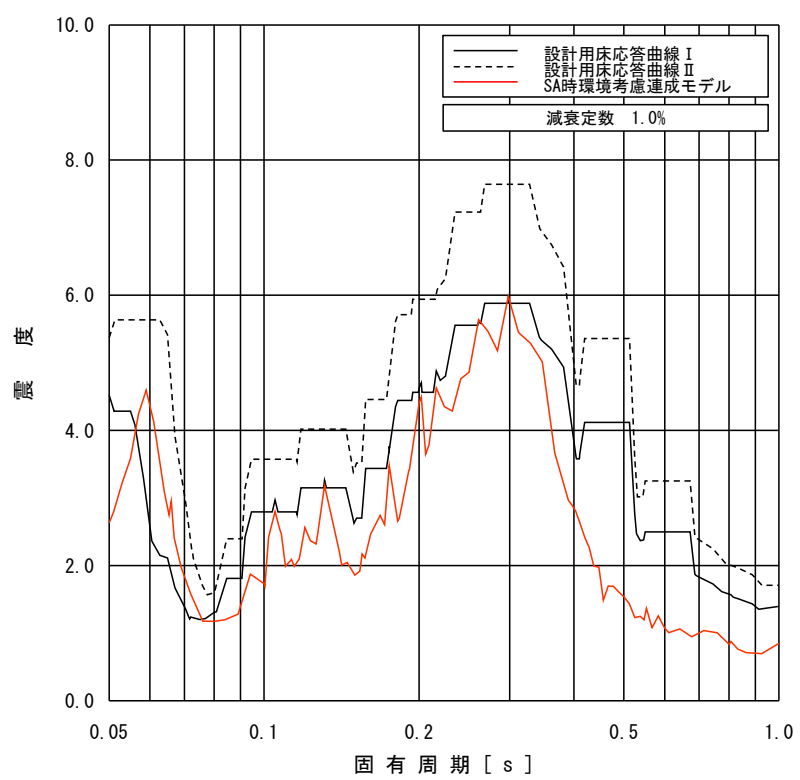
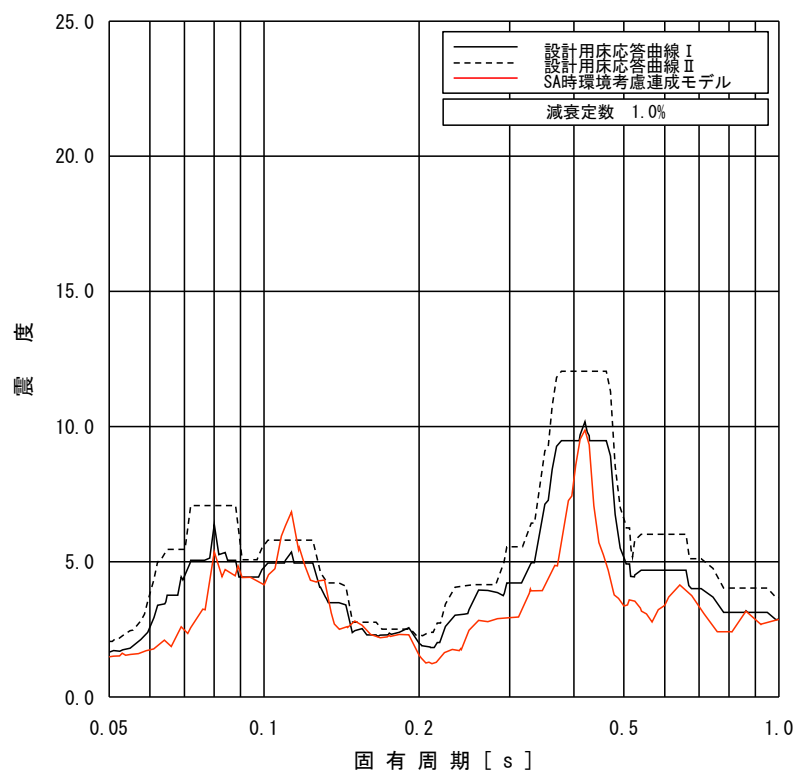


図 4-4 床応答スペクトルの比較(17/18)

(原子炉圧力容器, T.M.S.L. 15.262m(水平), 15.266m(鉛直), 減衰 1.0%, 上 : 水平, 下 : 鉛直)

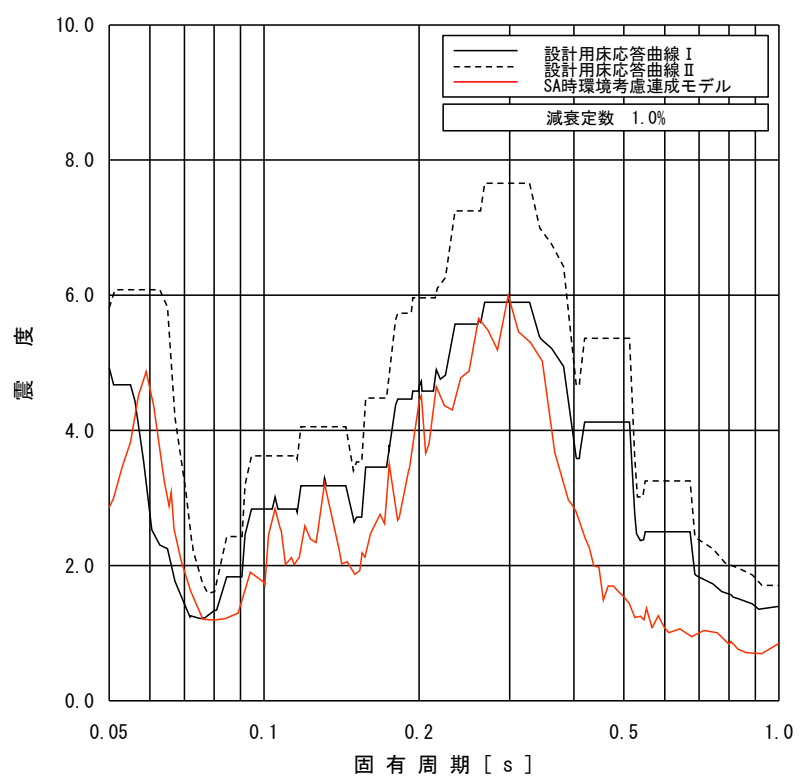
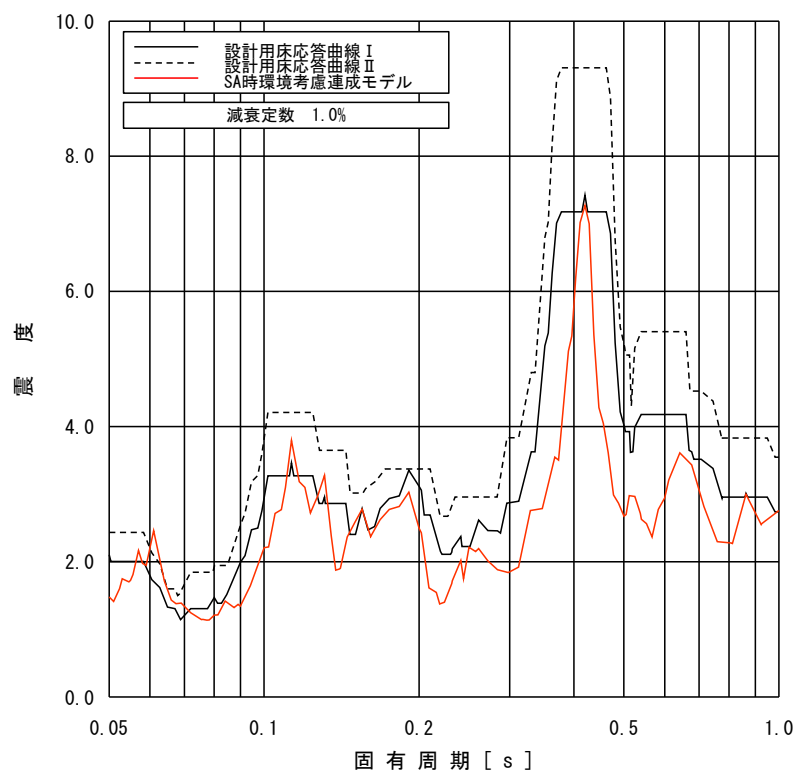


図 4-4 床応答スペクトルの比較(18/18)

(原子炉圧力容器, T. M. S. L. 4.950m(水平), 5.066m(鉛直), 減衰 1.0%, 上 : 水平, 下 : 鉛直)

(2) 影響確認対象設備の抽出

(1) 項の地震応答解析結果より、「SA 時環境考慮連成モデル」の一部の応答が「大型機器系の地震応答解析モデル」の応答を上回ることが確認されたため、「大型機器系の地震応答解析モデル」の地震応答解析結果を耐震評価に用いる耐震重要重大事故防止設備又は常設重大事故緩和設備について、影響確認を行う。

『「SA 時環境考慮連成モデル」における応答』／『評価対象設備が耐震計算で使用している「大型機器系の地震応答解析モデル」における応答\*』の比を応答増分とし、応答増分が 1 を上回る地震力を適用し評価する設備を抽出した結果を表 4-9 に示す。

ここで、床応答スペクトルに対する応答増分は、評価対象設備の各固有周期にて算定した応答増分の最大値を記載している（図 4-5 参照）。

注記\*：対象設備ごとの耐震計算において、設計用 I 又は設計用 II の 2 種類の応答を使い分けている。

表 4-9 応答増分が 1 を上回る地震力を適用し評価する対象設備

No.	地震力	構造物、標高	評価対象設備	応答増分
①	床応答スペクトル	原子炉遮蔽壁 18.440m	SA クラス 2 配管* 代表：MS-PD-2	床応答スペクトル：1.23
②	床応答スペクトル	原子炉遮蔽壁 15.600m	SA クラス 2 配管* 代表：HPCF-PD-1	床応答スペクトル：1.11
③	床応答スペクトル	原子炉遮蔽壁 13.950m	SA クラス 2 配管* 代表：RHR-PD-2	床応答スペクトル：1.11
④	最大応答加速度 床応答スペクトル	原子炉本体基礎 12.300m	サプレッションシェンバスプレイ管	最大応答加速度：1.02 床応答スペクトル：1.15
⑤	床応答スペクトル	原子炉本体基礎 1.700m	SA クラス 2 配管* 代表：MS-PW-11	床応答スペクトル：1.16
⑥	せん断力	原子炉本体基礎 -8.200m～12.300m	原子炉本体の基礎	せん断力：1.09

注記\*：影響確認の対象モデルとして、最小裕度となるものを抽出した。

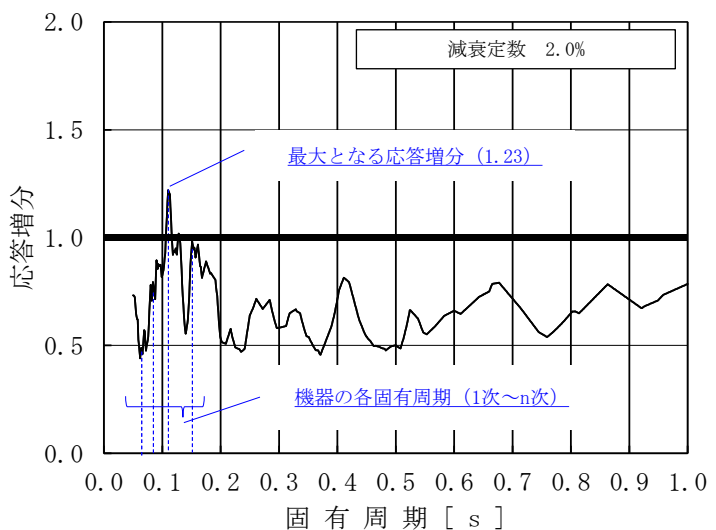


図 4-5 床応答スペクトルでの応答増分の算出方法（概要）

（評価対象設備：SA クラス 2 配管 (MS-PD-2), 原子炉遮蔽壁 T.M.S.L. 18.440m(水平)）

### (3) 影響確認結果

(2)で抽出した各設備に対して、SA 時環境による影響確認を行った結果を表 4-10 に示す。

今回工認における耐震評価の耐震裕度と「SA 時環境考慮連成モデル」による応答増分を比較した結果、No. ④、⑥の設備は「SA 時環境考慮連成モデル」による応答の増分に対して、今回工認の評価結果は裕度を有していることを確認した。

耐震裕度と応答増分の比較にて耐震裕度が応答増分を上回ることを確認できなかった No. ①、②、③及び⑤の設備は、「SA 時環境考慮連成モデル」の応答を用いて耐震評価を行った結果、計算応力は許容応力を満足していることを確認した。

表 4-10 対象設備の「SA 時環境考慮連成モデル」による応答の影響確認結果

No.	評価対象設備	評価部位	応力分類	今回工認における耐震評価の耐震裕度と SA 時環境考慮連成モデルによる応答増分の比較				SA 時環境考慮連成モデルの応答による耐震評価		確認結果	
				今回工認の耐震評価				SA 時環境考慮連成モデルによる応答増分			
				計算応力(MPa)	許容応力(MPa)	耐震裕度	使用耐震条件	計算応力(MPa)			
①	SA クラス 2 配管 (MS-PD-2)	配管本体	一次+二次応力	406* <sup>1</sup>	366	0.90	II	1.23	337	366	○
			疲労評価	0.0732	1	—					
②	SA クラス 2 配管 (HPCF-PD-1)	配管本体	一次+二次応力	502* <sup>1</sup>	282	0.56	II	1.11	417* <sup>1</sup>	282	○
			疲労評価	0.0511	1	—			0.0124	1	
③	SA クラス 2 配管 (RHR-PD-2)	配管本体	一次+二次応力	404* <sup>1</sup>	366	0.90	II	1.11	345	366	○
			疲労評価	0.0886	1	—					
④	サプレッションショーンチャンバ スプレイ管	スプレイ管とスプレイ管案内管との接続部	一次+二次応力	252	414	1.64	I	1.15			○
⑤	SA クラス 2 配管 (MS-PW-11)	配管本体	一次+二次応力	261	278	1.06	II	1.16	178	278	○
⑥	原子炉本体の基礎	プラケット部	下面の水平プレートに局所的に生じる曲げ応力度	391.2* <sup>2</sup>	427* <sup>2</sup>	1.09 (1.0915)	I	1.09 (1.0896)			○

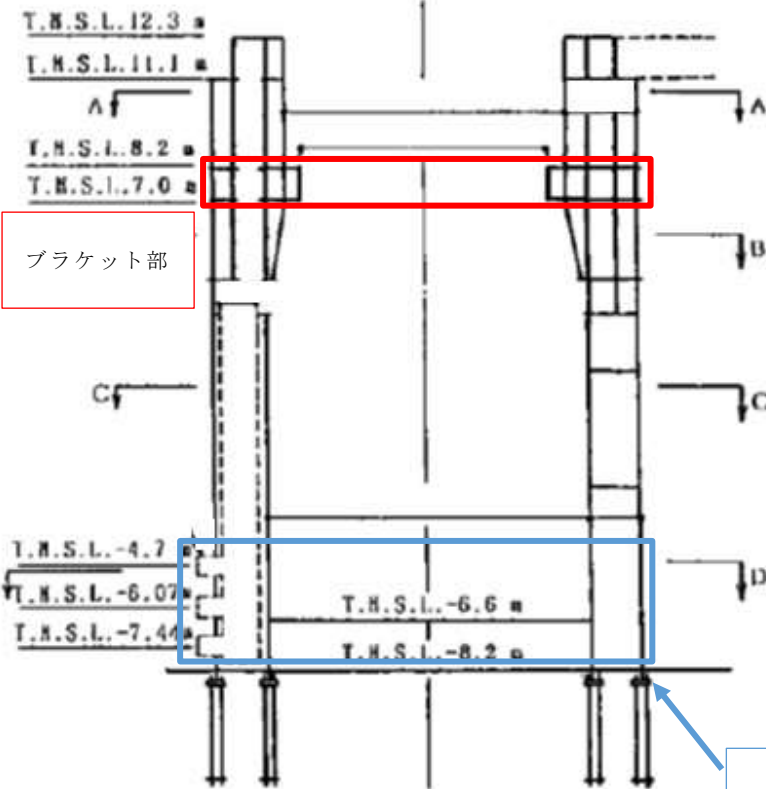
注記 \* 1 : 一次+二次応力の計算応力が許容応力を上回った場合は、疲労評価を実施し疲労累積係数が許容値を満足することで、耐震性が確保される。

\* 2 : 算出応力度(N/mm<sup>2</sup>) : 391.2 , 許容応力度(N/mm<sup>2</sup>) : 427

No. ⑥原子炉本体の基礎の評価結果について補足する。

No. ⑥の比較評価では、原子炉本体基礎部のうち最大の応答増分となる原子炉本体基礎(T. M. S. L. -4.7~-8.2(m))の応答増分と原子炉本体基礎部の最小裕度部位の裕度とを比較している。**図 4-6**にNo. ⑥にて抽出した最大応答増分箇所と最小裕度部位(プラケット部)を示す。プラケット部の耐震評価では原子炉圧力容器スカート部の標高(T. M. S. L. 8.2(m))の荷重を入力するが、一方でNo. ⑥の比較評価では、プラケット部の裕度との比較に、原子炉本体基礎部の最大の応答増分を用いている。

このため、本来比較に用いるべき原子炉圧力容器スカート部の標高の応答増分より大きな値となる応答増分を用いていることから、今回工認の耐震評価結果は「SA 時環境考慮連成モデル」の応答増分に対して裕度を有していると考えられる。



機器	質点番号	標高 T.M.S.L. (m)	せん断力 (kN)		
			①SA時環境考慮連成モデル	②設計用地震力 I	比率 (①/②)
原子炉压力容器スカート	32	9.402	19900	20000	1.00
	33	8.200			
原子炉遮蔽壁	18	21.200	1010	1090	0.93
	19	18.440	7950	8520	0.94
	20	17.020	9030	9670	0.94
	21	15.600	13300	14200	0.94
	22	13.950	14500	15300	0.95
原子炉本体基礎	23	12.300	17700	20500	0.87
	24	8.200	32500	35300	0.92
	25	7.000	34900	37600	0.93
	26	4.500	37700	39300	0.96
	27	3.500	39700	40300	0.99
	28	1.700	44100	43000	1.03
	29	-2.100	48200	45400	1.07
	30	-4.700	52300	48000	1.09
	31	-8.200	—	—	—

図 4-6 「SA 時環境考慮連成モデル」の応答増分及び原子炉本体の基礎の評価部位

## 5.まとめ

重大事故等時における熱の影響を考慮し、「剛性低下考慮モデル」を用いて、基準地震動 Ss-1 に対する地震応答解析を実施し、「工認モデル」を用いた結果と比較した。

その結果、「剛性低下考慮モデル」の固有周期は、コンクリートの剛性を低減させた影響により「工認モデル」に比べて僅かに大きくなるものの、ほぼ同程度となることを確認し、最大応答値及び最大接地圧については、「工認モデル」の結果とおおむね整合することを確認した。更に、「原子炉建屋の地震応答解析による評価」に与える影響についても確認を行った。確認結果を以下に示す。

### 5.1 「原子炉建屋の地震応答解析による評価」に与える影響

原子炉建屋に生じる最大せん断ひずみ及び最大接地圧（材料物性の不確かさを考慮した基準地震動 Ss-1～Ss-8 に対する包絡値）に、基準地震動 Ss-1 に対する「剛性低下考慮モデル」と「工認モデル」の応答比（「剛性低下考慮モデル」／「工認モデル」）を乗じた値が許容限界を超えないことを確認した。また、床応答スペクトルが「工認モデル」と「剛性低下考慮モデル」でほぼ同程度となることを確認した。

### 5.2 「機器・配管系の評価」に与える影響

「工認モデル」の地震応答解析結果を耐震評価に用いる常設耐震重要重大事故防止設備及び常設重大事故緩和設備に対し、「工認モデル」と「SA 時環境考慮モデル」の設計用最大応答加速度及び床応答スペクトルの比較を行った結果、概ね下回っており影響は小さいことを確認した。

「大型機器系の地震応答解析モデル」の地震応答解析結果を耐震評価に用いる常設耐震重要重大事故防止設備及び常設重大事故緩和設備については、「SA 時環境考慮連成モデル」の地震応答解析結果が耐震計算に適用した「大型機器系の地震応答解析モデル」の地震応答解析結果を超える設備を抽出し、影響確認を行った。確認の結果、「SA 時環境考慮連成モデル」の応答増分を考慮しても今回工認の評価結果は裕度を有していることを確認した。

別紙 5-2 重大事故等時の環境を考慮した建屋－機器連成地  
震応答解析モデルの設定について

## 目 次

- |                              |           |
|------------------------------|-----------|
| (1) RPV の諸元設定の考え方            | 別紙 5-2-1  |
| (2) 「SA 時環境考慮連成モデル」の諸元       | 別紙 5-2-2  |
| (3) 原子炉本体基礎のスケルトン曲線の設定       | 別紙 5-2-4  |
| (4) 原子炉遮蔽壁と原子炉本体基礎の剛性の設定について | 別紙 5-2-15 |
| (5) ダイヤフラムフロアのばね定数の設定について    | 別紙 5-2-16 |
| (6) 「SA 時環境考慮モデル」の諸元について     | 別紙 5-2-17 |

### (1) RPV の諸元設定の考え方

重大事故等時の RPV 諸元設定において、水の重量が大きく、燃料体の重心位置が高い「大型機器系の地震応答解析モデル」の諸元を適用する。これは、「大型機器系の地震応答解析モデル」の諸元を適用することで重心位置が高く設定され地震による応答が大きくなると考えられるためである。

重大事故等時の「格納容器過圧・過温破損（代替循環冷却系を使用する場合）」の原子炉水位の推移を図 1-1 に示す。図 1-1 より原子炉水位は通常運転水位より低くなる。このため、通常運転水位を考慮している「大型機器系の地震応答解析モデル」により、重大事故等時の RPV 内の水の重量が小さくなる。また、炉心の燃料は炉心損傷により落下するため、炉心の燃料体が健全であることを想定している「大型機器系の地震応答解析モデル」より炉心の重心は低い位置となる。

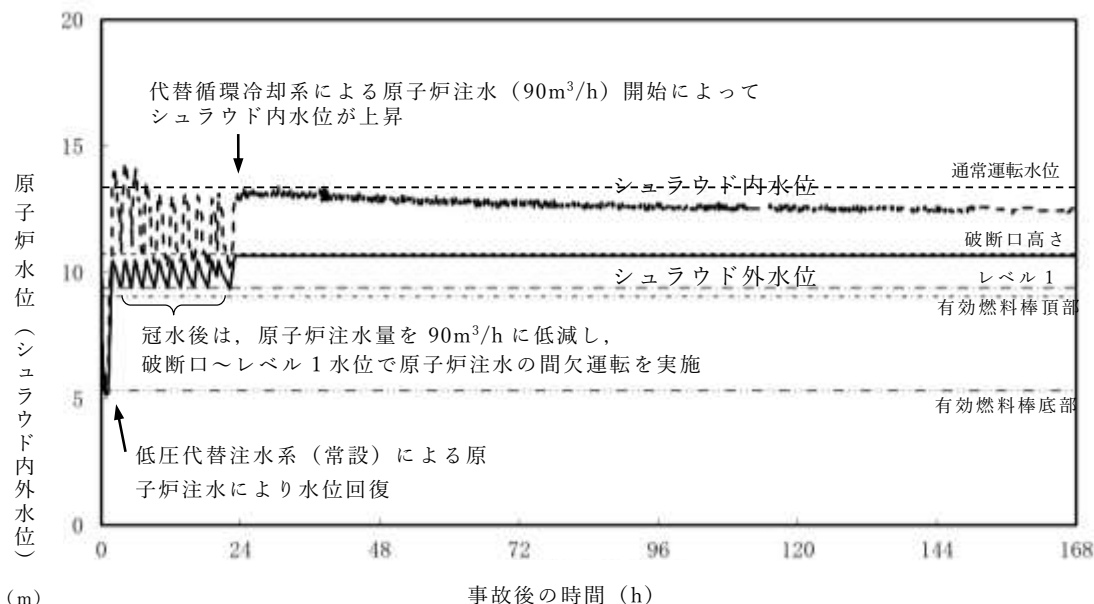


図 1-1 「格納容器過圧・過温破損（代替循環冷却系を使用する場合）」における  
原子炉水位（シラウド内外水位）の推移\*

注記\*：設置変更許可申請書　まとめ資料「重大事故等対策の有効性評価について」 第 3.1.2.7 図に加筆

なお、重大事故等時の「格納容器過圧・過温破損（代替循環冷却系を使用する場合）」の RPV 内の保有水量は、図 1-2 のとおり、通常運転時保有水量よりも少なくなっていることを確認している。

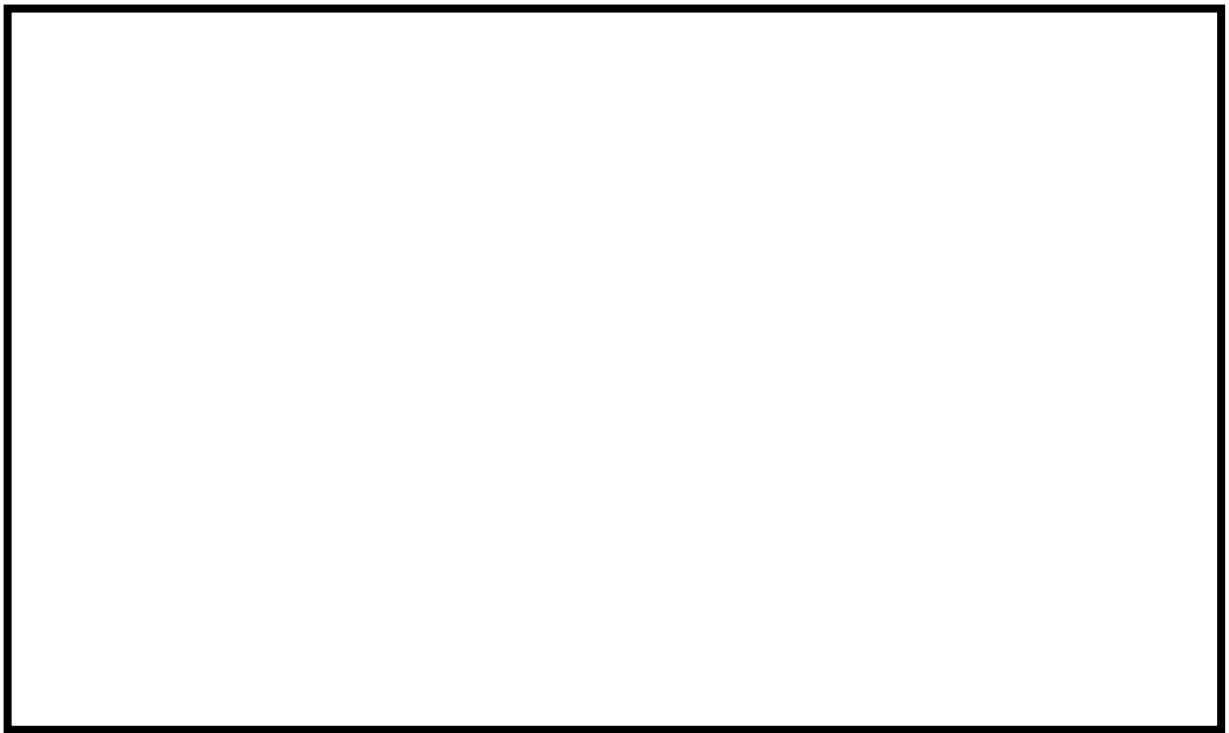


図 1-2 「格納容器過圧・過温破損（代替循環冷却系を使用する場合）」における  
RPV 内の保有水量の推移\*

注記\*：設置変更許可申請書　まとめ資料「重大事故等対策の有効性評価について」 第 3.1.2.9 図に加筆

(2) 「SA 時環境考慮連成モデル」の諸元

「大型機器系の地震応答解析モデル」と「SA 時環境考慮連成モデル」に適用する諸元を表 2-1 に変更箇所と併せて示す。

表 2-1(1/3) 「大型機器系の地震応答解析モデル」と「SA 時環境考慮連成モデル」の諸元比較

			大型機器系の 地震応答解析モデル	SA 時環境考慮 連成モデル
縦弾性 係数	原子炉遮蔽壁	鋼材		
	原子炉本体基礎	鋼材 コンクリート		
ばね 定数	燃料交換ベローズ (K1)	鋼材		
	ダイヤフラムフロア (K3)	コンクリート		

( ) は諸元設定の温度条件

表 2-1(2/3) 「大型機器系の地震応答解析モデル」と「SA 時環境考慮連成モデル」の諸元比較

地震応答解析モデル諸元 (NS方向)							
		大型機器系の地震応答解析モデル			SA時環境考慮連成モデル		
質点番号	分類	質量 (t)	断面二次 モーメント (m <sup>4</sup> )	有効せん断 断面積 (m <sup>2</sup> )	質量 (t)	断面二次 モーメント (m <sup>4</sup> )	有効せん断 断面積 (m <sup>2</sup> )
23							
24							
25	上部 ペデスタル						
26							
27							
28							
29	下部 ペデスタル						
30							
31							

表 2-1(3/3) 「大型機器系の地震応答解析モデル」と「SA 時環境考慮連成モデル」の諸元比較

地震応答解析モデル諸元 (EW方向)							
		大型機器系の地震応答解析モデル			SA時環境考慮連成モデル		
質点番号	分類	質量 (t)	断面二次 モーメント (m <sup>4</sup> )	有効せん断 断面積 (m <sup>2</sup> )	質量 (t)	断面二次 モーメント (m <sup>4</sup> )	有効せん断 断面積 (m <sup>2</sup> )
23							
24							
25	上部 ペデスタル						
26							
27							
28							
29	下部 ペデスタル						
30							
31							

(3) 原子炉本体基礎のスケルトン曲線の設定

(a) せん断力のスケルトン曲線の設定

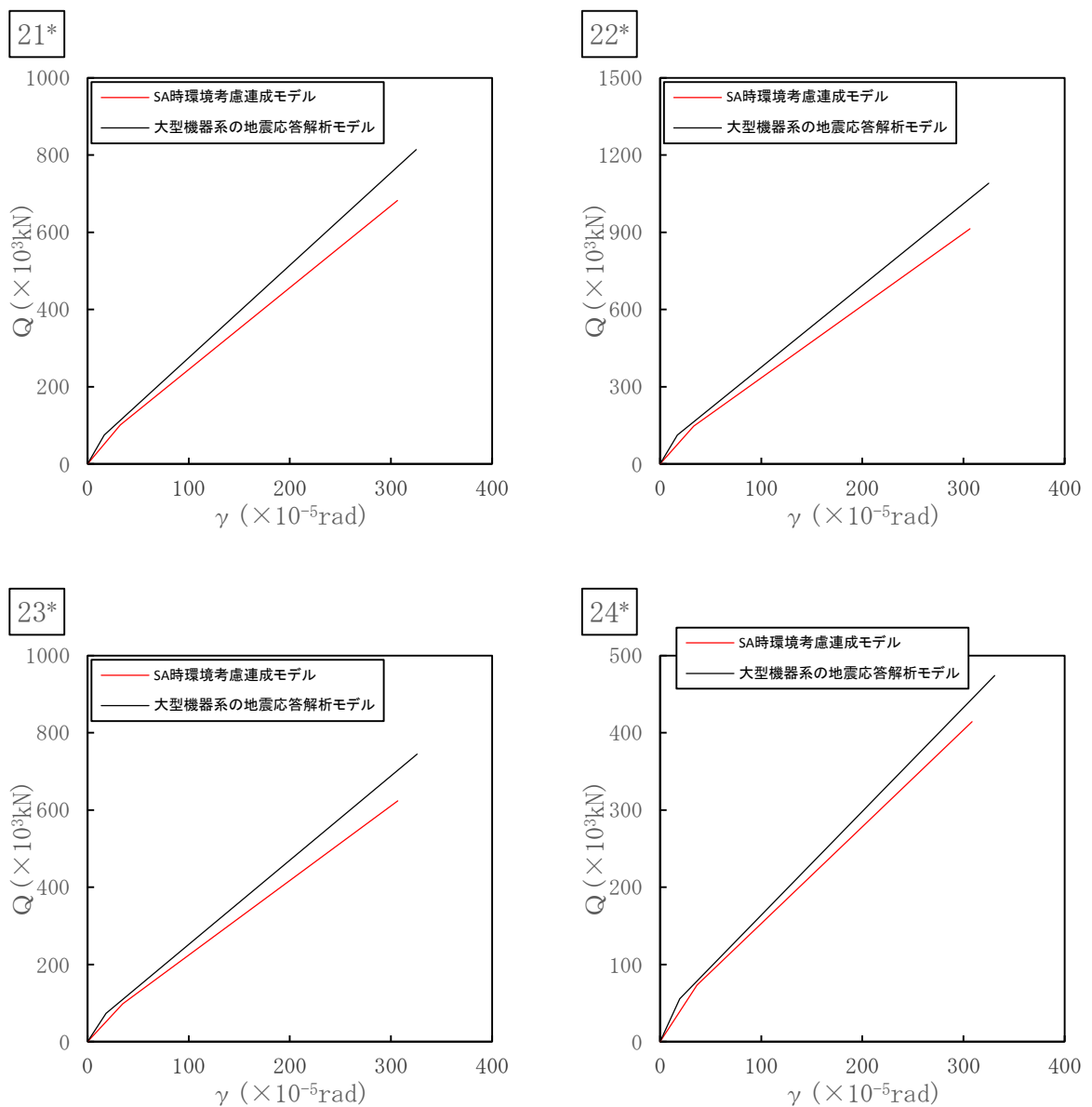
「SA 時環境考慮連成モデル」の各要素におけるせん断力のスケルトン曲線の諸数値を表 3-1 に、「SA 時環境考慮連成モデル」と「大型機器系の地震応答解析モデル」のスケルトン曲線を図 3-1 に示す。

表 3-1(1/2) せん断力のスケルトン曲線 (NS 方向)

質点番号	要素番号	$Q_1$ ( $\times 10^3$ kN)	$\gamma_1$ ( $\times 10^{-5}$ rad)	$Q_2$ ( $\times 10^3$ kN)	$\gamma_2$ ( $\times 10^{-5}$ rad)
23	21	101	32.4	682	307
24	22	147	33.1	914	307
25	23	98.2	34.7	624	307
26	24	73.1	36.6	414	309
27	25	44.8	17.8	363	310
28	26	36.8	18.3	304	310
29	27	45.6	18.3	358	310
30	28	45.4	18.5	349	310
31					

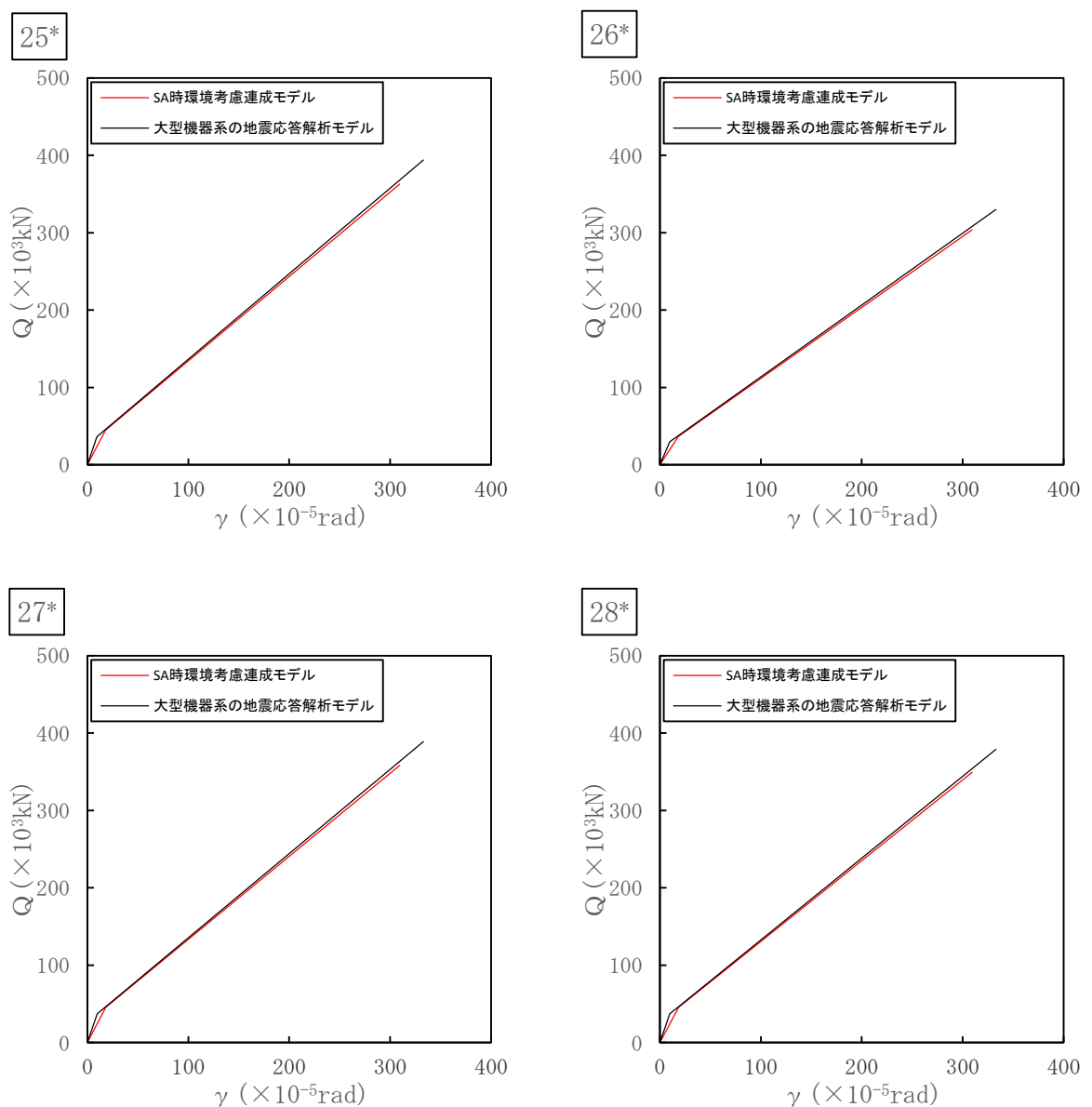
表 3-1(2/2) せん断力のスケルトン曲線 (EW 方向)

質点番号	要素番号	$Q_1$ ( $\times 10^3$ kN)	$\gamma_1$ ( $\times 10^{-5}$ rad)	$Q_2$ ( $\times 10^3$ kN)	$\gamma_2$ ( $\times 10^{-5}$ rad)
23	21	99.6	32.4	673	306
24	22	147	33.1	914	307
25	23	97.4	34.7	617	307
26	24	73.1	36.6	414	309
27	25	44.8	17.8	363	310
28	26	46.1	18.3	363	310
29	27	45.6	18.3	358	310
30	28	45.4	18.5	349	310
31					



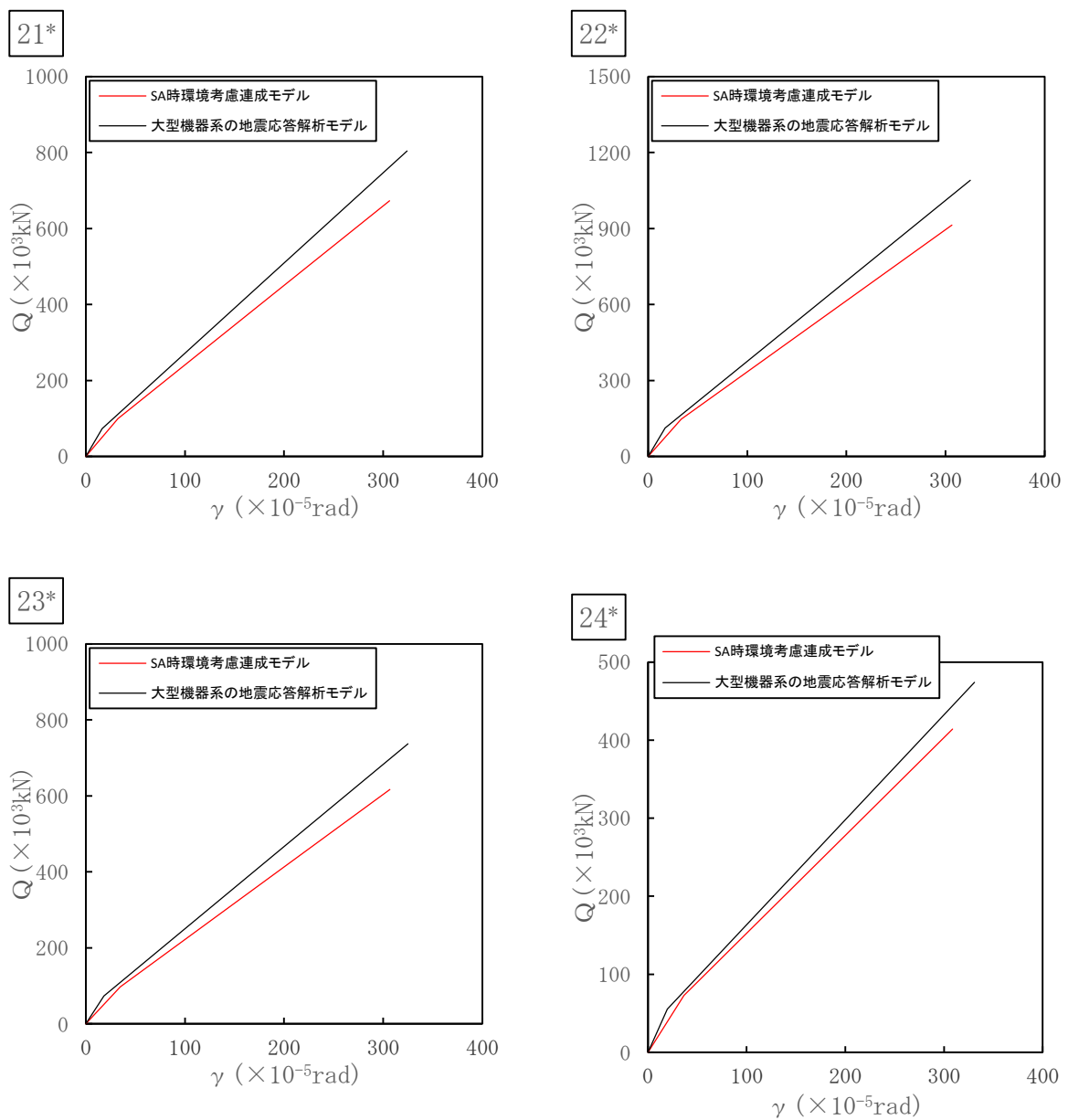
注記\*：各図上に記載の要素番号は表 3-1 に対応

図 3-1(1/4)せん断力のスケルトン曲線(NS 方向)



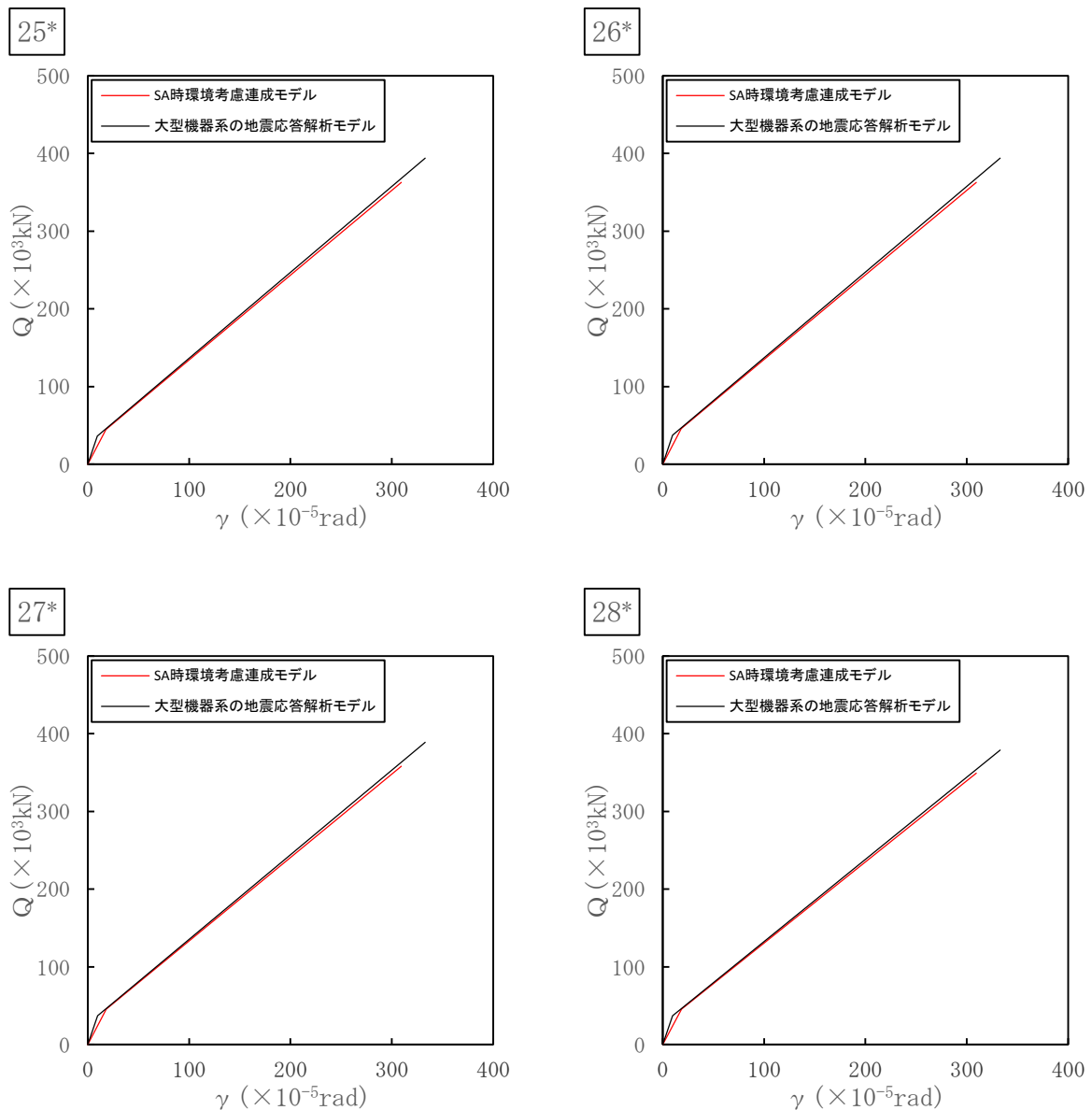
注記 \* : 各図上に記載の要素番号は表 3-1 に対応

図 3-1(2/4) せん断力のスケルトン曲線(NS 方向)



注記\*：各図上に記載の要素番号は表 3-1 に対応

図 3-1(3/4) せん断力のスケルトン曲線(EW 方向)



注記\* : 各図上に記載の要素番号は表 3-1 に対応

図 3-1(4/4)せん断力のスケルトン曲線(EW 方向)

(b) 曲げモーメントのスケルトン曲線

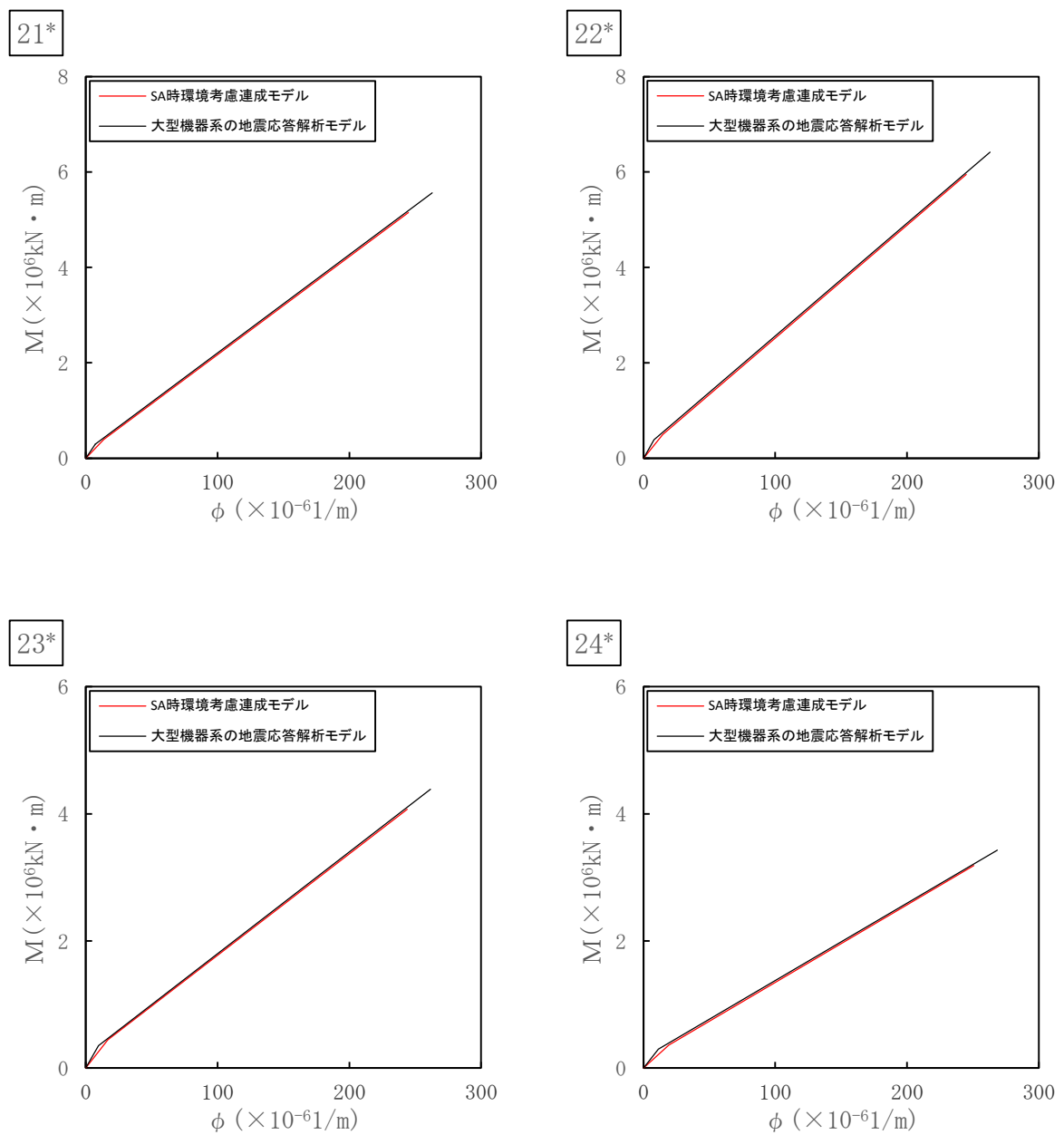
「SA 時環境考慮連成モデル」の各要素における曲げモーメントのスケルトン曲線の諸数値を表 3-2 に、「SA 時環境考慮連成モデル」と「大型機器系の地震応答解析モデル」のスケルトン曲線を図 3-2 に示す。

表 3-2(1/2) 曲げモーメントのスケルトン曲線 (NS 方向)

質点番号	要素番号	$M_1$ ( $\times 10^6$ kN・m)	$\phi_1$ ( $\times 10^{-6}$ 1/m)	$M_2$ ( $\times 10^6$ kN・m)	$\phi_2$ ( $\times 10^{-6}$ 1/m)
23	21	0.392	13.7	5.15	245
24	22	0.496	14.6	5.95	245
25	23	0.442	16.7	4.07	244
26	24	0.364	19.3	3.19	251
27	25	0.153	6.58	3.37	232
28	26	0.185	7.94	3.38	233
29	27	0.180	7.82	3.11	231
30	28	0.194	8.50	3.13	232
31					

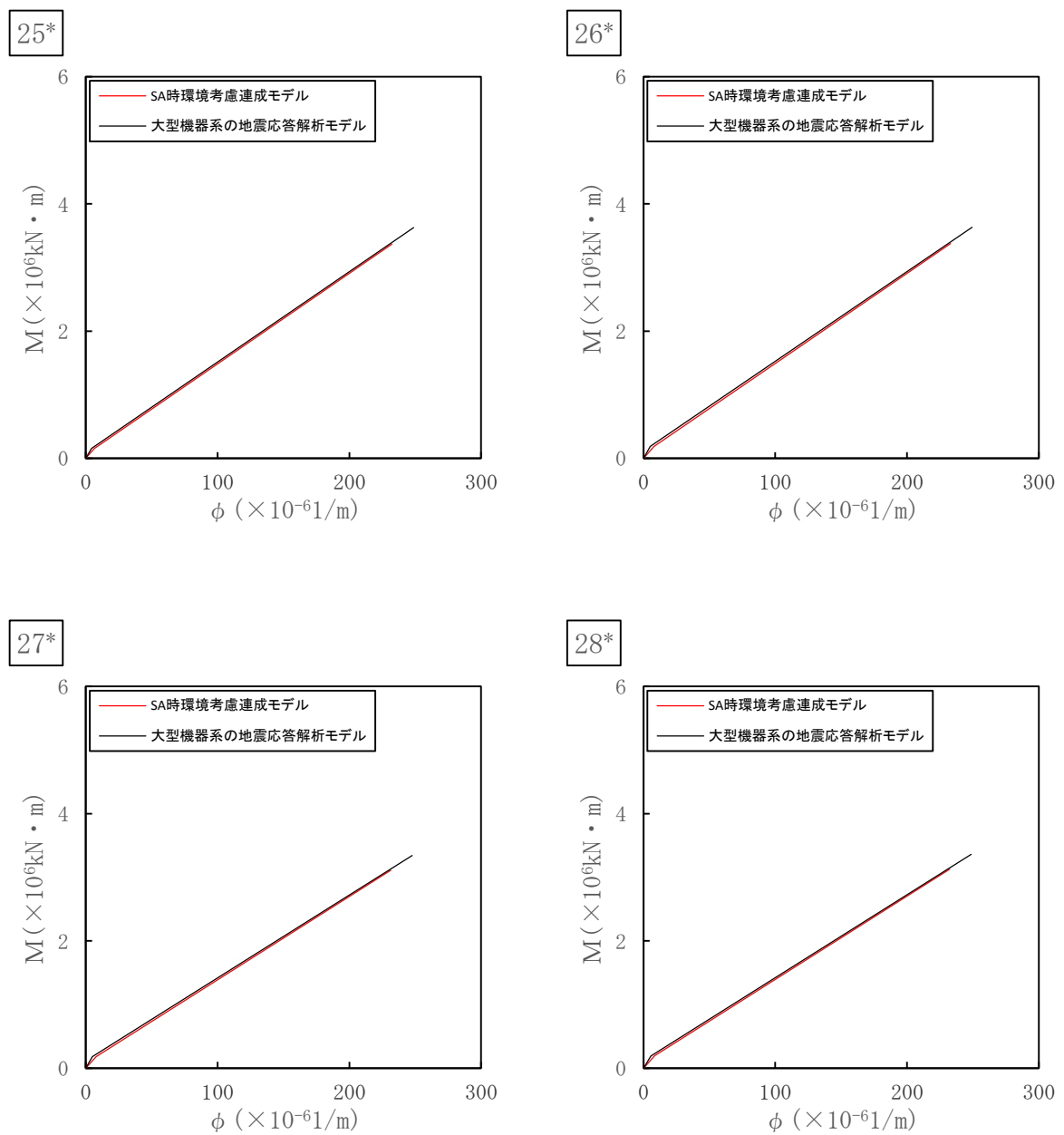
表 3-2(2/2) 曲げモーメントのスケルトン曲線 (EW 方向)

質点番号	要素番号	$M_1$ ( $\times 10^6$ kN・m)	$\phi_1$ ( $\times 10^{-6}$ 1/m)	$M_2$ ( $\times 10^6$ kN・m)	$\phi_2$ ( $\times 10^{-6}$ 1/m)
23	21	0.395	13.7	5.22	245
24	22	0.496	14.6	5.95	245
25	23	0.443	16.7	4.10	244
26	24	0.364	19.3	3.19	251
27	25	0.153	6.58	3.37	232
28	26	0.143	7.94	2.47	233
29	27	0.180	7.82	3.11	231
30	28	0.194	8.50	3.13	232
31					



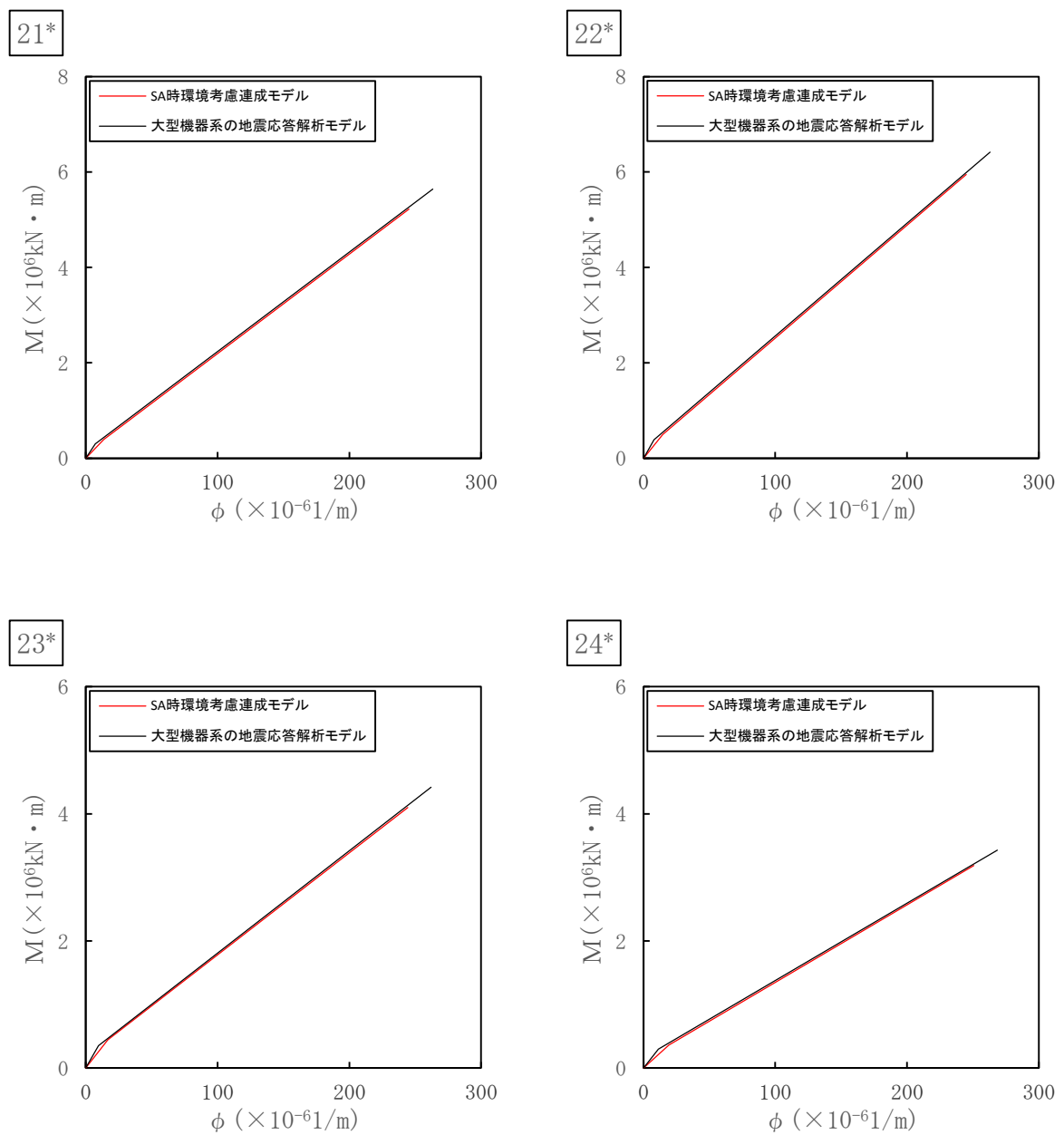
注記\*：各図上に記載の要素番号は表 3-2 に対応

図 3-2(1/4) 曲げモーメントのスケルトン曲線(NS 方向)



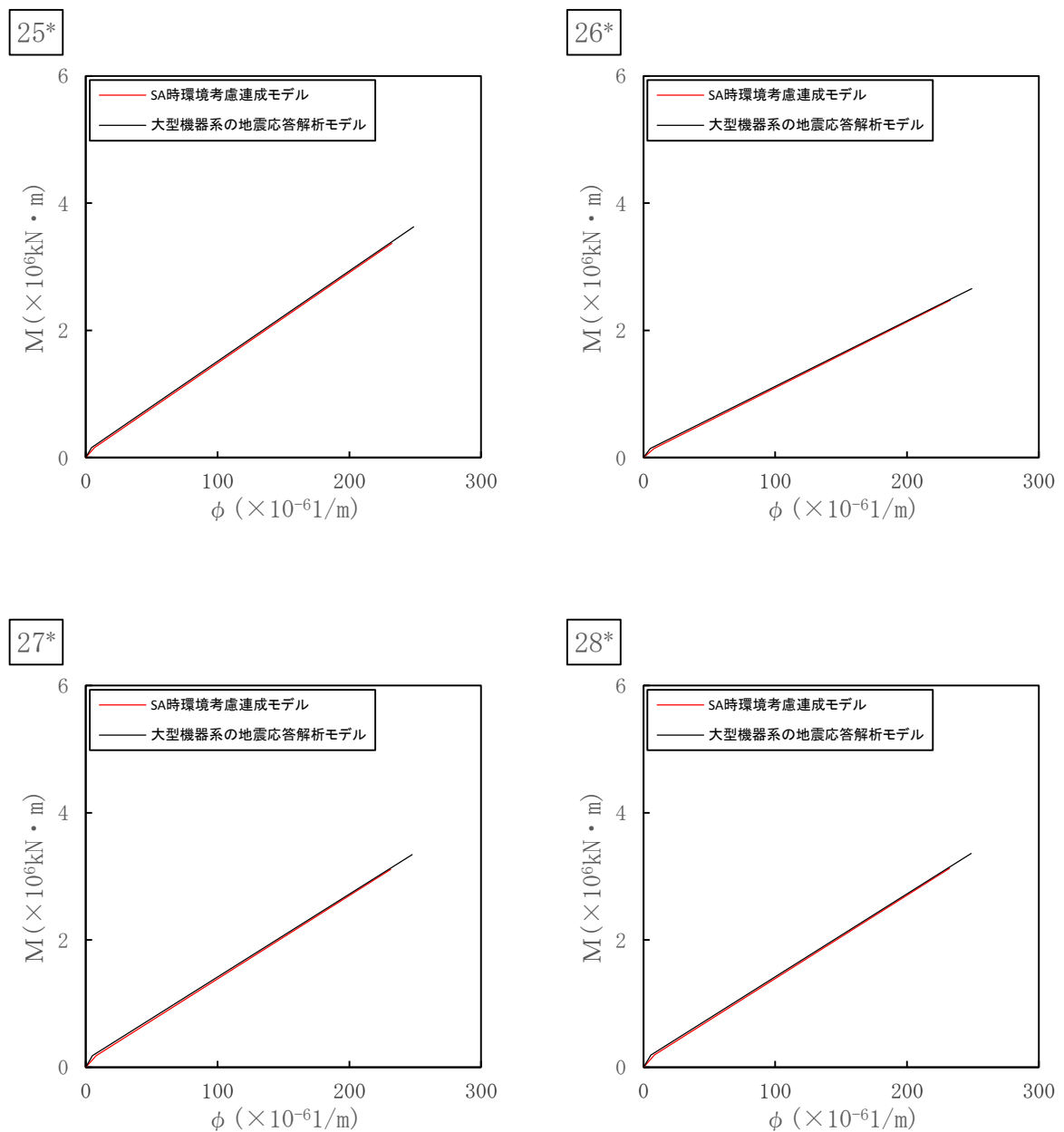
注記＊：各図上に記載の要素番号は表 3-2 に対応

図 3-2(2/4) 曲げモーメントのスケルトン曲線(NS 方向)



注記\* : 各図上に記載の要素番号は表 3-2 に対応

図 3-2(3/4) 曲げモーメントのスケルトン曲線(EW 方向)



注記\*：各図上に記載の要素番号は表 3-2 に対応

図 3-2(4/4) 曲げモーメントのスケルトン曲線(EW 方向)

#### (4) 原子炉遮蔽壁と原子炉本体基礎の剛性の設定について

建設時及び今回工認の建屋－機器連成地震応答解析モデルにおける原子炉遮蔽壁と原子炉本体基礎における重量と剛性の扱いを表4-1に示す。

原子炉遮蔽壁は、RPVからの放射線を遮蔽するための構造物である。主体構造は、RPVを取り囲む円筒形の壁であり、内外の鋼板及びその内部に充てんされたモルタルより構成される。地震応答解析にあたり、原子炉遮蔽壁を建屋－機器連成地震応答解析にモデル化する上で、重量については鋼板とモルタルを考慮している。一方で、剛性の設定ではモルタルは遮蔽を目的とするため、地震応答解析において鋼板のみ考慮している。

原子炉本体基礎は、耐震重要度分類SクラスであるRPVの間接支持構造物として構造強度評価を実施している。主体構造は、鋼板とコンクリートで構成される円筒形の構造物である。地震応答解析にあたり、原子炉本体基礎を建屋－機器連成地震応答解析にモデル化する上で、重量については鋼板とコンクリートを考慮している。また、剛性の設定において、コンクリートはRPVを間接支持する構造部材であるため、地震応答解析において鋼板とともに考慮している。

以上より、重大事故等時の環境を考慮した「SA時環境考慮連成モデル」の剛性の設定においても同様に、原子炉遮蔽壁は鋼板に、原子炉本体基礎はコンクリートと鋼板に対して重大事故等時の温度を考慮して設定している。

表4-1 建屋－機器連成地震応答解析モデルの  
原子炉遮蔽壁と原子炉本体基礎における重量と剛性の扱い

	原子炉遮蔽壁	原子炉本体基礎
重量	鋼板とモルタルを考慮	鋼板とコンクリートを考慮
剛性	鋼板のみを考慮	鋼板とコンクリートを考慮

## (5) ダイヤフラムフロアのばね定数の設定について

ダイヤフラムフロアは、軸対称形状の円環平板の鉄筋コンクリートスラブ構造物であり、円環内周端は原子炉本体基礎に結合支持され、円環外周端は RCCV に荷重を伝える構造になっている。なお、円環外周端にはカプラーが設けられ、ダイヤフラムフロアと RCCV の鉄筋が接続されている。

ここで、建設時及び今回工認の建屋一機器連成地震応答解析モデルにおけるダイヤフラムフロアは、原子炉本体基礎と RCCV 間の圧縮荷重を伝達することを目的にばねとしてモデル化していることから、圧縮荷重を主に伝達するコンクリートのみを考慮したダイヤフラムフロアの解析モデルを用いて、原子炉本体基礎側に一様の強制変位を与えた際の反力の合計を最大変位量で除することによりばね定数を設定している。

このため、今回の重大事故等時の環境を考慮した「SA 時環境考慮連成モデル」のダイヤフラムフロアのばね定数の設定では、剛性低下したコンクリートのみを考慮している。

(6) 「SA 時環境考慮モデル」の諸元について

「SA 時環境考慮モデル」は「3.2.1 解析条件」に記載する「剛性低下モデル」から水位の影響を考慮して、諸元のうち質点重量及び回転慣性重量を変更している。変更内容を表 5-1 に示す。

表 5-1(1/2) 「剛性低下考慮モデル」からの「SA 時環境考慮モデル」の諸元の  
変更内容（水平方向）

(a) NS 方向

質点番号	質点重量 W (kN)	回転慣性重量 $I_G (\times 10^5 \text{kN} \cdot \text{m}^2)$	質点番号	質点重量 W (kN)	回転慣性重量 $I_G (\times 10^5 \text{kN} \cdot \text{m}^2)$
1	39490	70.6			
2	80520	410.9			
3	84470	473.7			
4	84770	293.2			
5	55380	198.1			
6	81140	289.3			
7	80120	296.2			
8	81300	298.1			
9	<u>350393</u>	<u>967.3</u>			
10	216040	581.5			
合計	<u>2021285</u>				

(b) EW 方向

質点番号	質点重量 W (kN)	回転慣性重量 $I_G (\times 10^5 \text{kN} \cdot \text{m}^2)$	質点番号	質点重量 W (kN)	回転慣性重量 $I_G (\times 10^5 \text{kN} \cdot \text{m}^2)$
1	39490	147.1			
2	80520	300.1			
3	89570	299.1			
4	67270	275.6			
5	50210	210.8			
6	78630	320.7			
7	76690	316.8			
8	79240	324.6			
9	<u>350393</u>	<u>1063.6</u>			
10	216040	644.3			
合計	<u>2021285</u>				

下線部：「3.2.1 解析条件」における「表 3-5 地震応答解析モデルの諸元（水平方向、剛性低下考慮モデル）」からの変更箇所

表 5-1(2/2) 「剛性低下考慮モデル」からの「SA 時環境考慮モデル」の諸元の  
変更内容（鉛直方向）

外壁・RCCV部		屋根トラス部	
質点番号	質点重量W (kN)	質点番号	質点重量W (kN)
1	30640	1	—
2	80520	23	3540
3	175870	22	3540
4	239810	21	1770
5	158250		
6	<u>285902</u>		
7	242426		
8	<u>232584</u>		
9	<u>350393</u>		
10	216040		
合計	<u>2021285</u>		

下線部：「3.2.1 解析条件」における「表 3-9 地震応答解析モデルの諸元（鉛直  
方向，剛性低下考慮モデル）」からの変更点